



**Universidade do Estado do Rio de Janeiro**  
Centro Biomédico  
Instituto de Medicina Social Hesio Cordeiro

Thainá do Nascimento de Barcelos

**Presença de microplásticos em tecidos humanos e potenciais  
impactos à saúde: uma revisão de escopo**

Rio de Janeiro

2025

Thainá do Nascimento de Barcelos

**Presença de microplásticos em tecidos humanos e potenciais impactos à saúde:  
uma revisão de escopo**

Dissertação apresentada, como requisito parcial para obtenção do título de Mestre, ao Programa de Pós-Graduação em Saúde Coletiva, da Universidade do Estado do Rio de Janeiro. Área de concentração: Epidemiologia.

Orientador: Prof. Dr. Eduardo Faerstein

Rio de Janeiro

2025

CATALOGAÇÃO NA FONTE  
UERJ/ REDE SIRIUS/ CB/C

B242 Barcelos, Thainá do Nascimento de  
Presença e impacto de microplásticos em tecidos humanos: uma  
revisão de escopo / Thainá do Nascimento de Barcelos. - 2025  
133 f.  
Orientador: Prof. Dr. Eduardo Faerstein  
Dissertação (Mestrado em Saúde Coletiva) – Universidade do Estado  
do Rio de Janeiro, Instituto de Medicina Social Hesio Cordeiro.  
1. Microplásticos. 2. Tecido humano. 3. Tecidos - Ultraestrutura.  
4. Toxicidade. 5. Medição de risco. 6, Poluição ambiental. 7. Revisão  
de escopo como assunto. I. Faerstein, Eduardo. II. Universidade do  
Estado do Rio de Janeiro. Instituto de Medicina Social Hesio Cordeiro.  
III. Título.  
CDU 615.462-022.513.2

Bibliotecária: Thais Ferreira Vieira CRB-7/5302

Autorizo, apenas para fins acadêmicos e científicos, a reprodução total ou parcial desta  
dissertação, desde que citada a fonte.

---

Assinatura

---

Data

Thainá do Nascimento de Barcelos

**Presença de microplásticos em tecidos humanos e potenciais impactos à saúde: uma  
revisão de escopo**

Dissertação apresentada, como requisito parcial para obtenção do título de Mestre, ao Programa de Pós-Graduação em Saúde Coletiva, da Universidade do Estado do Rio de Janeiro. Área de concentração: Epidemiologia.

Aprovada em 06 de fevereiro de 2025.

Banca Examinadora:

---

Prof. Dr. Eduardo Faerstein (Orientador)

Instituto de Medicina Social Hesio Cordeiro – UERJ

---

Prof<sup>a</sup>. Dra. Tatiana Henriques Leite

Instituto de Medicina Social Hesio Cordeiro – UERJ

---

Prof<sup>a</sup>. Dra. Carmen Ildes Rodrigues Fróes Asmus

Universidade Federal do Rio de Janeiro

Rio de Janeiro

2025

## **DEDICATÓRIA**

Dedico este trabalho aos meus pais, pelo amor, apoio e inspiração constantes.

## RESUMO

BARCELOS, Thainá do Nascimento de. **Presença e impacto de microplásticos em tecidos humanos:** uma revisão de escopo. 2025. 134 f. Dissertação (Mestrado em Saúde Coletiva) – Instituto de Medicina Social Hesio Cordeiro, Universidade do Estado do Rio de Janeiro, Rio de Janeiro, 2025.

Dada a exposição humana aos microplásticos, é crucial entender sua distribuição e impacto no corpo, pois suas consequências para a saúde ainda não são totalmente conhecidas. Este estudo visa sintetizar as evidências sobre a presença de microplásticos em amostras e tecidos humanos. Este estudo é uma revisão de escopo, que buscou investigar se há evidências concretas da presença de microplásticos no organismo humano. As buscas foram conduzidas nas bases de dados MEDLINE, Scopus, Web of Science, EMBASE, LILACS, SciELO, OpenGrey e Grey Literature Report. A estratégia de busca resultou em um total de 1103 registros dos quais 66 foram selecionados. Os artigos analisados na revisão incluíram uma ampla variedade de tecidos, abrangendo diversos sistemas do corpo humano, como o pulmonar, intestinal, endometrial, vascular, sinovial e até o sistema reprodutivo masculino. Amostras de placenta, fígado, rins, baço, bem como fluidos biológicos, como sangue, urina, sêmen, líquido amniótico e líquidos de lavagem broncoalveolar e nasal, foram examinadas utilizando predominantemente técnicas como Raman, FTIR, e LDIR. A presença de microplásticos foi amplamente confirmada em diferentes tecidos e fluidos humanos. Dentre os 66 estudos, apenas 1 não detectou MPs nos tecidos analisados. Estudos relataram alterações celulares e teciduais associadas à presença de microplásticos, como estresse oxidativo, inflamação e apoptose. Porém, faltam estudos robustos e longitudinais que explorem os impactos a longo prazo da exposição a microplásticos na saúde humana, exigindo cautela na interpretação dos resultados.

Palavras-chave: Microplásticos. Saúde humana. Risco à saúde humana. Toxicidade. Revisão de escopo.

## ABSTRACT

BARCELOS, Thainá do Nascimento de. **Presence and impact of microplastics in human tissues: a scoping review.** 2025. 134 f. Dissertação (Mestrado em Saúde Coletiva) – Instituto de Medicina Social Hesio Cordeiro, Universidade do Estado do Rio de Janeiro, Rio de Janeiro, 2024.

Given human exposure to microplastics, it is crucial to understand their distribution and impact on the body, as their health consequences are not yet fully known. This study aims to synthesize evidence on the presence of microplastics in human samples and tissues. It is a scoping review that sought to investigate whether there is concrete evidence of the presence of microplastics in the human body. Searches were conducted in the MEDLINE, Scopus, Web of Science, EMBASE, LILACS, SciELO, OpenGrey, and Grey Literature Report databases. The search strategy yielded a total of 1,103 records, of which 66 were selected. The articles analyzed in the review included a wide variety of tissues, covering different human body systems, such as the pulmonary, intestinal, endometrial, vascular, synovial, and even the male reproductive system. Samples of the placenta, liver, kidneys, spleen, as well as biological fluids such as blood, urine, semen, amniotic fluid, and bronchoalveolar and nasal lavage fluids, were examined, predominantly using techniques such as Raman, FTIR, and LDIR. The presence of microplastics was widely confirmed in different human tissues and fluids. Among the 66 studies, only one did not detect MPs in the analyzed tissues. Studies reported cellular and tissue changes associated with the presence of microplastics, such as oxidative stress, inflammation, and apoptosis. However, there is a lack of robust and longitudinal studies exploring the long-term impacts of microplastic exposure on human health, requiring caution in interpreting the results.

Keywords: Microplastics. Human health. Health risk. Toxicity. Scoping review.

## LISTA DE FIGURAS

Figura 1 – Produção anual de plástico (resina e fibra) no mundo de 1950 a 2019.....	20
Figura 2 – Projeção da produção global de plástico até 2060.....	20
Figura 3 – Fluxograma para identificação, triagem, elegibilidade e inclusão de estudos.....	35
Figura 4 – Mapa de distribuição das produções científicas por país.....	36

## LISTA DE GRÁFICOS

Gráfico 1 –	Distribuição temporal de produções científicas por país.....	36
Gráfico 2 –	Distribuição temporal dos estudos por contextos de saúde.....	38
Gráfico 3 –	Distribuição das técnicas de análise utilizadas.....	96
Gráfico 4 –	Frequência das informações disponíveis sobre os cuidados na coleta e processamento de amostras nos estudos.....	99

## LISTA DE QUADROS

Quadro 1 –	Estratégia de Busca MEDLINE.....	29
Quadro 2 –	Estratégia de Busca SCOPUS.....	29
Quadro 3 –	Estratégia de Busca WEB OF SCIENCE.....	30
Quadro 4 –	Estratégia de Busca EMBASE.....	30
Quadro 5 –	Estratégia de Busca LILACS por título, resumo e assunto.....	30
Quadro 6 –	Estratégia de Busca SciELO.....	30
Quadro 7 –	Estratégia de busca OpenGrey (Via DANS EASY Archive).....	31
Quadro 8 –	Estratégia de busca Grey Literature Report.....	31

## LISTA DE TABELAS

Tabela 1 –	Caracterização de estudos sobre exposição a microplásticos e saúde materno-infantil.....	43
Tabela 2 –	Presença de microplásticos e saúde materno-infantil.....	45
Tabela 3 –	Caracterização de estudos sobre exposição a microplásticos e saúde sexual e reprodutiva.....	51
Tabela 4 –	Presença de microplásticos e saúde sexual e reprodutiva.....	52
Tabela 5 –	Caracterização de estudos sobre exposição a microplásticos e saúde do sistema cardiovascular.....	56
Tabela 6 –	Presença de microplásticos e saúde do sistema cardiovascular.....	57
Tabela 7 –	Caracterização de estudos sobre exposição a microplásticos e saúde gastrointestinal.....	63
Tabela 8 –	Presença de microplásticos e saúde gastrointestinal.....	65
Tabela 9 –	Caracterização de estudos sobre exposição a microplásticos e saúde do sistema respiratório.....	74
Tabela 10 –	Presença de microplásticos e saúde do sistema respiratório.....	77
Tabela 11 –	Caracterização de estudos sobre exposição a microplásticos e saúde do sistema renal.....	82
Tabela 12 –	Presença de microplásticos e saúde do sistema renal.....	83
Tabela 13 –	Caracterização de estudos sobre exposição a microplásticos e outros contextos de saúde.....	89
Tabela 14 –	Presença de microplásticos e outros contextos de saúde.....	91

## LISTA DE ABREVIATURAS E SIGLAS

<b>ABS</b>	Acrilonitrila Butadieno Estireno
<b>AC</b>	Acrílico
<b>ATR</b>	Reflectância Total Atenuada
<b>BALF</b>	Fluido de Lavagem Broncoalveolar
<b>BD</b>	Bilirrubina direta
<b>BPA</b>	Bisfenol A
<b>BR</b>	Borracha de butadieno (Butadiene Rubber)
<b>CAPES</b>	Coordenação de Aperfeiçoamento de Pessoal de Nível Superior
<b>CDR</b>	Resposta ao Perigo Celular/ Cell Danger Response
<b>CIUR</b>	Crescimento Intra-Uterino Restrito
<b>CPE</b>	Polietileno Clorado
<b>dEDS</b>	Dispersão de Energia
<b>DII</b>	Doença Inflamatória Intestinal
<b>DPI</b>	Doença Pulmonar Intersticial
<b>DPOC</b>	Doença Pulmonar Obstrutiva Crônica
<b>DS-Py-GC</b>	Cromatografia Gasosa de Tiro Duplo
<b>EAA</b>	Ácido acrílico etilado (Ethylene Acrylic Acid Copolymer)
<b>EDX</b>	Detector de Energia Dispersiva de Raios-X
<b>EPDM</b>	Borracha de etileno-propileno-dieno
<b>EPR</b>	Propileno de Etileno (Etileno Propileno Borracha)
<b>EVA</b>	Etileno Acetato de Vinila
<b>FEV1</b>	Volume Expiratório Forçado no 1º segundo
<b>FFP2</b>	Filtering Face Piece 2
<b>FIB</b>	Fibrinogênio
<b>FR</b>	Borracha fluorada (Fluorinated Rubber)
<b>FSH</b>	Hormônio Folículo Estimulante
<b>FTIR</b>	Espectroscopia por Infravermelho com Transformada de Fourier
<b>FVC</b>	Capacidade Vital Forçada
<b>GGN</b>	Nódulos Pulmonares de Vidro Fosco
<b>H<sub>2</sub>O<sub>2</sub></b>	Peróxido de hidrogênio

<b>HEPA</b>	Ar Particulado de Alta Eficiência
<b>HNO<sub>3</sub></b>	Ácido nítrico
<b>Índice PHI</b>	Índice de potencial de risco à saúde
<b>JBI</b>	Joanna Briggs Institute
<b>KOH</b>	Hidróxido de potássio
<b>LC-MS/MS</b>	Espectrometria de Massa por Cromatografia Líquida
<b>LDIR</b>	Espectroscopia de Infravermelho Direto a Laser
<b>MEDLINE</b>	Medical Literature Analysis and Retrieval System Online
<b>MNPs</b>	Micro e Nano plásticos
<b>MPs</b>	Microplásticos
<b>N6</b>	Nylon 6 (Poliamida 6)
<b>N66</b>	Nylon 66 (Poliamida 66)
<b>NaI</b>	Iodeto de Sódio
<b>NaOH</b>	Hidróxido de sódio
<b>NF-κB</b>	Fator nuclear kappa B
<b>NLRP3</b>	Receptor-like pyrin domain-containing 3
<b>NOSE</b>	Avaliação dos Sintomas de Obstrução Nasal
<b>NPs</b>	Nano Plásticos
<b>Nylon-EVA</b>	Nylon e Etileno-Vinil-Acetato
<b>ODS</b>	Objetivos de Desenvolvimento Sustentável
<b>PA</b>	Poliamida sintética
<b>PA6</b>	Poliamida 6
<b>PAA</b>	Ácido poliacrílico
<b>PAC</b>	Pneumonia Adquirida na Comunidade
<b>PAM</b>	Poliacrilamida
<b>PB</b>	Polibutadieno
<b>PBA</b>	Ácido polibuteno
<b>PBS</b>	Polibutileno Succinato
<b>PBT</b>	Polibutileno tereftalato
<b>PC</b>	Policarbonato
<b>PE</b>	Polietileno
<b>PEAA</b>	Polietileno com Ácido Acrílico
<b>PEAD</b>	Polietileno de Alta Densidade

<b>PEBD</b>	Polietileno de baixa densidade
<b>PEBDL</b>	Polietileno linear de baixa densidade
<b>PEMA</b>	Polimetacrilato de Etilo
<b>PER</b>	Perfluorelastômero
<b>PES</b>	Poliéster
<b>PET</b>	Polietileno Tereftalato
<b>PET-PE</b>	Polietileno Tereftalato com Polietileno
<b>PEVA</b>	Copolímero de Etileno-Acetato de Vinila
<b>PHD</b>	Hidreto de polifenileno
<b>PI</b>	Poliimida
<b>PLA</b>	Ácido polilático
<b>PLT</b>	Plaquetas
<b>PMMA</b>	Polimetilmetacrilato
<b>POM</b>	Polioximetileno / Poliacetal
<b>POPs</b>	Poluentes Orgânicos Persistentes
<b>PP</b>	Polipropileno
<b>PPA</b>	Poliamida 6
<b>PPO</b>	Polifenileno óxido
<b>PPROM</b>	Ruptura Prematura das Membranas Pré-termo
<b>PPSU</b>	Polifenilsulfona
<b>PRISMA</b>	Preferred Reporting Items for Systematic Reviews and Meta-Analyses
<b>PS</b>	Poliestireno
<b>PSAN</b>	Poliestireno Acrilonitrilo
<b>PSF</b>	Polissulfeto de fenileno
<b>PHA</b>	Poli-hidroxiclcanoato
<b>PSU</b>	Polissulfonas
<b>PTFE</b>	Politetrafluoroetileno
<b>PUR</b>	Poliuretano
<b>PVA</b>	Álcool Polivinílico
<b>PVAc</b>	Poliacetato de Vinila
<b>PVAE</b>	Acetato de polivinila etileno
<b>PVB</b>	Butiral de polivinila
<b>PVC</b>	Policloreto de Vinila

<b>PVDF</b>	Polifluoreto de vinilideno
<b>Py-GC-MS</b>	Pirólise acoplada à Cromatografia Gasosa e Espectrometria de Massa
<b>RA</b>	Rayon
<b>SBR</b>	Estireno-butadieno / Borracha de butadieno-estireno
<b>ScR</b>	Scoping Reviews
<b>SEM</b>	Microscopia Eletrônica de Varredura
<b>SEM-EDS</b>	Microscopia Eletrônica de Varredura com Dispersão de Energia
<b>SEM-EDX</b>	Microscopia Eletrônica de Varredura com Espectroscopia de Dispersão de Energia
<b>SFAR</b>	Sociedade Francesa de Anestesia e Terapia Intensiva
<b>SR</b>	Resina de silicone
<b>TDF</b>	Taxa de Descobertas Falsas
<b>TEM</b>	Microscopia Eletrônica de Transmissão
<b>TPA</b>	Ácido Tereftálico
<b>VP-SEM</b>	Microscopia Eletrônica de Varredura em Pressão Variável
<b>ZnCl<sub>2</sub></b>	Cloreto de zinco

## SUMÁRIO

	<b>INTRODUÇÃO</b> .....	17
1	<b>REVISÃO DE LITERATURA</b> .....	19
1.1	<b>Produção global de plásticos</b> .....	19
1.2	<b>Exposição humana aos microplásticos</b> .....	22
1.3	<b>Microplásticos e saúde humana</b> .....	23
2	<b>OBJETIVOS</b> .....	27
2.1	<b>Geral</b> .....	27
2.2	<b>Específicos</b> .....	27
3	<b>MÉTODOS</b> .....	28
3.1	<b>Desenho de estudo</b> .....	28
3.2	<b>Questão de pesquisa</b> .....	28
3.3	<b>Estratégias de pesquisa e fonte de dados</b> .....	28
3.3.1	<u>Literatura cinza</u> .....	31
3.4	<b>Período de pesquisa</b> .....	31
3.5	<b>Crítérios de seleção</b> .....	31
3.5.1	<u>Participantes</u> .....	31
3.5.2	<u>Conceito</u> .....	32
3.5.3	<u>Contexto</u> .....	32
3.5.4	<u>Tipos de fontes</u> .....	32
3.6	<b>Seleção dos estudos</b> .....	33
3.7	<b>Coleta de dados</b> .....	33
3.8	<b>Síntese de dados</b> .....	34
3.9	<b>Ética, declaração de conflitos e financiamento</b> .....	34
4	<b>RESULTADOS</b> .....	35
4.1	<b>Características dos estudos</b> .....	35
4.2	<b>Distribuição de microplásticos no corpo humano e potenciais impactos à saúde</b> .....	37
4.2.1	<u>Saúde materno-infantil</u> .....	38
4.2.2	<u>Saúde sexual e reprodutiva</u> .....	48
4.2.3	<u>Saúde do sistema cardiovascular</u> .....	53

4.2.4	<u>Saúde gastrointestinal</u> .....	59
4.2.5	<u>Saúde do sistema respiratório</u> .....	67
4.2.6	<u>Saúde do sistema renal</u> .....	80
4.2.7	<u>Contextos de saúde diversos</u> .....	84
4.3	<b>Métodos e técnicas de análises de microplásticos</b> .....	93
4.3.1	<u>Limitações das técnicas de análise</u> .....	96
4.3.2	<u>Práticas de controle de contaminação ambiental e metodológica em pesquisas sobre microplásticos</u> .....	97
4.4	<b>Limitações dos estudos</b> .....	100
4.5	<b>Recomendações e lacunas</b> .....	100
4.6	<b>Conflito de interesses e financiamento dos estudos</b> .....	101
5	<b>DISCUSSÃO</b> .....	102
	<b>CONCLUSÃO</b> .....	107
	<b>REFERÊNCIAS</b> .....	109
	<b>APÊNDICE A – Cronograma</b> .....	121
	<b>APÊNDICE B – Protocolo da revisão</b> .....	122
	<b>APÊNDICE C – Ficha de extração dos dados</b> .....	132

## INTRODUÇÃO

Nos últimos anos, a poluição por plásticos tem se tornado uma das maiores preocupações ambientais globais, com milhões de toneladas de resíduos plásticos sendo descartadas nos oceanos e outros ecossistemas a cada ano (1,2). Entre esses resíduos, os microplásticos (MPs) têm sido amplamente documentados em diversos ambientes, desde os oceanos até a atmosfera, levantando preocupações significativas sobre seus potenciais impactos na saúde humana (3–5).

A exposição humana aos MPs pode ocorrer através de várias vias, incluindo a ingestão de alimentos e água contaminados, a inalação de partículas presentes no ar e a absorção pela pele (6,7). A ingestão é considerada a principal via de exposição, especialmente através do consumo de alimentos marinhos, água potável e produtos embalados em plástico (8). Estudos emergentes sugerem que essas partículas podem ser ingeridas ou inaladas pelos seres humanos, acumulando-se potencialmente em vários tecidos do corpo (9–11).

Embora a compreensão dos mecanismos de ação dos MPs no corpo humano ainda esteja em seus estágios iniciais, estudos pré-clínicos apontam que sua presença nos tecidos pode desencadear respostas inflamatórias, estresse oxidativo e danos celulares (12–14). As partículas de MPs podem atuar como vetores de substâncias químicas tóxicas, como plastificantes, metais pesados e contaminantes orgânicos persistentes, que podem aderir à superfície plástica (15,16). Dada a crescente evidência de que os MPs estão presentes em tecidos humanos e seu potencial para impactar a saúde, há uma necessidade urgente de sintetizar essas evidências. Esta revisão de escopo busca fornecer uma visão abrangente das técnicas de análise utilizadas para detectar MPs e os tipos de tecidos estudados. Uma revisão de escopo é particularmente adequada para esta investigação porque o campo de estudo sobre a presença de MPs em tecidos humanos é emergente, e há uma necessidade de mapear a literatura disponível de forma abrangente e sistemática. Uma abordagem de revisão de escopo permitirá a síntese de uma ampla gama de estudos com diferentes métodos e enfoques, sem restringir a pesquisa a um único tipo de impacto ou técnica de análise. Além disso, esse tipo de revisão é útil para identificar lacunas no conhecimento e sugerir áreas para futuras pesquisas.

Uma pesquisa preliminar em bases de dados como MEDLINE, Cochrane Database of Systematic Reviews e JBI Evidence Synthesis não identificou revisões sistemáticas ou de escopo existentes ou em andamento sobre o tema, reforçando a importância e a originalidade

desta investigação. Assim, esta revisão de escopo foi conduzida para mapear sistematicamente as evidências disponíveis sobre a presença de MPs em tecidos humanos.

# 1 REVISÃO DE LITERATURA

## 1.1 Produção global de plásticos

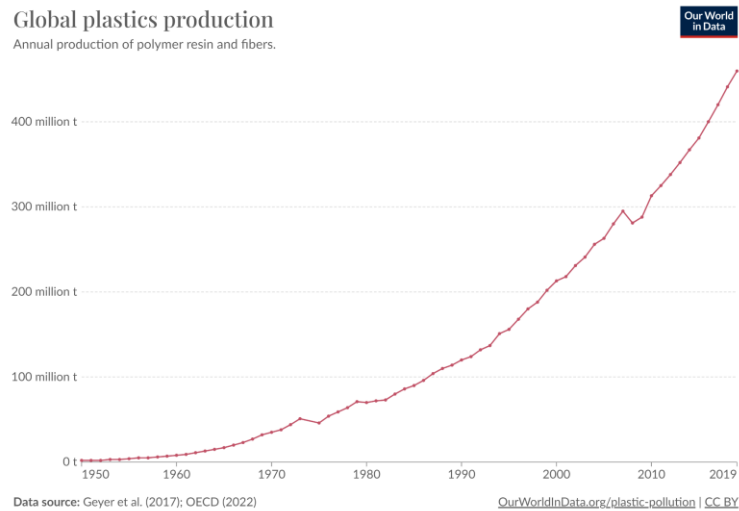
A história do plástico é marcada por inovações, desafios e oportunidades, desde a sua invenção até os seus impactos na sociedade e no meio ambiente. Em 1862, Alexander Parkes introduziu a Parkesina, o primeiro plástico, como alternativa à borracha, mas seu alto custo de produção a tornou inviável. Sete anos depois, a parkesina foi aprimorada por John Wesley Hyatt, dando origem a celuloide, o primeiro polímero sintético (17). Em 1907, Leo Hendrik Baekeland, considerado o pai da indústria do plástico, desenvolveu a Baquelite, o primeiro plástico totalmente sintético, marcando o início da indústria global de plásticos (18).

Durante a Segunda Guerra Mundial, a demanda por alternativas sintéticas aumentou, o material teve incontáveis usos militares: o nylon serviu para substituir a seda na fabricação de paraquedas; o acrílico foi usado nas janelas de compartimentos de tiro dos tanques e capacetes de plástico tomaram o lugar dos de metal, que eram mais pesados (19).

Durante a pandemia de COVID-19 (2020-2023), houve um aumento considerável no uso de plásticos descartáveis, como máscaras, luvas e embalagens de alimentos, com 3,4 bilhões de máscaras e escudos de uso único sendo utilizados globalmente todos os dias (20). O fechamento de restaurantes resultou em um aumento no uso de embalagens plásticas para entrega de alimentos (21), enquanto o aumento do comércio eletrônico durante o isolamento contribuiu para um aumento nas embalagens de plástico para *e-commerce* (22). A pandemia também causou interrupções significativas na reciclagem de plásticos, devido à suspensão temporária da coleta seletiva e uma redução temporária da competitividade dos plásticos reciclados devido aos baixos preços do petróleo e dos plásticos primários (2).

Desde 2019 são produzidas, anualmente, mais de 450 milhões de toneladas de plástico ao redor do mundo (Figura 1); e conseqüentemente mais de 400 milhões de toneladas de resíduos plásticos todos os anos (1,2).

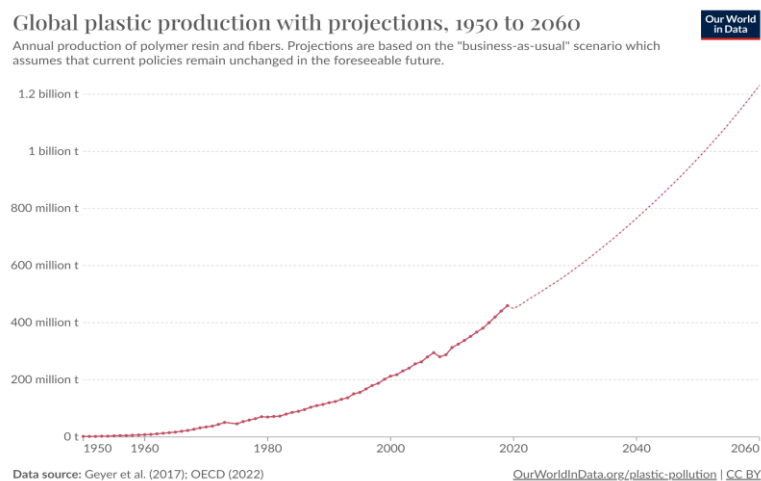
Figura 1 – Produção anual de plástico (resina e fibra) no mundo de 1950 a 2019



Fonte: Our World in Data (2024)

Ao todo estima-se que desde 1950 até 2019 a produção global acumulada de plástico (resinas poliméricas e fibras) seja de 9 bilhões de toneladas. Além disso, as projeções demonstram a produção de 1,2 bilhões de toneladas de plástico até 2060 (Figura 2) (1,2). As projeções baseiam-se no cenário de manutenção do status quo, que pressupõe que as atuais políticas permanecerão inalteradas no futuro próximo.

Figura 2 – Projeção da produção global de plástico até 2060



Fonte: Our World in Data (2024)

O plástico é composto majoritariamente por polímeros, que são formados a partir de monômeros extraídos do petróleo bruto ou gás natural, como etileno, propileno e estireno. Esses monômeros passam por processos químicos, como a polimerização, para originar longas cadeias moleculares. Durante ou após essa etapa, aditivos são incorporados para ajustar as propriedades do material (23). Entre os principais tipos de plásticos e seus respectivos monômeros, destacam-se: o polietileno (PE), derivado do etileno ( $C_2H_4$ ); o polipropileno (PP), obtido do propileno ( $C_3H_6$ ); o poliestireno (PS), produzido a partir do estireno ( $C_8H_8$ ); o policloreto de vinila (PVC), proveniente do cloreto de vinila ( $C_2H_3Cl$ ); e o polietileno tereftalato (PET), resultante da combinação de etilenoglicol e ácido tereftálico (23). Além das fontes fósseis, os plásticos também podem ser produzidos a partir de fontes renováveis, como amido de milho, cana-de-açúcar e óleos vegetais, utilizados na fabricação de bioplásticos e polímeros biodegradáveis (23).

Metade do plástico mundial ainda vai direto para aterros (50%), 22% é mal gerido, 19% é incinerado e 9% é reciclado (24). Os resíduos mal geridos ficam suscetíveis à fragmentação devido à exposição à luz solar, ação mecânica, temperaturas extremas, microrganismos, abrasão química e intemperismo ambiental (25,26), gerando MPs.

Um dos aspectos mais preocupantes da poluição por plástico é a geração de MPs e nano plásticos (NPs). O termo "microplástico" foi inicialmente utilizado por Carpenter e Smith (1972) para se referir à presença desses compostos no Mar dos Sargaços. Desde essa primeira menção, a preocupação com esses poluentes de tamanho reduzido tem crescido consideravelmente, e a definição do termo continua sendo objeto de debate. Richard Thompson, biólogo marinho britânico, é amplamente reconhecido por suas contribuições pioneiras à pesquisa sobre MPs. Em 2004, ele publicou um estudo na revista *Science* intitulado "Lost at Sea: Where is All the Plastic?", no qual popularizou o uso do termo "microplásticos" para descrever partículas plásticas com menos de 5 milímetros de diâmetro. Alguns pesquisadores definem os MPs como fragmentos menores que 5 milímetros, enquanto os NPs são considerados partículas extremamente pequenas, geralmente com dimensões inferiores a 100 nanômetros (nm), podendo ser produzidas diretamente nesse tamanho ou formadas a partir da decomposição de MPs (28,29).

Porém, de acordo com a Norma ISO intitulada "Plastics – Environmental Aspects – State of Knowledge and Methodologies", as partículas plásticas maiores que 1 mm e menores que 5mm devem ser consideradas como macroplásticos. Enquanto os NPs devem ser considerados quando as partículas possuem dimensões entre 1 a 1000 nm. Por último os MPs

devem ser definidos como qualquer partícula plástica sólida insolúvel em água com dimensões entre 1 µm e 1 mm (30). Sendo então divididos em duas categorias: primários, que são fabricados intencionalmente com tamanhos pequenos para uso em produtos de cuidados pessoais e industriais, e secundários, que são resultantes da fragmentação de plásticos maiores (31,32).

## 1.2 Exposição humana aos microplásticos

Há várias maneiras pelas quais as partículas MPs podem ser transportadas, isso inclui processos como aerossolização na interface mar-ar (do oceano para a atmosfera), deposição atmosférica (da atmosfera para a superfície terrestre), escoamento terrestre (da superfície terrestre para os corpos d'água) e sedimentação (da coluna de água para os sedimentos) (3–5). A presença de MPs está documentada em diversos ambientes, desde os sedimentos oceânicos mais profundos até sistemas de água doce, atmosfera e gelo do Mar Ártico (3–5).

Os MPs transportados pelo ar são provenientes de fontes variadas, como itens plásticos de uso cotidiano, produtos de cuidados pessoais e vestuário, bem como da superfície das estradas e do desgaste de pneus, além de resultarem de processos de reciclagem (4,33). Enquanto as fontes terrestres, tais como sacolas plásticas, garrafas, produtos de higiene pessoal, materiais de construção, resíduos industriais e produtos de uso cotidiano contribuem para a presença de MPs nos corpos d'água, representando entre 80-90% do total. As fontes oceânicas são provenientes da pesca comercial, turismo costeiro e resíduos industriais marítimos, como aqueles provenientes da indústria petroquímica.

A presença disseminada de MPs em diversos compartimentos ambientais destaca uma preocupação crescente com a exposição crônica dos seres humanos a essas partículas por meio de múltiplos caminhos de contaminação. À medida que as partículas MPs são geradas, mobilizadas ou circulam pelo ambiente, existe potencial para exposição humana. Assim, os seres humanos podem ser expostos a MPs através da ingestão, inalação e contato dérmico (4,33–35).

A exposição por contato dérmico se dá através de cosméticos que contêm microesferas classificadas como MPs primários, como pasta de dente, shampoo, produtos de limpeza facial entre outros (34). A exposição por inalação é evidenciada por meio da presença de MPs na atmosfera, que podem ser transportados pelo vento a partir de fontes terrestres ou oceânicas e

inalados pelo ser humano (4,33). Além disso, estudos mostram que microfibras sintéticas das roupas são facilmente liberadas na atmosfera (36,37), bem como produtos plásticos fragmentados em aterros sanitários podem ser transportados pelo ar (38), inaladas e transportadas para o trato gastrointestinal (35).

Os microplásticos, uma vez presentes no ambiente marinho, são ingeridos por organismos aquáticos, como peixes e mariscos, podendo se acumular e se concentrar ao longo da cadeia alimentar. Isso pode levar à exposição humana aos MPs através do consumo de frutos do mar e produtos de pescados destinados ao consumo humano (39–41).

Além disso, produtos alimentícios embalados, água e bebidas engarrafadas representam uma via adicional de exposição humana aos MPs (42). MPs podem ser ingeridos diretamente quando humanos consomem alimentos em recipientes plásticos, como copos descartáveis, recipientes e garrafas de água feitas de PET. Por exemplo, copos e recipientes descartáveis liberam quantidades consideráveis de MPs quando em uso (43–45).

Os MPs podem entrar na cadeia alimentar por diversos meios. Microfibras de plástico liberadas durante a lavagem de roupas sintéticas podem ser transportadas para sistemas de tratamento de água e, eventualmente, contaminar fontes de água potável e ambientes aquáticos. Os MPs foram recentemente evidenciados em diferentes fontes de água potável como rio, lagos, unidades de tratamento e em garrafas de água mineral. Essas fibras podem ser encontradas em produtos como água engarrafada e alimentos à base de água (46).

Ademais, a irrigação de culturas com água contaminada por MPs pode resultar na presença dessas partículas em produtos agrícolas, como frutas e vegetais (47,48). A persistência dessas partículas no ambiente e sua presença em diversos meios, destaca a urgência em compreender os impactos ambientais e, potencialmente, os riscos para a saúde humana.

### **1.3 Microplásticos e saúde**

A exposição humana a MPs é uma preocupação crescente devido aos chamados "efeitos de cavalo de Troia" (Trojan-horse effects). Esses efeitos se referem à capacidade dos MPs de transportar substâncias químicas tóxicas para dentro do organismo. Isso ocorre porque os MPs possuem uma elevada área de superfície e forte afinidade de ligação, características que permitem interagir e adsorver uma variedade de substâncias, como metais, compostos orgânicos e biomoléculas (49). Por conta disso, os MPs podem funcionar como veículos para poluentes

ambientais, incluindo os poluentes orgânicos persistentes (POPs) e produtos químicos industriais, potencializando sua presença nos organismos que os ingerem e aumentando os riscos à saúde (34).

Os POPs são substâncias químicas sintéticas com alta estabilidade e resistência à degradação. Eles podem se acumular no meio ambiente e em organismos vivos, mesmo em locais distantes das áreas de emissão, devido à sua capacidade de se volatilizar, viajar pelo ar e se condensar em regiões mais frias (50,51). Esses compostos tendem a se concentrar em tecidos biológicos em níveis superiores aos encontrados no ambiente e estão associados a uma ampla gama de problemas de saúde, como alterações hormonais, imunológicas, neurológicas e reprodutivas, mesmo sem contato direto com outras substâncias químicas (52).

Outro aspecto importante é a formação de eco ou bio-coronas, que ocorre quando substâncias ambientais aderem à superfície dos MPs, formando um biofilme. Esse biofilme pode alterar as propriedades das partículas plásticas e, em alguns casos, amplificar seus efeitos tóxicos (53). Estudos recentes demonstraram que organismos como os protozoários *Toxoplasma gondii* e *Giardia* podem se associar a biofilmes formados em microfibras plásticas, sugerindo potenciais implicações para a saúde pública e os ecossistemas aquáticos (54).

A lixiviação, por sua vez, é o processo pelo qual substâncias químicas presentes em materiais, como plásticos, são liberadas para o ambiente, geralmente em meio aquoso. Esse fenômeno ocorre quando compostos se desprendem do material sólido, contaminando a água ou o solo ao seu redor. Estima-se que mais de 13 mil substâncias químicas estejam associadas à fabricação e uso de plásticos, sendo que mais de 3.200 são consideradas potencialmente perigosas devido às suas propriedades tóxicas (55). Produtos como plastificantes e retardadores de chama, frequentemente usados na produção de plásticos, podem ser liberados no ambiente e eventualmente absorvidos pelo corpo humano, estando ligados a diversos efeitos adversos à saúde (25).

A exposição aos MPs e seus compostos químicos pode ocorrer por diferentes vias, com impactos distintos sobre a saúde. A exposição aguda acontece quando os poluentes entram em contato imediato com o organismo, podendo causar efeitos tóxicos de curto prazo. Já a exposição crônica acontece quando micropoluentes e substâncias tóxicas acumuladas são incorporados à cadeia alimentar, resultando em toxicidade de longo prazo, que se manifesta após exposições repetidas ou prolongadas (56). A toxicidade crônica é caracterizada por danos graduais aos órgãos e funções biológicas devido à exposição prolongada a agentes tóxicos (57).

Diversos estudos, *in vitro* e com animais, têm mostrado que a exposição a MPs e NPs pode causar efeitos negativos em diferentes sistemas biológicos. Em relação ao trato gastrointestinal, estudos em camundongos, como os de (58) e Djouina et al.(59) revelam que MPs causam inflamação intestinal e danos ao fígado, como fibrose e alterações metabólicas. Outros estudos observaram mudanças na microbiota intestinal de camundongos, resultando em distúrbios no metabolismo e no eixo intestino-cérebro, com implicações para a saúde mental (60).

No sistema nervoso, os efeitos dos MPs são igualmente preocupantes. Pesquisas *in vitro* como a de Gettings et al.(61) identificaram impactos temporários nas células vasculares cerebrais, enquanto outros estudos mostraram que a exposição prolongada de camundongos a NPs pode afetar a função cognitiva e a saúde neurológica, com ativação da microglia, inflamação e depósitos de substâncias relacionadas a doenças neurodegenerativas (46,62).

Em relação ao sistema respiratório, os efeitos dos MPs também são evidentes. Estudos demonstraram que a exposição a MPs como PS e PE pode causar inflamação pulmonar, fibrose e lesões nos pulmões de camundongos, com ativação de vias inflamatórias (63,64). Além disso, a exposição a MPs de PVC foi associada com danos pulmonares e envelhecimento celular, aumentando os riscos para doenças respiratórias em ratos (65).

Durante a gestação, os MPs também têm mostrado efeitos significativos. Um estudo verificou redução no peso fetal e alterações no metabolismo da placenta em camundongos expostos ao PS (66). Enquanto, a exposição a MPs diminui o fluxo sanguíneo na artéria umbilical e afeta o desenvolvimento fetal de camundongos, com efeitos negativos no cérebro, como dilatação dos vasos cerebrais e falta de oxigênio (67).

Além disso, a exposição crônica a MPs está associada a disfunções endócrinas, estresse oxidativo, toxicidade transgeracional e redução da fertilidade. Uma revisão de literatura indicou que MPs comprometem a integridade da barreira hemato-testicular, prejudicando a qualidade do esperma, com efeitos em motilidade e morfologia (68,69). MPs também afetam o metabolismo, causando distúrbios como intolerância à glicose e fibrose hepática em ratos (70).

O impacto genético dos MPs também foi examinado em diversos estudos, que revelaram que MPs induzem estresse oxidativo e instabilidade genômica, com alterações no DNA de células humanas e animais (71,72). Além disso, foram encontradas evidências de efeitos carcinogênicos em células renais e testiculares humanas expostas a NPs de PS, ativando vias carcinogênicas e aumentando a apoptose celular (73).

Em resumo, os estudos revisados sugerem que a exposição a MPs e NPs pode afetar uma ampla gama de órgãos e sistemas biológicos, incluindo o trato gastrointestinal, cérebro, pulmões, rins, fígado, sistema reprodutor e placenta. Esses efeitos incluem inflamação, alterações no metabolismo, danos celulares, estresse oxidativo, e disfunções endócrinas e genéticas, apontando para sérios riscos à saúde e possíveis consequências de longo prazo. Avanços recentes em métodos analíticos permitiram identificar MPs em diversos tecidos humanos e amostras biológicas, como confirmação adicional da exposição e potencialmente indicando biodistribuição no corpo após a exposição, bem como pontos de acumulação.

## **2 OBJETIVOS**

### **2.1 Objetivo geral**

Sintetizar as evidências científicas sobre a exposição humana a microplásticos e suas potenciais implicações para a saúde.

### **2.2 Objetivos específicos**

- a) Revisar a literatura científica sobre a presença de microplásticos em diferentes tecidos e amostras humanas.
- b) Sintetizar as técnicas de análise utilizadas para detectar, quantificar e caracterizar a exposição a microplásticos em tecidos humanos.
- c) Resumir as possíveis consequências negativas para a saúde decorrentes da presença de microplásticos em humanos.

## **3 MÉTODOS**

### **3.1 Desenho de estudo**

Este estudo é uma revisão de escopo, seguindo as diretrizes estabelecidas na Declaração de Itens de Relatório Preferenciais para Revisões Sistemáticas (PRISMA), que foram adaptadas para o contexto de Revisões de Escopo por meio do PRISMA-ScR. O protocolo desta revisão foi elaborado e executado de acordo com as orientações do PRISMA-ScR (74) e foi registrado prospectivamente no Figshare em outubro de 2024 (Doi:[10.6084/m9.figshare.27324453](https://doi.org/10.6084/m9.figshare.27324453)).

### **3.2 Questão de pesquisa**

A revisão de escopo aborda três principais questões de pesquisa. Em primeiro lugar, busca-se investigar se há evidências concretas da presença de microplásticos no organismo humano. Em segundo lugar, são explorados os métodos utilizados para medir essa exposição, considerando as técnicas analíticas disponíveis e suas limitações. Por fim, examina-se se a exposição a microplásticos está associada a consequências negativas para a saúde.

### **3.3 Estratégias de pesquisa e fonte de dados**

A estratégia de busca para esta revisão de escopo foi elaborada com o objetivo de ser o mais abrangente possível. A busca identificou fontes primárias de evidências, tanto publicadas quanto não publicadas. Uma estratégia de pesquisa em três etapas foi utilizada nesta revisão. Na primeira etapa uma busca inicial limitada foi realizada em pelo menos dois bancos de dados on-line apropriados. Os bancos de dados selecionados incluem MEDLINE (via PubMed) e Scopus, ambos relevantes para a identificação de estudos sobre a presença de MPs em tecidos humanos e seus impactos à saúde. Essa busca inicial permitiu uma identificação preliminar de artigos relevantes.

Na segunda etapa, após a busca inicial, foi realizada uma análise das palavras do texto contidas nos títulos e resumos dos artigos recuperados, assim como dos termos de índice usados para descrever os artigos. A partir dessas informações, uma estratégia de busca abrangente foi desenvolvida, utilizando as palavras-chave e termos de índice identificados. Esta busca foi

adaptada para todos os bancos de dados incluídos (Quadros 1,2,3,4,5,6,7,8), como MEDLINE, Scopus, Web of Science, EMBASE, LILACS, SciELO, OpenGrey (repositório europeu de literatura cinza) e Grey Literature Report (coleção de materiais não publicados relacionados à saúde). As listas de referências de todas as fontes de evidência incluídas foram examinadas para identificar estudos relevantes.

Foram considerados para inclusão nesta revisão todos os idiomas disponíveis. Nos casos em que os revisores não dominavam o idioma, utilizou-se a tradução assistida pela inteligência artificial ChatGPT, versão GPT-4 Mini. O período de inclusão dos estudos foi definido com base na disponibilidade de literatura relevante, sem delimitação temporal.

Quadro 1 – Estratégia de Busca MEDLINE.

#1	((((((((((Microplastics[MeSH Terms]) OR (Microplastic[Title/Abstract])) OR (Plastic Microparticles[Title/Abstract])) OR (Microparticle, Plastic[Title/Abstract])) OR (Microparticles, Plastic[Title/Abstract])) OR (Plastic Microparticle[Title/Abstract])) OR (Mesoplastics[Title/Abstract])) OR (Mesoplastic[Title/Abstract])) OR (Plastic Nanoparticles[Title/Abstract])) OR (Nanoparticle, Plastic[Title/Abstract])) OR (Nanoparticles, Plastic[Title/Abstract])) OR (Plastic Nanoparticle[Title/Abstract]) AND ("human tissues"[Title/Abstract] OR "Blood"[Title/Abstract] OR "Placenta"[Title/Abstract] OR "Lung"[Title/Abstract] OR "Liver"[Title/Abstract] OR "umbilical cord"[Title/Abstract] OR "fetus blood"[Title/Abstract] OR "meconium"[Title/Abstract] OR "feces"[Title/Abstract] OR "breast milk"[Title/Abstract] OR "colon"[Title/Abstract] OR "intestine"[Title/Abstract] OR "kidney"[Title/Abstract] OR "spleen"[Title/Abstract])) AND (humans[Filter])
----	--

Quadro 2- Estratégia de Busca SCOPUS.

#1	TITLE ( microplastic* ) OR TITLE ( plastic AND microparticle* ) OR TITLE ( plastic AND particle* ) OR TITLE (nanoplastic*)
#2	TITLE ( human AND tissues ) OR TITLE ( blood ) OR TITLE ( placenta ) OR TITLE ( lung ) OR TITLE ( liver ) OR TITLE ( umbilical AND cord ) OR TITLE ( fetus AND blood ) OR TITLE ( meconium ) OR TITLE ( feces ) OR TITLE ( breast AND milk ) OR TITLE ( colon ) OR TITLE ( intestine ) OR TITLE ( kidney ) OR TITLE ( spleen )
#3	#1 AND #2

Quadro 3 - Estratégia de Busca WEB OF SCIENCE.

#1	TI=microplastic* OR TI='plastic microparticle*' OR TI='Plastic particle*' OR TI=nanoplastic*
#2	TI='Human tissues' OR TI=Blood OR TI=Placenta OR TI=Lung OR TI=Liver OR TI='Umbilical Cord' OR TI='Fetus Blood' OR TI=meconium OR TI=feces OR TI='breast milk' OR TI=colon OR TI=intestine OR TI=kidney OR TI=spleen
#3	#1 AND #2

Quadro 4- Estratégia de Busca EMBASE.

#1	microplastic:ti OR 'plastic microparticle*':ti OR 'plastic particle*':ti OR 'nanoplastic*':ti
#2	human tissues':ti OR blood:ti OR placenta:ti OR lung:ti OR liver:ti OR 'umbilical cord':ti OR 'fetus blood':ti OR meconium:ti OR feces:ti OR 'breast milk':ti OR colon:ti OR intestine:ti OR kidney:ti OR spleen:ti
#3	#1 AND #2

Quadro 5- Estratégia de Busca LILACS por título, resumo e assunto.

#1	(Microplastics) OR (Microplastic) OR (Plastic Microparticles) OR (Microparticle, Plastic) OR (Microparticles, Plastic) OR (Plastic Microparticle) OR (Mesoplastics) OR (Mesoplastic) OR (Plastic Nanoparticles) OR (Nanoparticle, Plastic) OR (Nanoparticles, Plastic) OR (Plastic Nanoparticle)
#2	(human tissues) OR (Blood) OR (Placenta) OR (Lung) OR (Liver) OR (umbilical cord) OR (fetus blood) OR (meconium) OR (feces) OR (breast milk) OR (colon) OR (intestine) OR (kidney) OR (spleen)
#3	#1 AND #2

Quadro 6 - Estratégia de Busca SciELO.

#1	(ti:(Microplastics)) OR (ti:(Microplastic)) OR (ti:(Plastic Microparticles)) OR (ti:(Microparticle, Plastic)) OR (ti:(Microparticles, Plastic)) OR (ti:(Plastic Microparticle)) OR (ti:(Mesoplastics)) OR (ti:(Mesoplastic)) AND (ti:(Plastic Nanoparticles)) OR (ti:(Nanoparticle, Plastic)) OR (ti:(Nanoparticles, Plastic)) OR (ti:(Plastic Nanoparticle))
#2	(ti:(human tissues)) OR (ti:(Blood)) OR (ti:(Placenta)) OR (ti:(Lung)) OR (ti:(Liver)) OR (ti:(umbilical cord)) OR (ti:(fetus blood)) OR (ti:(meconium)) OR (ti:(feces)) OR (ti:(breast milk)) OR (ti:(colon)) OR (ti:(intestine)) OR (ti:(kidney)) OR (ti:(spleen))
#3	#1 AND #2

### 3.3.1 Literatura cinza

Quadro 7 - Estratégia de busca OpenGrey (Via DANS EASY Archive).

#1	Microplastics
#2	human tissues OR Blood OR Placenta OR Lung OR Liver OR umbilical cord OR fetus blood OR meconium OR feces OR breast milk OR colon OR intestine OR kidney OR spleen
#3	#1 AND #2

Quadro 8 - Estratégia de busca Grey Literature Report.

#1	Microplastics
#2	human tissues OR Blood OR Placenta OR Lung OR Liver OR umbilical cord OR fetus blood OR meconium OR feces OR breast milk OR colon OR intestine OR kidney OR spleen
#3	human health
#4	#1 AND #2
#5	#1 AND #3

## **3.4 Período de pesquisa**

As buscas foram realizadas por um único revisor em junho de 2024 (28/06/2024), nas bases MEDLINE, Scopus, Web of Science e EMBASE. Enquanto as buscas nas bases LILACS, SciELO, OpenGrey, Grey Literature Report foram realizadas em outubro de 2024 (23/10/2024).

## **3.5 Critérios de seleção**

### 3.5.1 Participantes

Não houve restrições quanto à faixa etária, sexo ou condições clínicas específicas dos participantes. Por outro lado, foram excluídos estudos que envolvessem amostras de animais ou modelos pré-clínicos, bem como aqueles que não especificassem claramente a análise de amostras humanas.

### 3.5.2 Conceito

O conceito central desta revisão é a presença de MPs em tecidos humanos e os potenciais impactos à saúde associados a essa presença. Foram incluídos estudos que investigaram a presença de MPs em amostras biológicas humanas e/ou que investiguem os efeitos à saúde decorrentes dessa exposição, como inflamação, estresse oxidativo, e outros efeitos adversos.

Estudos que focaram exclusivamente na poluição ambiental por MPs, sem investigar a exposição em humanos ou seus impactos à saúde, foram excluídos. Além disso, estudos que analisaram apenas a toxicidade de MPs em culturas de células ou organismos modelo, também foram excluídos. Estudos que abordaram MPs em produtos de consumo ou embalagens, mas sem relação com impactos em tecidos humanos, também não foram incluídos.

### 3.5.3 Contexto

O contexto inclui estudos realizados em qualquer região geográfica ou cultural, com foco em indivíduos expostos a MPs por meio de ingestão (alimentos e água contaminados), inalação (ar poluído) ou contato dérmico (produtos de consumo, cosméticos). A revisão incluiu estudos realizados em qualquer ambiente, incluindo áreas urbanas, rurais, comunidades costeiras ou outros ambientes relevantes onde a exposição a MPs possa ocorrer. Foram excluídos estudos que investigaram contextos irrelevantes para a exposição humana. Pesquisas focadas exclusivamente em ambientes não humanos (por exemplo, estudos sobre MPs em ecossistemas aquáticos ou terrestres sem conexão com a saúde humana).

### 3.5.4 Tipos de fontes

Esta revisão de escopo considerou estudos experimentais e quasi-experimentais, estudos de séries temporais. Estudos observacionais analíticos, como estudos de coorte prospectivos e retrospectivos, estudos de caso-controle e estudos transversais analíticos também foram incluídos. Além disso, estudos observacionais descritivos, como séries de casos, relatos de casos individuais, biomonitoramento e estudos transversais descritivos, foram considerados.

### 3.6 Seleção dos estudos

As referências bibliográficas identificadas por meio da estratégia de busca foram gerenciadas pela plataforma Rayyan, que permite a colaboração da equipe de pesquisa, identificação de duplicatas e possui mecanismo para registrar decisões de forma mascarada. Os títulos e resumos foram selecionados por dois revisores independentes para avaliação de acordo com os critérios de inclusão para a revisão. O texto completo das citações selecionadas foram avaliadas detalhadamente em relação aos critérios de inclusão por dois revisores independentes (TNB, MBL). Os motivos para exclusão de fontes de evidência no texto completo que não atenderam aos critérios de inclusão foram registrados e relatados. As divergências entre os revisores em cada etapa do processo de seleção foram resolvidas por meio de discussão, e os casos sem acordo, resolvidos por um terceiro revisor (EF). Os resultados da busca e do processo de inclusão do estudo foram relatados na íntegra e apresentados em um fluxograma PRISMA(75).

### 3.7 Coleta de dados

Um formulário de registro de dados foi desenvolvido para determinar quais variáveis extrair. A extração foi realizada por dois revisores de forma independente (TNB, MBL). A ficha de extração foi elaborada, usando o Microsoft Excel, com as seguintes informações: **a) identificação do estudo:** título, autores, ano de publicação, fonte (jornal/periódico), país de origem; **b) informações gerais do método:** desenho de estudo, objetivo, número de participantes, número de amostras, características dos participantes, contexto; **c) detecção de microplásticos:** tipos de tecidos/amostras, frequência de detecção, tipo de microplástico, quantidade de microplástico; **d) exposição ambiental:** vias de exposição, forma de medição e frequência de exposição; **e) técnicas de análise para detecção dos microplásticos:** descrição, protocolo livre de plástico; **f) saúde humana:** sintomas/condições associadas, principais resultados, conclusões dos autores, recomendações; **g) informações adicionais:** limitações, lacunas, fontes de financiamento e declaração de conflitos.

### **3.8 Síntese de dados**

Os resultados foram organizados de forma a permitir uma análise clara e acessível das evidências coletadas. A apresentação dos dados foi feita de forma narrativa e por meio de tabelas e gráficos que sintetizam informações sobre características dos estudos, detecção de MPs e técnicas de análise. Além da apresentação quantitativa, a revisão se dedicou a identificar lacunas na literatura atual. Isso incluiu a análise de áreas que necessitam de mais investigações, considerando os resultados obtidos e as evidências disponíveis. As limitações dos estudos revisados também foram discutidas. Todo o processo de análise e apresentação dos dados foi documentado de maneira detalhada, assegurando a transparência e a auditabilidade da revisão. A conformidade com as diretrizes PRISMA-ScR garantiu a estrutura e qualidade da apresentação dos resultados.

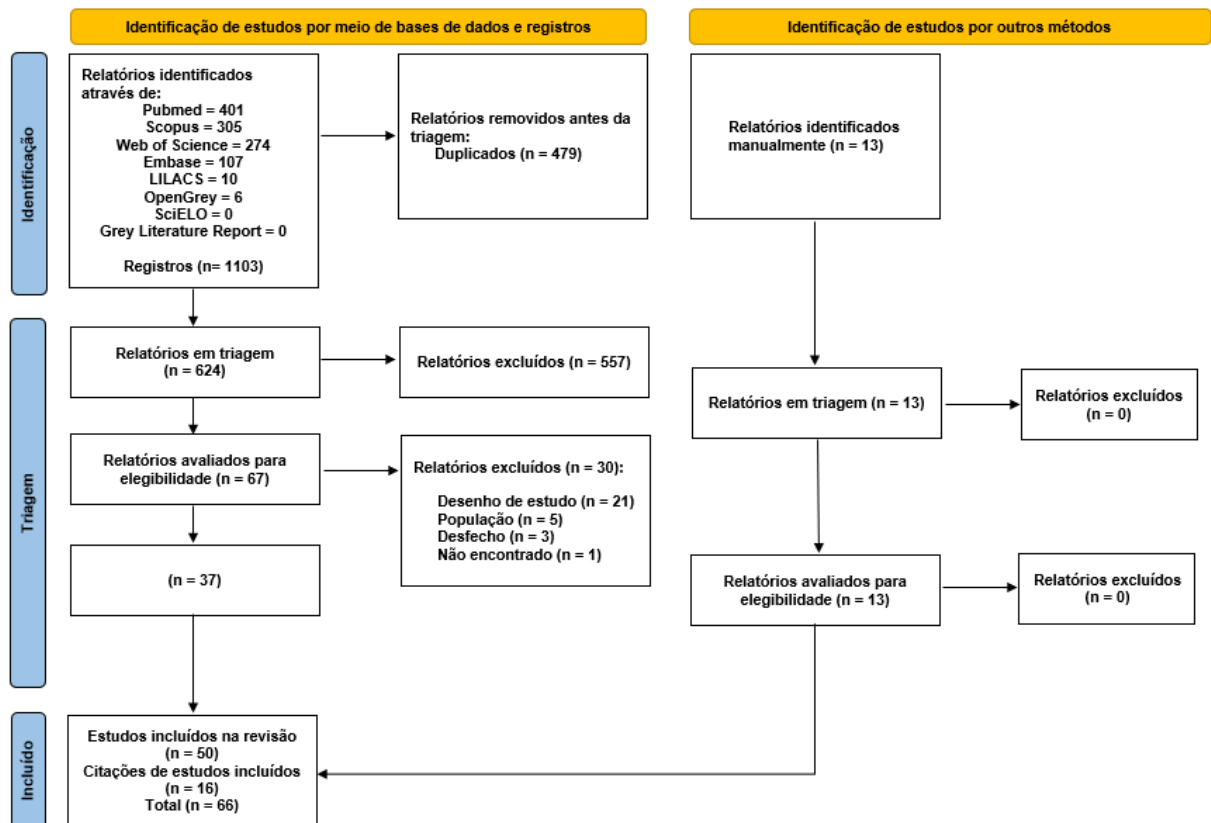
### **3.9 Ética, declaração de conflitos e financiamento**

Como os dados utilizados neste estudo foram obtidos de relatórios publicados, não há necessidade de aprovação ética. Além disso, os autores declaram não possuir conflitos de interesse relacionados a este estudo. A pesquisa foi financiada pela Fundação Coordenação de Aperfeiçoamento de Pessoal de Nível Superior (CAPES), uma agência governamental, por meio de uma bolsa de mestrado. A CAPES não teve influência na coleta, análise ou interpretação dos dados, nem na redação dos resultados deste estudo.

## 4 RESULTADOS

A estratégia de busca resultou em um total de 1103 artigos. Após a remoção de 479 registros duplicados, restaram 624 registros únicos para a primeira etapa da triagem e 67 para leitura completa. Ao final foram selecionados 66 estudos (Figura 3).

Figura 3 – Fluxograma para identificação, triagem, elegibilidade e inclusão de estudos.

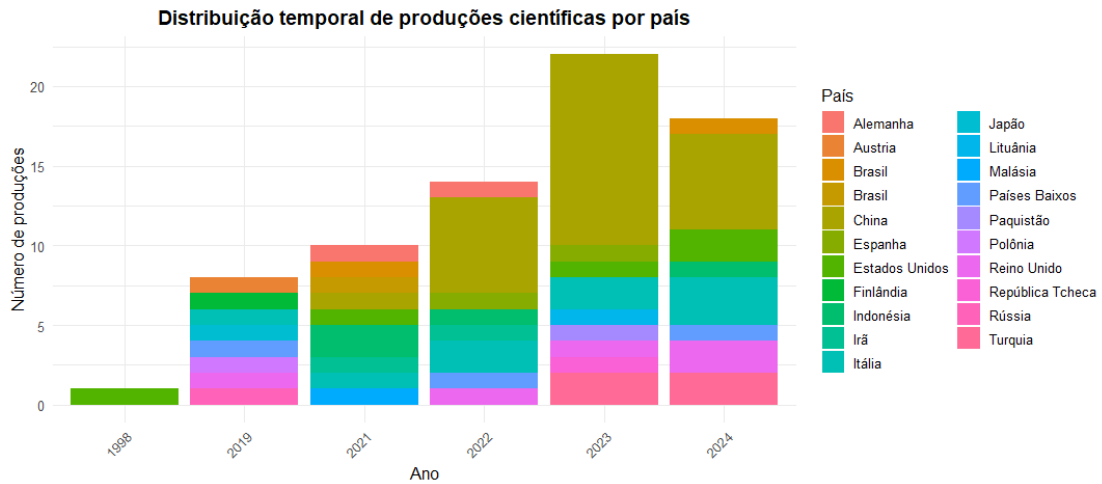


Fonte: A autora, 2024.

### 4.1 Características dos estudos

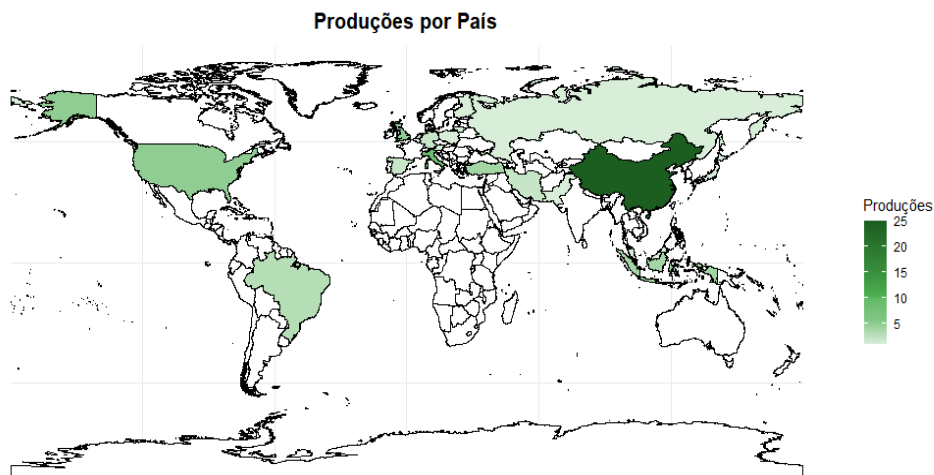
Os estudos analisados foram realizados em diferentes países e contextos, sendo todos publicados em inglês e abrangendo cenários como ambientes hospitalares, laboratórios e comunidades. O gráfico 1 apresenta a distribuição das produções científicas relacionadas a esses estudos, destacando a contribuição de diferentes países ao longo dos anos para a investigação dos MPs em fluidos e tecidos humanos, sendo a China o país que mais produziu, com 25 estudos (Figura 4).

Gráfico 1 – Distribuição temporal de produções científicas por país.



Fonte: A autora, 2024.

Figura 4 – Mapa de distribuição das produções científicas por país.



Fonte: A autora, 2024.

Ao analisar os estudos incluídos, observou-se que a classificação dos tipos de estudo variava entre as diferentes áreas do conhecimento, especialmente em campos como a Química e outras ciências básicas. Termos como 'prospectivo observacional', 'quase-experimental' e 'série temporal' foram utilizados de maneiras que nem sempre correspondiam às definições convencionais da Epidemiologia. No entanto, considerando que a maioria dos estudos ainda é recente e apresenta amostras reduzidas, optou-se por não enfatizar a categorização dos delineamentos. Em vez disso, a revisão priorizou a descrição das evidências disponíveis e suas

contribuições para o entendimento do tema. Dentre os estudos selecionados, 3 eram pré-prints (76–78) e 1 era resumo de congresso (79).

Os estudos analisados destacaram diferentes formas de medição da exposição aos MPs, variando entre técnicas laboratoriais avançadas e abordagens baseadas em questionários para investigar hábitos e fontes de exposição. Esses questionários foram usados para investigar o consumo de alimentos embalados em plástico, uso de cosméticos contendo partículas plásticas e exposição ocupacional a MPs em indústrias ou ambientes de alto risco (80–88). A combinação dessas abordagens foi particularmente útil em estudos que analisaram amostras fecais (82,89–91), permitindo relacionar os MPs detectados com os hábitos alimentares e dietéticos dos participantes.

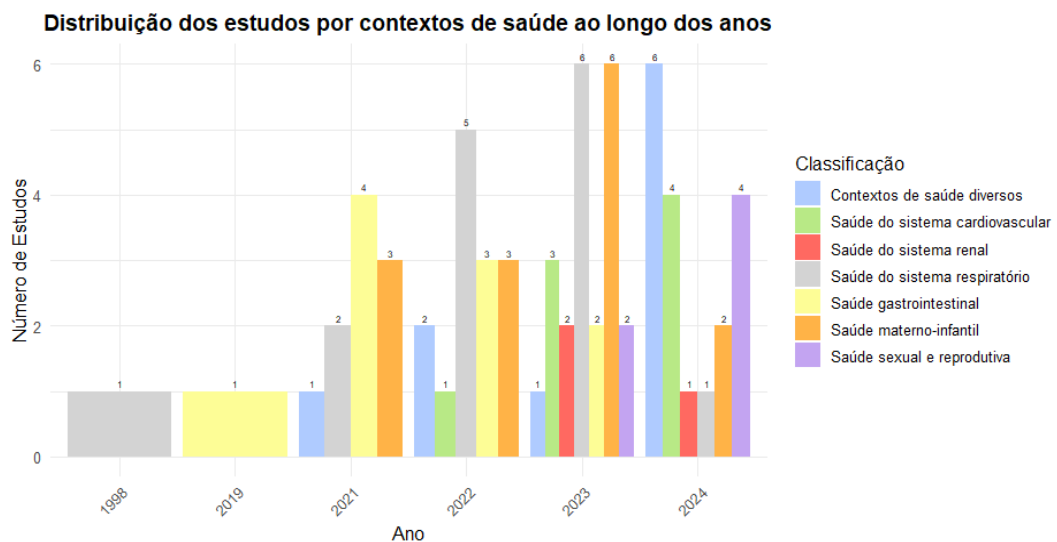
Estudos específicos sobre secreções respiratórias, como fluido broncoalveolar (84,87,92) e secreções nasais (93,94), concentraram-se exclusivamente na análise laboratorial, sem explorar informações comportamentais. Enquanto as técnicas laboratoriais fornecem evidências robustas da presença de MPs em diferentes compartimentos biológicos, os questionários permitem identificar potenciais fontes de exposição relacionadas a hábitos alimentares, ocupacionais e de consumo. As características dos estudos analisados estão detalhadas nas Tabelas 1, 3, 5, 7, 9, 11 e 13, permitindo uma visualização mais abrangente.

#### **4.2 Distribuição de microplásticos no corpo humano e potenciais impactos à saúde**

Os artigos analisados na revisão incluíram uma ampla variedade de tecidos, fluidos e amostras humanas para investigar a presença de MPs. Os tecidos estudados abrangeram diferentes sistemas do corpo humano, como pulmonar (79,80,95–98), intestinal (99–101), endometrial (102), vascular, incluindo artérias e veia safena (103–105), sinovial (106) e até o sistema reprodutivo masculino (107,108). Amostras de placenta, tanto normais quanto de gestações com restrição de crescimento intrauterino (85,109–113), foram examinadas, assim como tecidos do fígado, rins e baço (10). Além disso, fluidos biológicos, como sangue (11,83,114–116), urina (76,91,117–119), sêmen (108,120), líquido amniótico (121), e líquidos de lavagem broncoalveolar e nasal (84,87,92–94,122,123), foram analisados em múltiplos estudos. Outros exemplos incluem amostras de fezes humanas e mecônio (9,86,88–90,111,124–128), abordando desde recém-nascidos até adultos. Também foram exploradas amostras mais específicas, como escarro (81,129), secreções intestinais e nasais (130), e diversos tipos de fluido corporal, como cefalorraquidiano e cístico (115).

Os tipos de tecidos analisados foram agrupados de acordo com contextos de saúde como é apresentado no gráfico 2. O contexto de saúde do sistema respiratório liderou as análises, representando 22,7% do total, evidenciando sua relevância clínica. Em seguida, a saúde materno-infantil destacou-se com 21,2%, refletindo a importância deste tema no cenário investigativo. A saúde do trato gastrointestinal ocupou a terceira posição, abrangendo 15,2% das análises, enquanto os contextos de saúde diversos corresponderam a 15,2%. A saúde do sistema cardiovascular também teve destaque, representando 12,15% das análises. Por outro lado, a saúde sexual e reprodutiva (9,09%) e a saúde do sistema renal (4,55%) apresentaram percentuais menores.

Gráfico 2 – Distribuição temporal dos estudos por contextos de saúde.



Fonte: A autora, 2024.

#### 4.3.1 Saúde materno-infantil

Os estudos apresentados na tabela 1 investigaram a presença de MPs em tecidos humanos e amostras relacionadas ao período perinatal, como placenta e mecônio. A placenta foi o elemento mais prevalente, com 40% de ocorrência, seguida pelo mecônio, que apareceu em 20% das amostras. As fezes maternas foram encontradas em 15% dos casos, enquanto as fezes infantis e o leite materno apresentaram a mesma frequência relativa de 10% cada. O

líquido amniótico foi o elemento menos frequente, com 5% das amostras apresentando sua presença. A presença de MPs foi identificada em diversos tecidos humanos, como placenta, mecônio e fezes, porém em alguns estudos os pesquisadores não formularam ou testaram hipóteses diretamente relacionadas aos impactos à saúde (9,131). Esses estudos focaram, essencialmente, na detecção de MPs em amostras biológicas, o que indicou a presença desses contaminantes, mas não exploraram em profundidade os efeitos biológicos ou fisiológicos das partículas. A principal contribuição desses estudos foi a evidência da ubiquidade de MPs nos tecidos humanos e tiveram seus resultados apresentados na Tabela 2.

Um estudo relatou uma presença significativa de MPs nas placentas de mulheres grávidas, com cerca de 50% das amostras apresentando nove ou mais polímeros diferentes, além de concentrações elevadas de MPs (110). Embora esse estudo não tenha feito conclusões definitivas sobre os impactos à saúde, os autores levantaram a hipótese de que a exposição prolongada a MPs pode afetar o organismo materno e fetal, sugerindo um risco potencial.

Enquanto foi observado um acúmulo crescente de MPs nas placentas ao longo dos anos, sugerindo que a concentração de MPs no corpo humano, especialmente nas mulheres grávidas, aumentou substancialmente. A análise revelou um aumento significativo na presença de MPs nas placentas, de 60% das amostras em 2006 para 100% em 2021 (113). Além disso, em outro estudo foi detectado MPs no leite materno, o que levanta preocupações sobre a possível transferência desses contaminantes para os bebês. Embora não tenham sido identificadas diferenças significativas nos hábitos das mulheres em relação à exposição a MPs, a detecção dessas partículas no leite materno sugere uma possível rota de transferência para os recém-nascidos (132).

Ademais, foram detectados 359 MPs em todas as amostras de fezes, com tamanhos entre 200 e 4900  $\mu\text{m}$ , predominando nas fezes de gestantes do segundo trimestre (10 a 21 partículas). Os polímeros mais encontrados foram Poliamida/Nylon, PET, Polietileno Clorado (CPE), Polietileno de Alta Densidade (PEAD) e Etileno Propileno (EP), sendo a poliamida o mais frequente. O consumo regular de frutos do mar foi relatado por mais de 75% das mulheres, com quase metade consumindo grandes quantidades, principalmente de peixes pequenos (124).

Embora muitos estudos apenas tenham identificado a presença de MPs, alguns investigaram ou sugeriram possíveis impactos à saúde relacionados à exposição a esses contaminantes. Ragusa e colaboradores, por exemplo, relataram a ocorrência de alterações morfológicas no retículo endoplasmático e disfunções na estrutura mitocondrial de placentas, sugerindo estresse celular associado à presença de MPs. Modificações nas microvilosidades e

corpos membranosos espiralados indicam tentativas celulares de processar MPs, levando a acúmulo tóxico (112). MPs induzem danos por estresse oxidativo, resultando em danos celulares generalizados. Além disso, foram associadas à ativação de apoptose e inflamação, fatores cruciais no desenvolvimento de doenças crônicas. Os autores sugerem que a *CDR* (*Cell Danger Response*) é ativada pela incapacidade das células de eliminar MPs, gerando um estado de alarme metabólico persistente, com alterações na bioenergética celular, dinâmica lipídica e homeostase de metais, podendo ter efeitos adversos duradouros. Alterações fenotípicas fetais de longo prazo foram associadas à presença de MPs, potencialmente resultando em doenças metabólicas como obesidade, diabetes e síndrome metabólica. Essas doenças são fundamentadas em mecanismos de estresse oxidativo e disfunção de organelas induzidas pela presença de MPs. Embora o estudo não tenha estabelecido uma relação causal direta, os achados apontam para um mecanismo biológico que justifica a necessidade de mais investigações sobre os impactos dessas partículas na saúde humana.

Por outro lado, MPs e aditivos foram encontrados no líquido amniótico e na placenta humana, sugerindo que essas partículas podem atravessar barreiras biológicas e alcançar ambientes críticos durante a gravidez. A presença de aditivos tóxicos, como estabilizadores de PVC, reforça que os MPs são essencialmente fontes de risco químico, não apenas devido aos compostos que constituem sua matriz polimérica, mas também pelos aditivos incorporados durante sua produção. Esses fatores evidenciam que os MPs representam riscos químicos intrínsecos, além de poderem causar impactos mecânicos. Apesar da ausência de conclusões definitivas sobre os impactos diretos à saúde fetal, os autores ressaltaram a necessidade de mais pesquisas sobre os efeitos a longo prazo dessa exposição, dado o seu potencial para influenciar o desenvolvimento fetal de maneira adversa (121).

Similarmente, outro estudo documentou a detecção de MPs em fezes de bebês, adultos e no mecônio, destacando que os bebês estão particularmente vulneráveis à exposição a MPs devido ao uso intensivo de produtos plásticos, como mamadeiras e brinquedos. A presença de produtos de degradação dos MPs, como ácido Tereftálico (TPA) e Bisfenol A (BPA), nas fezes, sugere possíveis impactos adversos sobre a saúde intestinal e o metabolismo (127). Em outro estudo os MPs identificados tinham tamanhos pequenos (~5 a 10  $\mu\text{m}$ ) e estavam associados a pigmentos químicos como óxido de ferro, ftalocianina de cobre e outros. Essas substâncias são reconhecidas por sua alta reatividade e, em alguns casos, por estarem associadas a efeitos tóxicos. A exposição a esses compostos poderia influenciar processos celulares, causar estresse oxidativo ou alterar funções normais do tecido (85).

Além disso, a detecção de MPs em placentas de gestantes com Crescimento Intra-Uterino Restrito (CIUR) levanta a possibilidade de uma correlação entre maior exposição a MPs e complicações gestacionais. A carga de MPs foi significativamente maior nas placentas com CIUR (302 MPs) em comparação ao grupo normal (6 MPs), com uma diferença estatisticamente significativa ( $p < 0,05$ ). Os MPs presentes nas placentas eram predominantemente pequenos (64% tinham menos de 10  $\mu\text{m}$ ), o que facilita sua absorção e potencial toxicidade. Além disso, a ingestão de água engarrafada e o consumo de alimentos embalados em plástico foram associados a uma carga significativamente maior de MPs nas placentas (109).

O estudo de Liu et al.(111) identificou a presença de MPs na placenta e no mecônio e sugeriu que essas partículas poderiam influenciar o desenvolvimento da microbiota intestinal fetal. Na placenta, a concentração de diferentes tipos de MPs foi positivamente associada a gêneros microbiota como *Porphyromonas*, enquanto foi inversamente correlacionada com outros, como *Prevotellaceae UCG-001*. No mecônio, a presença de MPs, como PA e poliuretano (PU), foi associada a alterações na composição da microbiota intestinal, como uma correlação positiva com *Escherichia-Shigella* e *Bacteroides*. Alterações na microbiota fetal podem afetar o desenvolvimento do sistema imunológico e aumentar a vulnerabilidade a doenças. A presença de certos tipos de MPs, como poliestireno, foi inversamente correlacionada com a diversidade da microbiota intestinal do mecônio, indicando que MPs podem impactar a diversidade microbiana de forma negativa, o que pode afetar a saúde intestinal e o sistema imunológico do feto (111).

Em contraste, o estudo de Li et al.(133) analisou o mecônio de fetos, mas não encontrou MPs maiores que 10  $\mu\text{m}$ . Esse estudo não identificou MPs nas amostras, sugerindo que a exposição fetal a MPs, nas condições investigadas ( $\geq 10 \mu\text{m}$ ), é limitada. No entanto, os autores alertaram que os NPs, por sua menor dimensão, poderiam ter uma maior prevalência e diferentes vias metabólicas. Assim, apesar da ausência de MPs detectáveis, o estudo sugeriu a necessidade de futuras investigações focadas na exposição fetal a NPs, que podem ter impactos distintos dos MPs, dada sua diminuição no tamanho e potencial permeabilidade (133).

Além disso, alguns estudos levantaram preocupações sobre a possível contaminação ambiental e de laboratório, especialmente em ambientes hospitalares e durante procedimentos médicos. A exposição a MPs pode resultar não apenas de fontes humanas, mas também de contaminação externa, como o ar de salas de cirurgia e equipamentos hospitalares, uma vez que, a investigação detectou precipitação aérea de MPs na sala de cirurgia, indicando que PU

estava presente no ar, o que sugere uma possível via de exposição inalatória durante procedimentos médicos (9). Outros estudos, também destacaram a importância de considerar fontes externas de contaminação, como utensílios médicos e o ambiente hospitalar, que poderiam interferir nas conclusões sobre os impactos dos MPs (110,113).

Tabela 1 – Caracterização de estudos sobre exposição a microplásticos e saúde materno-infantil (continua).

<b>Autores</b>	<b>País</b>	<b>nº. participantes</b>	<b>nº. amostras</b>	<b>Características dos participantes</b>
Ragusa et al. (2022)	Itália	10	30 amostras de placenta (três seções por placenta, 10 de vilos coriais da placenta, 10 de compartimentos intracelulares e 10 extracelulares.)	Mulheres com gravidez de baixo risco, com idades entre 25 e 42 anos, com partos cesárea ou vaginal sem complicações
Braun et al. (2021)	Alemanha	2	6 (Placenta: 2 amostras, porções periféricas e centrais; Mecônio: 2 amostras; Fezes maternas: 2 amostras)	Mulheres com gravidez única e fetos em posição pélvica, submetidas a cesárea a termo, sem complicações adicionais relatadas
Liu et al. (2023)	China	36	54 (18 placentas, 12 mecônios, 12 amostras de fezes infantis, 7 amostras de leite materno e 5 amostras de fórmula infantil)	Pares mãe-bebê, com mães saudáveis, idade média de 32,5 anos, com gravidez a termo e partos vaginais normais
Zhu et al. (2023)	China	17	17 amostras de placentas humanas	Mulheres saudáveis, com idades entre 23 e 36 anos e partos normais
Li et al. (2023)	China	37	16 amostras de mecônio foram analisadas devido ao peso limitado de algumas amostras.	Recém-nascidos
Halfar et al. (2023)	República Tcheca	10	20 (Líquido amniótico (10) e placenta (10))	Mulheres grávidas com gravidez única e complicação de ruptura prematura pré-trabalho de membranas (PPROM), ocorrendo entre 24 e 36 semanas de gestação

Tabela 1 – Caracterização de estudos sobre exposição a microplásticos e saúde materno-infantil (continuação).

Zhang et al. (2021)	Estados Unidos	19	19 amostras de fezes (3 de mecônio, 6 de crianças e 10 de adultos).	Recém-nascidos, crianças de 1 ano e adultos voluntários com idades entre 30 e 55 anos
Amereh et al. (2022)	Irã	43	43 (30 placentas de gestações normais, 13 placentas de gestações com CIUR)	Mulheres grávidas saudáveis, com idade média de 27,3 anos, com partos a termo e gravidez única; recém-nascidos, 76,47% do sexo masculino, gestações normais e com restrição de crescimento intrauterino.
Ragusa et al. (2021)	Itália	6	18 (3 por placenta: lado materno, lado fetal e membranas corioamnióticas).	Mulheres saudáveis com gestações fisiológicas e partos vaginais a termo
Hasanah et al. (2024)	Indonésia	30	30 amostras de fezes maternas	Mulheres saudáveis, grávidas, com idade média de 28,1 anos (variando entre 20 e 42 anos), provenientes de dois centros de saúde comunitários. A maioria das participantes estava no segundo trimestre gestacional (56,7%), era multípara (77%), não trabalhava (90%) e possuía renda abaixo do salário mínimo regional (87%). Mais de 75% relataram consumo frequente de frutos do mar.
Garcia et al. (2024)	Estados Unidos	62	62 amostras de placenta	Sem informações específicas reportadas

Tabela 1 – Caracterização de estudos sobre exposição a microplásticos e saúde materno-infantil (conclusão).

Weingrill et al. (2023)	Estados Unidos (Havaí)	30	30 amostras de placentas (cotilédones placentários)	Mulheres sem complicações gestacionais ou condições médicas identificadas
Liu et al. (2023)	China	36	18 placentas e 12 amostras de mecônio	Mulheres saudáveis, com idade mediana de 32,5 anos e IMC mediano de 21,5 kg/m <sup>2</sup> , todas com partos vaginais a termo e sem histórico de doenças graves
Ragusa et al. (2022)	Itália	34	34 amostras de leite materno	Mulheres lactantes com gravidez sem complicações

Fonte: A autora, 2024

Tabela 2 – Presença de microplásticos e saúde materno-infantil (continua).

Autor	Técnicas de análise	Tipos de MPs	Frequência de Detecção	Quantidade de Microplásticos Encontrados
Ragusa et al. (2022)	VP-SEM-dEDS e TEM	-	10/10 (100%)	Presença (++) : 60% dos pacientes Presença marcante (+++) : 20% dos pacientes Presença escassa (+) : 20% dos pacientes
Braun et al. (2021)	μFTIR	Placenta: PE, PP, PU. Mecônio: PE. Sangue: PVC, PET, PA, PU, PC, PMMA, POM	Placenta periférica: 1/2 (50%). Placenta central: 1/2 (50%). Mecônio: 2/2 (100%).	Quantidade não especificada

Tabela 2 – Presença de microplásticos e saúde materno-infantil (continuação).

Liu et al. (2023)	LDIR	PA, PU, PE, PET, PP, PVC, PS.	Placenta: 18/18 (100%). Mecônio: 12/12 (100%). Fezes de lactentes: 12/12 (100%). Leite materno: 7/7 (100%). Fórmula infantil: 5/5 (100%).	Placenta: 18 partículas/g; mecônio: 54,1 partículas/g; fezes infantis: 26,6 partículas/g; leite materno: 20,2 partículas/g; fórmula: 17,3 partículas/g
Zhu et al. (2023)	LDIR	PVC, PP, PBS, PET, PC, PS, PA, PES, PE, PAM, PSF.	17/17 (100%)	Média de 2,70 ± 2,65 partículas/g de tecido (variação de 0,28 a 9,55 partículas/g)
Li et al. (2023)	μ-FTIR	Não aplicável (nenhum detectado).	0/16 (0%)	Não foram encontrados microplásticos nas amostras
Halfar et al. (2023)	μ-FTIR-ATR	Placenta: PE, CPE, PEAD, PES, PVC; Líquido amniótico: PE, CPE, PPO, PET, PES, Poli (neopentano tereftalato)	Placenta: 8/10 (80%). Líquido Amniótico: 6/10 (60%)	44 partículas (placenta: 28; líquido amniótico: 16)
Zhang et al. (2021)	LC-MS/MS	PET, PC	Crianças: 6/6 (100%). Adultos: 8/10 (80%). Mecônio: 2/3 (67%)	Crianças (fezes): PET: mediana 36,000 ng/g. PC: mediana 78 ng/g; Meconium: PET: até 12,000 ng/g, PC: até 110 ng/g; Adultos (fezes): PET: mediana 2600 ng/g; PC: mediana 110 ng/g.

Tabela 2 – Presença de microplásticos e saúde materno-infantil (conclusão).

Amerah et al. (2022)	μRaman	PE, PS, PET, PP	IUGR: 13/13 (100%) Gestações normais: 3/30 (10%)	Placentas normais: 6 MPs no total; IUGR: 302 MPs no total.
Ragusa et al. (2021)	μRaman	PP	4/6 (67%)	12 fragmentos (5 no lado fetal, 4 no lado materno e 3 nas membranas corioamnióticas).
Hasanah et al. (2024)	μFTIR	PA, PET, CPE, PEAD, EPR	30/30 (100%)	Média de 11,9 partículas/25 g de fezes (variação de 4 a 21 partículas)
Garcia et al. (2024)	Py-GC-MS e FTIR-ATR	PE, PVC, N66, SBR, ABS, PET, N6, PMMA, PU, PC, PP, PS	62/62 (100%)	Média de 126,8 ± 147,5 μg/g (variação de 6,5 a 685 μg/g).
Weingrill et al. (2023)	μRaman	PP, PES, PVC, PU, PVA, PET, PE, PA, ABS, PC, álcool polivinílico, PAN, adipato de polietileno, polimetilmetacrilato e poliisopreno	2006: 6/10 (60%) 2013: 9/10 (90%) 2021: 10/10 (100%)	Média de 4,1 MPs/50 g (2006), 7,1 MPs (2013) e 15,5 MPs (2021).
Liu et al. (2023)	LDIR	PA, PU, PE, PET, PP, PVC, POM, EVA, PTFE, CPE, PC, PS, PMMA, PLA, Polissulfona e Polibutadieno	Placenta: 18/18 (100%). Mecônio: 12/12 (100%).	Placenta: mediana de 18 partículas/g; mecônio: mediana de 51,4 partículas/g
Ragusa et al. (2022)	μRaman	PE, PVC, PP, CPE, PVA, PEVA, PEMA, PES, ABS, PA, PC, PS, NC	26/34 (76%)	Média de 0,33 MPs/g de leite; 58 MPs identificados no total

Legenda: PE – Polietileno, PP – Polipropileno, PU – Poliuretano, PVC – Policloreto de Vinila, PET – Polietileno Tereftalato, PA – Poliamida, PC – Policarbonato, PMMA – Polimetilmetacrilato, POM – Poliacetal (ou Polioximetileno), PS – Poliestireno, PBS – Polibutileno Succinado, PES – Poliéster, PAM – Poliacrilamida, PSF – Polissulfona, CPE – Polietileno Clorado, PEAD – Polietileno de Alta Densidade, PPO – Polióxido de Fenileno, EPR – Borracha de Etileno-Propileno, N66 – Poliamida 66, SBR – Borracha de Estireno-Butadieno, ABS – Acrilonitrila Butadieno Estireno, N6 – Poliamida 6, PAN – Poliacrilonitrila, EVA – Etileno Vinil Acetato, PTFE – Politetrafluoretileno, PLA – Ácido Polilático, PVA – Álcool Polivinílico, PEVA – Polietileno Vinil Acetato, PEMA – Polimetacrilato de Etilo, NC – Nitrato de Celulose.

Fonte: A autora, 2024.

#### 4.3.2 Saúde sexual e reprodutiva

Os estudos analisados abordaram a presença de MPs em tecidos e fluidos do sistema reprodutivo humano (Tabela 3 e 4). O sêmen foi a amostra mais observada, com 2 ocorrências, representando 28,57% do total. As demais categorias, incluindo endométrio, urina, tecido peniano, testículo e fluido folicular ovariano, tiveram 1 ocorrência cada, correspondendo a 14,29% do total cada uma.

Um estudo demonstrou que partículas de MPs estão presentes em amostras de tecido endometrial (102). Além disso, o estudo correlacionou fatores como o consumo de bebidas carbonatadas, chá com leite e o hábito de mascar chicletes à maior presença de MPs no endométrio. O consumo frequente de chá com leite, bebidas carbonatadas e chicletes foi associado a uma maior abundância de MPs nas pessoas. A abundância total de MPs foi significativamente maior entre os que consumiam chá com leite (56,2 partículas/100 mg) em comparação com os que não consumiam (13,8 partículas/100 mg,  $P = 0,017$ ). Tendências semelhantes foram observadas para bebidas carbonatadas ( $P = 0,039$ ) e chicletes ( $P = 0,023$ ). O consumo de bebidas carbonatadas também foi correlacionado com um aumento significativo de ácido acrílico etilado (EAA) ( $P = 0,005$ ) e resina epóxi fenólica (PER) no endométrio ( $P = 0,017$ ). O consumo frequente de chá foi associado a maior abundância de PER ( $P = 0,017$ ) e PU no endométrio ( $P = 0,030$ ). Embora não estatisticamente significativa, a ingestão de álcool também foi associada a uma maior abundância total de MPs no endométrio (66,4 partículas/100 mg versus 18,9 partículas/100 mg,  $P = 0,078$ ), os dados sugerem que a exposição a MPs pode ser modulada por hábitos alimentares e de consumo.

Enquanto em um estudo realizado com amostras de tecido peniano de pacientes submetidos a cirurgia para inserção de prótese peniana, foi observada a presença de MPs em 80% das amostras com partículas na faixa de 20–500  $\mu\text{m}$ . Os polímeros PET (47,8%) e PP (34,7%) foram os mais comumente encontrados. A amostra de controle apresentou polimetilmetacrilato como único MP. O estudo destacou a presença significativa de MPs no tecido peniano, sugerindo que essa contaminação pode ter implicações para a saúde sexual masculina (107). Além disso, a abundância média no sêmen foi de  $0,23 \pm 0,45$  partículas/mL, e  $11,60 \pm 15,52$  partículas/g nos testículos (108). PVC e PE, com tamanho de 20–100  $\mu\text{m}$ , e várias formas foram as características predominantes no sêmen, enquanto PS, com tamanho de 20–100  $\mu\text{m}$ , e fragmentos dominaram nos testículos. Para investigar os fatores razoáveis que

influenciam a abundância de MPs, quatro fatores foram testados para sua correlação com a abundância de MPs no sêmen utilizando análise de correlação de Spearman, incluindo idade, IMC, frequência de consumo de água engarrafada e frequência de consumo de comida pronta. Os resultados mostraram que não havia fatores significativamente correlacionados com a abundância de MPs no sêmen (para todos,  $p > 0,05$ ).

Em outro estudo foi proposto um mecanismo pelo qual os MPs podem se translocar para o aparelho reprodutor masculino (120). A composição química dos MPs revelou materiais poliméricos comuns no cotidiano, como polyolefins, poliésteres e resinas acrílicas, sugerindo ingestão e/ou inalação como rotas de exposição. Devido ao seu tamanho pequeno (2 a 6  $\mu\text{m}$ ), o estudo sugere que os MPs podem alcançar o sêmen através do epidídimo e das vesículas seminais, que são particularmente vulneráveis à inflamação. A presença de MPs pode ocorrer por endocitose e macropinocitose nas células de revestimento dessas estruturas. Além disso, a pesquisa discute a barreira hemato-testicular, que protege o testículo contra a entrada de células sanguíneas e imunológicas, essencial para a espermatogênese. Embora alterações nesta barreira possam possibilitar a passagem de MPs, o processo inflamatório é considerado mais relevante, já que a hiperpermeabilidade endotelial é característica da resposta inflamatória.

Por outro lado, microplásticos (dimensões  $<10 \mu\text{m}$ ) foram detectados no fluido folicular. Nenhuma correlação foi encontrada entre a concentração de MPs, fertilização, abortos espontâneos e nascimento vivo. Em vez disso, foi encontrada uma correlação moderada entre MPs  $<10 \mu\text{m}$  e hormônio folículo estimulante (FSH) ( $r = 0,52$ ) com um valor de  $p < 0,05$ . O estudo identificou preocupações quanto aos efeitos a longo prazo da exposição crônica a MPs, que poderiam levar a desregulações hormonais (77).

Em outro estudo, foram analisadas 355 partículas de MPs em amostras de urina de 10 mL de indivíduos saudáveis e participantes com endometriose. As partículas foram compostas por 22 tipos de polímeros, sendo que 18 tipos estavam presentes nas amostras dos doadores saudáveis e 16 nas das participantes com endometriose. A média de MPs nas amostras de urina dos doadores saudáveis foi de 2589 MPs/L, enquanto nas participantes com endometriose foi de 4724 MPs/L. No entanto, não houve diferença significativa entre os dois grupos ( $p=0,38$ ). Os tipos de polímeros mais comuns nos doadores saudáveis foram PE (27%), PS (16%) e resinas (12%), enquanto nas participantes com endometriose predominou o Politetrafluoroetileno (PTFE) (59%) e o PE (16%). As partículas nos doadores saudáveis tinham um comprimento médio de 61,92  $\mu\text{m}$  e uma largura de 34,85  $\mu\text{m}$ , enquanto nas participantes com endometriose, as partículas eram significativamente maiores (comprimento

médio de 119,01  $\mu\text{m}$  e largura de 79,09  $\mu\text{m}$ ). Apesar da similaridade nos tipos e níveis de MPs entre os dois grupos, as diferenças nos tamanhos das partículas podem indicar um potencial impacto inflamatório nas participantes com endometriose. O estudo sugere que a presença de MPs em urina pode estar relacionada a condições de saúde, como a endometriose, e pode representar uma fonte de inflamação, necessitando de mais pesquisas sobre os efeitos tóxicos dessas partículas (119).

Tabela 3 – Caracterização de estudos sobre exposição a microplásticos e saúde sexual e reprodutiva.

<b>Autor</b>	<b>País</b>	<b>nº. participantes</b>	<b>nº. amostras</b>	<b>Características dos participantes</b>
Sun et al. (2024)	China	20	20 amostras de tecido funcional do endométrio	Mulheres sem histórico de partos, sem lesões endometriais benignas ou malignas e sem cirurgias uterinas recentes, com idade mediana de 33 anos e IMC mediano de 21,3 kg/m <sup>2</sup>
Rotchell et al. (2024)	Reino Unido	38	38 amostras de urina	Mulheres adultas saudáveis com idade média de 42 anos e participantes com endometriose e idade com média de 36 anos.
Codrington et al. (2024)	EUA	6	6 amostras de tecido peniano (corpo cavernoso)	Homens adultos com disfunção erétil, candidatos a implante peniano inflável, com idade média de 66,6 anos e sem histórico de cirurgia peniana prévia
Zhao et al. (2023)	China	36	Sêmen: 30 amostras. Testículos: 6 amostras	Homens adultos doadores de sêmen saudáveis, com idades entre 21 e 30 anos, sem histórico de doenças infecciosas, hereditárias ou hábitos prejudiciais; e pacientes diagnosticados com azoospermia não obstrutiva
Montano et al. (2023)	Itália	10	10 amostras de sêmen	Homens jovens saudáveis com idades entre 18 e 35 anos
Montano et al. (2024)	Itália	18	18 amostras de fluido folicular ovariano	Mulheres com idade média de 35,9 ± 5,8 anos, das quais 77,8% eram nulíparas

Fonte: A autora, 2024.

Tabela 4 – Presença de microplásticos e saúde sexual e reprodutiva.

Autor	Técnicas de análise	Tipos de MPs	Frequência de Detecção	Quantidade de Microplásticos Encontrados
Sun et al. (2024)	LDIR	EAA, FR, CPE, PE, ACR, PET, PP, PS, PU, PVC, BR, EVA, PER.	19/20 (95%)	Mediana de 21 partículas/100 mg (IQR: 9–38); máximo de 117 partículas/100 mg
Rotchell et al. (2024)	μFTIR e SEM-EDX	PS, PP/PE, EVA, PP, PUR, PB, PO, PVC, PBA, PES, AC, PET, PE, EVOH/EVA, PA	Saudáveis: 17/19 (89%). Endometriose: 12/19 (63%).	Indivíduos saudáveis: média de 2589 MPs/L; Endometriose: média de 4724 MPs/L
Codrington et al. (2024)	LDIR e SEM	PET, PP, PS, PA, PVC, APV, PMMA	4/5 (80%)	Quantidade não especificada
Zhao et al. (2023)	LDIR e Py-GC/MS	Sêmen: PVC, PE, PA, PS, PP, PET. Testículos: PS, PVC, PE, PP.	Sêmen: 11/25 (44%) Testículos: 4/6 (67%)	Testículos: média de 11,60 ± 15,52 partículas/g; Sêmen: média de 0,23 ± 0,45 partículas/mL
Montano et al. (2023)	μRaman	PP, PS, PE, PET, PVC, PC, POM, Acrílico.	6/10 (60%)	16 MPs identificados
Montano et al. (2024)	SEM-EDX	-	14/18 (78%)	Média de 2191 partículas/mL; variação de 0 a 7181 partículas/mL; diâmetro médio de 4,48 μm (variação: 3,18 a 5,54 μm).

Legenda: EAA – Ácido Acrílico Etileno, FR – Retardante de Chama, CPE – Polietileno Clorado, PE – Polietileno, ACR – Acrílico, PET – Polietileno Tereftalato, PP – Polipropileno, PS – Poliestireno, PU – Poliuretano, PVC – Policloreto de Vinila, BR – Borracha de Butadieno, EVA – Etileno Vinil Acetato, PER – Peróxido, PUR – Poliuretano (forma alternativa de PU), PB – Polibutileno, PO – Poliolefinas, PBA – Poliacrilato de Butila, PES – Poliéster, AC – Acetato de Celulose, EVOH/EVA – Copolímero de Etileno e Álcool Vinílico / Etileno Vinil Acetato, PA – Poliamida, APV – Álcool Polivinílico (PVA), PMMA – Polimetilmetacrilato, PC – Policarbonato, POM – Poliacetal (ou Polioximetileno). Fonte: A autora, 2024

#### 4.3.3 Saúde do sistema cardiovascular

A tabela 5 apresenta os estudos que examinaram a presença de MPs em tecidos e amostras do sistema cardiovascular humano, incluindo artérias coronárias, carótidas e sangue. A frequência de detecção dos MPs nas amostras cardiovasculares foi alta, dependendo da amostra e do método de análise utilizado (Tabela 6). O sangue foi a amostra mais observada, com 4 ocorrências, representando 28,57% do total. As demais amostras, incluindo tecido vascular da veia safena, artéria coronária, artéria carótida, aorta, trombos arteriais, pericárdios, tecido adiposo epicárdico, tecido adiposo pericárdico, miocárdio, apêndices atriais e placas de carótida, tiveram 1 ocorrência cada, correspondendo a 7,14% do total cada uma.

O estudo de Brits et al.(114), se concentrou na quantificação de seis tipos de polímeros plásticos PP, PS, PVC, Polimetilmetacrilato (PMMA), PET e PE em amostras de sangue humano, usando um método de análise rigoroso e validado. A pesquisa revelou que 64 das 68 amostras de sangue analisadas continham MPs, com uma predominância do PE, seguido de PVC, PET e PMMA. Em outro estudo, a presença de MPs em tecidos de veia safena humana foi analisada, identificando 20 partículas de MPs em 4 de 5 amostras de tecido, correspondendo a uma média de  $16,00 \pm 13,56$  MPs por amostra, sem diferença estatística significativa em relação às amostras de controle ( $10,40 \pm 9,21$  MPs/amostra,  $p = 0,293$ ). Após ajustes para contaminação de fundo, foi estimada uma concentração média de  $14,99 \pm 17,18$  MP/g de tecido. O comprimento médio das partículas foi de  $119,59 \pm 226,82$   $\mu\text{m}$ , e a largura média, de  $41,27 \pm 62,80$   $\mu\text{m}$  (105).

Outro estudo analisou a presença de partículas plásticas no sangue humano, detectando concentrações quantificáveis. O PET foi o polímero mais prevalente, encontrado em 50% dos doadores, seguido por PS (36%) e PE (23%). As concentrações médias somadas de partículas plásticas foram de  $1,6 \pm 2,3$   $\mu\text{g/ml}$  por doador, com valores máximos de 7,1  $\mu\text{g/ml}$  para PE, 4,8  $\mu\text{g/ml}$  para PS e 2,4  $\mu\text{g/ml}$  para PET (11). Similarmente outro estudo analisou 20 amostras de sangue humano e detectou MPs em 90% delas, com 40% excedendo o limite de quantificação. A concentração média foi de  $2465,85 \pm 4173,51$  MP/L, sendo o PE, borracha de etileno-propileno-dieno (EPDM) e EVA/EVOH os polímeros mais prevalentes, representando mais de 50% das partículas. As partículas tinham tamanho médio de  $127,99$   $\mu\text{m}$  por  $57,88$   $\mu\text{m}$ . Foram identificados aditivos químicos, como ftalatos e 1-decanol (presente em 60% das amostras), que possuem potenciais efeitos adversos, incluindo disfunção endócrina (116).

O estudo de Yang et al.(134), investigou a presença de MPs no coração humano e tecidos circundantes de pacientes submetidos a cirurgias cardíacas, além de analisar amostras de sangue antes e após a cirurgia. Foram coletadas amostras de tecidos como pericárdio, tecido adiposo epicárdico, tecido adiposo pericárdico, miocárdio e apêndice atrial esquerdo de 15 pacientes, com MPs detectados em todos os tipos de amostras. O diâmetro dos MPs variou de 20 a 469  $\mu\text{m}$ , sendo que os tipos mais prevalentes foram PET (77%) e PU (12%), representando cerca de 90% da quantidade total. Além disso, o estudo identificou MPs em órgãos mais profundos, como o miocárdio e o apêndice atrial esquerdo. No sangue venoso, amostras coletadas de sete pacientes mostraram MPs com diâmetros variando de 20 a 184  $\mu\text{m}$ , sendo PA (49%) e PET (22%) os mais prevalentes. A análise revelou uma mudança no tipo e diâmetro dos MPs entre as amostras pré e pós-cirurgia. Antes da cirurgia, PET predominava nas amostras de sangue (67%), enquanto após a cirurgia, PA foi o tipo mais frequente (57%). Enquanto o diâmetro dos MPs no sangue diminuiu após a cirurgia, com uma maior prevalência de partículas de 20 a 30  $\mu\text{m}$ .

No estudo de Liu et al.(103), os MPs foram detectados em três tipos de artérias humanas, coronária, carótida e aórtica, com concentrações variando de 52,62 a 225,23  $\mu\text{g/g}$  de tecido e uma média de  $118,66 \pm 53,87 \mu\text{g/g}$ . As concentrações nas artérias coronária ( $156,50 \pm 42,14 \mu\text{g/g}$ ) e carótida ( $133,37 \pm 60,52 \mu\text{g/g}$ ) foram significativamente maiores do que na aorta ( $76,26 \pm 14,86 \mu\text{g/g}$ ), possivelmente devido à espessura das paredes arteriais, fluxo sanguíneo, ou presença de placas ateroscleróticas. Esse estudo sugeriu que a presença de MPs nas artérias pode estar associada a condições patológicas, como a aterosclerose. As amostras da artéria coronária eram de pacientes com doença arterial coronariana aterosclerótica, e as amostras da artéria carótida eram de pacientes com aterosclerose carotídea, sendo a base patológica das lesões arteriais a aterosclerose. Tanto as amostras da artéria coronária quanto as da artéria carótida apresentavam várias placas ateroscleróticas, enquanto as amostras da aorta eram de pacientes com dissecção aórtica e não continham placas ateroscleróticas.

Outro estudo desenvolveu um método rigoroso de detecção de micropartículas utilizando Espectrômetro Raman, validando pela primeira vez a presença de partículas exógenas, como pigmentos e MPs, em trombos. Dos 26 trombos analisados, 16 continham 87 partículas, sendo a maioria de pigmentos de ferro e apenas uma de MPs de polietileno de baixa densidade (PEBD). As partículas variaram de 2,1 a 26,0  $\mu\text{m}$ , com predominância de formas irregulares e bordas retangulares. A análise não identificou correlação significativa entre os tipos de partículas e fatores demográficos, ocupacionais ou de estilo de vida dos pacientes.

Contudo, foi observada associação positiva entre a presença e o número de partículas com níveis elevados de plaquetas no sangue, sugerindo possível influência das MPs na trombose (135).

Por fim, o estudo de Marfella et al.(104) envolveu 312 pacientes submetidos à procedimento cirúrgico que remove a placa da artéria (endarterectomia carotídea), dos quais 257 completaram um acompanhamento médio de 33,7 meses. Desses, 58,4% apresentaram polietileno na placa carotídea excisada e 12,1% também apresentaram PVC. O nível médio de polietileno foi de 21,7 µg/mg e de PVC foi 5,2 µg/mg. Pacientes com micro e nano plásticos (MNPs) eram mais jovens e tinham níveis mais altos de creatinina. A presença de MNPs na placa carotídea foi associada a vias pró-inflamatórias, com aumento nos marcadores inflamatórios e na infiltração de linfócitos e macrófagos. Além disso, os pacientes com MNPs apresentaram risco mais alto de eventos cardiovasculares, como infarto do miocárdio não fatal, AVC não fatal ou morte. A razão de risco foi de 4,53 para os pacientes com MNPs, indicando um risco maior de eventos adversos em comparação com os pacientes sem MNPs.

Tabela 5 – Caracterização de estudos sobre exposição a microplásticos e saúde do sistema cardiovascular.

<b>Autor</b>	<b>País</b>	<b>nº. participantes</b>	<b>nº. amostras</b>	<b>Características dos participantes</b>
Rotchell et al. (2023)	Reino Unido	5	5 amostras de tecido vascular da veia safena.	Pacientes brancos, com idade média de 71,8 anos (68–75 anos), sendo 3 homens e 2 mulheres, submetidos a cirurgia de revascularização do miocárdio
Leslie et al. (2022)	Países Baixos	22	22 amostras de sangue humano	Adultos saudáveis, sem informações específicas reportadas sobre idade ou sexo.
Leonard et al. (2024)	Reino Unido	20	20 amostras de sangue humano	Adultos saudáveis sem uso de medicamentos
Liu et al. (2024)	China	17	17 amostras (4 amostras de artéria coronária, 7 amostras de artéria carótida, 6 amostras de aorta.)	Pacientes com idades entre 49 e 76 anos, diagnosticados com doenças cardiovasculares
Wu et al. (2023)	China	26	26 amostras de trombos arteriais	Pacientes submetidos a cirurgias cardiovasculares de emergência com idade média de 56,5 anos, 73,08% era do sexo masculino com histórico prevalente de hipertensão
Brits et al. (2024)	Países Baixos	68	68 amostras de sangue total	Adultos saudáveis, com amostras coletadas de forma anônima
Yang et al. (2023)	China	15	45 amostras (6 pericárdios, 6 de tecido adiposo epicárdico, 11 de tecido adiposo pericárdico, 3 miocárdios, 5 apêndices atriais esquerdos, 7 amostras de sangue pré e pós-operatório)	Participantes com idade média de 59 anos, sendo 10 homens e 5 mulheres. Nenhum dos participantes possuía histórico de trauma ou cirurgia torácica prévia
Marfella et al. (2024)	Itália	257	257 amostras de placas de carótida	Pacientes com estenose de carótida assintomática de alto grau (>70%), com idades entre 18 e 75 anos e média de 71 anos

Fonte: A autora, 2024.

Tabela 6 – Presença de microplásticos e saúde do sistema cardiovascular (continua).

Autor	Técnicas de Análise	Tipos de Microplásticos	Frequência de Detecção	Quantidade Detectada
Rotchell et al. (2023)	μFTIR	PVAc, Nylon-EVA, PVAE, PUR e resina alquídica	4/5 (80%)	Média de 29,28 ± 34,88 MPs/g de tecido (ajustada para 14,99 ± 17,18 MPs/g após correção para contaminação).
Leslie et al. (2022)	Py-GC/MS e FTIR-ATR	PET, PS, PE e PMMA	17/22 (77%)	Concentração média de 1,6 μg/ml de partículas plásticas no sangue.
Leonard et al. (2024)	μFTIR	PS, PO, POM, EPM, PUR, EVA, EVA/EVOH, PE, PET, PA, EPDM, PVC, AC, PPA, PHD, PP+E, EBC, VCS, PP, EAA	18/20 (90%). LOQ: 8/20 (40%)	Concentração média de 2465,85 ± 4173,51 MP/L (variação de 1,84 μg/mL a 4,65 μg/mL para diferentes polímeros).
Liu et al. (2024)	Py-GC/MS	PET, PA-66, PVC, PE	Artérias coronárias: 4/4 (100%). Artérias carótidas: 7/7 (100%). Aorta: 6/6 (100%)	Média de 118,66 ± 53,87 μg/g de tecido
Wu et al. (2023)	Raman	PEBD	1/26 (4%)	87 partículas
Brits et al. (2024)	Py-GC-MS	PE, PET, PVC, PMMA, PS e PP	64/68 (94%)	Média de 1070 ng/mL; variação de 170 a 2490 ng/mL

Tabela 6 – Presença de microplásticos e saúde do sistema cardiovascular (conclusão).

Yang et al. (2023)	LDIR e SEM	PP, PET, PS, PE, PA, PC, PVC, PU, PMMA	Pericárdio: 4/6 (67%). Tecido adiposo epicárdico: 4/6 (67%). Tecido adiposo pericárdico: 6/11 (55%). Miocárdio: 2/3 (67%). Apêndice atrial esquerdo: 4/5 (80%). Sangue pré-operatório: 7/7 (100%). Sangue pós-operatório: 7/7 (100%).	Tecidos: média de 36 partículas por amostra (20 a 469 µm); Sangue: média de 12 partículas/mL (20 a 184 µm)
Marfella et al. (2024)	Py-GC-MS, TEM e SEM	PE, PVC	150/257 (58%)	Média de 21,7 µg de polietileno/mg e 5,2 µg de PVC/mg

Legenda: PVAc – Poliacetato de Vinila, Nylon-EVA – Copolímero de Poliamida e Etileno Vinil Acetato, PVAE – Álcool Polivinílico Etileno, PUR – Poliuretano, PET – Polietileno Tereftalato, PS – Poliestireno, PE – Polietileno, PMMA – Polimetilmetacrilato, PO – Poliolefinas, POM – Poliacetal (ou Polioximetileno), EPM – Borracha de Etileno-Propileno, EVA – Etileno Vinil Acetato, EVA/EVOH – Copolímero de Etileno Vinil Acetato e Álcool Vinílico, PA – Poliamida, EPDM – Borracha de Etileno-Propileno-Dieno, PVC – Policloreto de Vinila, AC – Acetato de Celulose, PPA – Poliftalamida, PHD – Polietileno de Alta Densidade Modificado, PP+E – Polipropileno com Elastômero, EBC – Copolímero de Etileno e Buteno, VCS – Cloreto de Vinila e Sulfato, PU – Poliuretano, PA-66 – Poliamida 66, PEBD – Polietileno de Baixa Densidade, PC – Policarbonato. Fonte: A autora, 2024.

#### 4.3.4 Saúde gastrointestinal

Os estudos apresentados na tabela 7 avaliaram a presença de MPs no sistema gastrointestinal humano, utilizando amostras de fezes, tecidos colorretais e conteúdo intestinal. A frequência de detecção foi elevada em quase todos os estudos (Tabela 8). Em alguns casos, os estudos também integraram análises de microbiota intestinal, permitindo explorar potenciais interações entre MPs e a saúde intestinal, como observado em pacientes com doenças inflamatórias intestinais (90). As fezes foram a amostra mais observada, com 7 ocorrências, representando 77,78% do total. Enquanto tecido de cólon, foi observado em 2 estudos (22,22%). Alguns estudos limitam-se a detectar a presença de MPs em amostras biológicas, sem explorar diretamente os impactos à saúde, mas levantam preocupações sobre os efeitos potencialmente adversos devido à sua ubiquidade e concentração. Um estudo investigou amostras fecais de oito participantes, todos contendo MPs, variando de 50 a 500  $\mu\text{m}$ . Não foram detectadas partículas maiores que 500  $\mu\text{m}$  e partículas menores que 50  $\mu\text{m}$  não foram avaliadas devido a limitações metodológicas. O estudo revelou que a concentração de MPs nas amostras foi de 20 partículas por 10 g de fezes, com predominância de fragmentos e filmes. Sendo que a amostra de controle de qualidade não continha nenhum dos dez plásticos investigados (86). Outro estudo, encontrou um total de 129 partículas de MPs, com tamanhos variando de 40,2 a 4812,9  $\mu\text{m}$ . Após a correção com base nas amostras de controle procedimental, foram detectadas entre 20,4 e 138,9 partículas por grama de fezes em todas as amostras analisadas (125).

No estudo de Zhang et al.(128), MPs foram detectados em 23 dos 24 participantes. Nenhuma partícula foi encontrada na amostra de controle. A análise qualitativa identificou de 1 a 8 tipos de plásticos em cada amostra, sendo o polipropileno o mais prevalente, com 61,0% da massa total. Nesse estudo, foi observada uma correlação moderada entre o consumo de água e bebidas embaladas e a abundância de MPs nas fezes ( $r = 0,445$ ,  $P = 0,029$ ), mas não houve correlação com outras variáveis (128).

Um estudo detectou MPss nas fezes de 7 dos 11 participantes, com concentrações variando entre 6,94  $\mu\text{g/g}$  e 16,55  $\mu\text{g/g}$ . A composição dos MPs era variada, com predominância de polipropileno e outros tipos como PEAD, PS e PET. A pesquisa identificou que a população rural, que consome menos alimentos processados e embalados, apresenta menor prevalência de MPs nas fezes em comparação com populações urbanas (126). Similarmente, a presença de MPs foi identificada nas fezes de 6 dos 11 participantes de uma comunidade costeira da Indonésia, com uma concentração de 3,33 a 13,99  $\mu\text{g/g}$ . Os MPs encontrados incluem PEAD,

PEBD, Polietileno linear de baixa densidade (PEBDL), PP, PS e PET, com o PEAD sendo o mais prevalente. O estudo sugere que a ingestão de MPs ocorre por diferentes vias, incluindo alimentos e água potável, com um destaque para o PEAD presente nas pastas de dente em (89). Outro estudo também sugere que o consumo de água potável e pasta de dente pode ser uma fonte importante de MPs, com possível contaminação adicional oriunda de garrafas plásticas e outros itens de consumo. Neste estudo, as amostras de fezes humanas de dez participantes mostraram a presença de MPs em todas as amostras (88).

Enquanto em Ibrahim et al.(100), foram incluídas amostras de 11 participantes (idade média de  $45,7 \pm 17,9$  anos, variando de 34 a 88 anos, sendo seis homens), sendo nove com câncer colorretal e dois com cólon normal. Todas as amostras apresentaram MPs, com uma contagem média de 331 partículas por indivíduo ( $28,1 \pm 15,4$  partículas por g de tecido colônico). As partículas tinham dimensões que variavam de 0,8 a 1,6 mm, com média de  $1,1 \pm 0,3$  mm. Sob análise de Microscopia Eletrônica de Varredura com Espectroscopia de Dispersão de Energia (SEM/EDX), foram observadas altas contagens de carbono nos MPs poliméricos, com polímeros identificados em quase todas as amostras, exceto uma. Dos 40 filamentos selecionados aleatoriamente de 10 amostras (oito com câncer e duas normais), 90% eram PCs, 50% PAs e 40% PPs.

Alguns estudos avançaram para testar hipóteses sobre os efeitos da exposição a MPs e seus impactos na saúde humana, proporcionando insights mais concretos sobre os riscos associados. Um dos estudos analisou a concentração de MPs nas fezes de indivíduos saudáveis e com Doença Inflamatória Intestinal (DII), encontrando concentrações significativamente maiores em pacientes com DII (41,8 partículas/g de massa seca) em comparação aos saudáveis (28,0 partículas/g de massa seca,  $p < 0,01$ ) (90). Nesse estudo, os tamanhos dos MPs variaram de 4,4 a 333,2  $\mu\text{m}$  nos saudáveis e de 1,7 a 393,8  $\mu\text{m}$  nos pacientes com DII. A proporção de MPs menores que 50  $\mu\text{m}$  foi maior nos pacientes com DII ( $54,9 \pm 16,6\%$ ) do que nos saudáveis ( $45,1 \pm 15,8\%$ ,  $p < 0,001$ ). Foram identificados 15 tipos de polímeros, com PET sendo o mais prevalente em ambos os grupos, com maior abundância nos pacientes com DII (34,0% vs. 22,3%,  $p < 0,01$ ). Questionários indicaram uma correlação positiva entre a concentração de MPs nas fezes e os índices de atividade da doença (Harvey-Bradshaw  $r = 0,72$ ,  $p = 0,0007$ ; Mayo  $r = 0,71$ ,  $p = 0,0006$ ). Em relação aos hábitos, o consumo de água engarrafada resultou em concentrações de MPs 2,1 vezes maiores nos saudáveis e 1,7 vezes maiores nos pacientes com DII ( $p < 0,001$  e  $p < 0,05$ , respectivamente), comparado à água fervida. Comer comida de entrega aumentou a concentração de MPs fecais em 1,6 vezes nos saudáveis e 2,0 vezes nos

pacientes com DII ( $p < 0,0001$ ). A exposição frequente à poeira elevou a concentração de MPs em 1,8 vezes nos saudáveis e 1,9 vezes nos pacientes com DII ( $p < 0,01$  e  $p < 0,001$ ).

Outro estudo detectou MPs em tecidos de cólon de pacientes com adenocarcinoma colorretal, comparando amostras tumorais e não tumorais. Os tamanhos das partículas variaram de 1 a 1299  $\mu\text{m}$ , com partículas menores, especialmente NPs, formando agregados. A comparação do número de MPs por 1 g de tecido revelou uma diferença significativa entre os tecidos tumorais e não tumorais dos pacientes com adenocarcinoma colorretal ( $p = 0,001$ ). Também foi observada uma diferença significativa entre os tecidos tumorais dos pacientes e os tecidos de cólon do grupo controle ( $p = 0,002$ ). No entanto, não houve diferença significativa entre os tecidos não tumorais dos pacientes e o grupo controle ( $p = 0,876$ ) (99).

O estudo de Ke et al.(82), investigou a ingestão de MPs e seus possíveis impactos na saúde humana. MPs foram encontrados em 85,5% dos participantes, com concentrações médias de 337,8  $\mu\text{g/g}$  de peso seco. A concentração de PE foi significativamente maior em participantes que consumiram mais de 300 g de produtos lácteos ( $p = 0,047$ ). O tipo de mamadeira também influenciou as concentrações de MPs, com níveis mais elevados nas fezes de participantes que usaram mamadeiras de silicone em comparação às de vidro ( $p = 0,037$ ) ou Polifenilsulfona (PPSU) ( $p = 0,025$ ). Participantes que demoraram mais tempo para consumir refeições apresentaram níveis significativamente maiores de PVC nas fezes, especialmente aqueles que gastaram entre 30-60 minutos para comer, em comparação aos que gastaram menos de 20 minutos ( $p = 0,037$ ) ou entre 20-30 minutos ( $p = 0,030$ ). No entanto, após correção de Bonferroni, essas diferenças não se mantiveram. A microbiota intestinal nos grupos de baixa e alta exposição era predominantemente composta por Firmicutes ( $47,1 \pm 16,2\%$  vs  $47,8 \pm 16,2\%$ ), Bacteroidota ( $39,7 \pm 17,9\%$  vs  $37,6 \pm 17,0\%$ ) e Proteobacteria ( $8,4 \pm 11,6\%$  vs  $8,6 \pm 12,0\%$ ). Diferenças significativas foram detectadas em 11 gêneros bacterianos, mas não mantiveram significância após correção para taxa de descobertas falsas (TDF). Os índices de diversidade bacteriana Chao1 ( $p = 0,013$ ) e Observed species ( $p = 0,023$ ) foram significativamente menores no grupo de alta exposição, sugerindo uma associação entre a concentração de MPs e menor diversidade bacteriana. No entanto, os índices Shannon e Simpson não apresentaram diferenças significativas. Concentrações de PVC correlacionaram-se negativamente com os índices Chao1 ( $p = 0,013$ ) e Observed species ( $p = 0,023$ ). MPs totais também se correlacionaram positivamente com *Faecalibacterium* ( $p = 0,036$ ). As amostras e controles de contaminação apresentaram níveis de MPs abaixo do limite de detecção, indicando que a contaminação de fundo não impactou os resultados. Os índices Chao1 e Observed Species

foram usados para avaliar a diversidade bacteriana, enquanto os índices Shannon e Simpson avaliaram a diversidade levando em conta a riqueza e equitabilidade das espécies. O teste de correlação de Pearson foi aplicado para verificar a relação entre concentrações de MPs e diversidade bacteriana, com correção de Bonferroni e TDF para reduzir falsos positivos. O estudo mostrou que a exposição a MPs se correlacionou com alterações na microbiota intestinal, mas a significância foi reduzida após as correções estatísticas. A correlação negativa entre PVC e os índices de diversidade sugere que a presença de PVC pode estar associada a menor diversidade bacteriana. Embora os resultados indiquem uma possível relação entre MPs e a microbiota, as associações podem não ser robustas e exigem cautela na interpretação.

Tabela 7 – Caracterização de estudos sobre exposição a microplásticos e saúde gastrointestinal (continua).

<b>Autor</b>	<b>País</b>	<b>n°. participantes</b>	<b>n°. amostras</b>	<b>Características dos participantes</b>
Yan et al. (2022)	China	102	102 amostras de fezes humanas	Indivíduos saudáveis (60% homens, idade média de $30,64 \pm 9,64$ anos) e 52 pacientes diagnosticados com Doença Inflamatória Intestinal (59,6% homens, idade média de $35,02 \pm 15,13$ anos). Entre os pacientes com DII, 49% apresentavam doença de Crohn e 51% colite ulcerativa.
Schwabl et al. (2019)	Japão, Rússia, Holanda, Reino Unido, Itália, Polônia, Finlândia, Áustria	8	8 amostras de fezes humanas	Voluntários saudáveis, com idades entre 33 e 65 anos, sendo 3 homens e 5 mulheres
Cetin et al. (2023)	Turquia	31	31 amostras de tecido de cólon	A idade média foi de $60,81 \pm 10,72$ anos para pacientes com câncer colorretal e $65,93 \pm 15,87$ anos para pacientes sem cancer. Entre os pacientes, 62,5% eram mulheres e 37,5% homens, enquanto no grupo controle, 40% eram mulheres e 60% homens.
Ke et al. (2023)	China	69	69 de amostras de fezes	Pré-escolares com idades entre 3 e 6 anos, apresentando uma mediana de idade de 5 anos e mediana de IMC de $15,5 \text{ kg/m}^2$ . A amostra era composta por 53,6% de crianças do sexo masculino.
Ho et al. (2022)	China	8	8 amostras de fezes humanas	Adultos saudáveis, com idades entre 30 e 65 anos, residentes em Hong Kong, sem condições clínicas significativas relatadas.

Tabela 7 – Caracterização de estudos sobre exposição a microplásticos e saúde gastrointestinal (conclusão).

Zhang et al. (2021)	China	24	24 amostras de fezes	Homens jovens saudáveis, com idades entre 18 e 25 anos, estudantes universitários em Pequim, sem histórico de doenças relevantes, uso excessivo de álcool ou tabagismo.
Wibowo et al. (2021)	Indonésia	11	11 amostras de fezes	O estudo incluiu 11 indivíduos saudáveis, com idades entre 20 e 50 anos, sendo 5 homens e 6 mulheres, todos agricultores residentes na vila de Pacet, em Mojokerto, Indonésia. Os participantes eram membros de uma comunidade agrícola rural e foram selecionados com base no critério de não terem usado antibióticos nos dois meses anteriores à coleta.
Luqman et al. (2021)	Indonésia	11	11 amostras de fezes	Adultos saudáveis de uma comunidade pesqueira, com idades entre 20 e 50 anos, sendo 9 homens e 2 mulheres.
Wikurendra et al. (2022)	Indonésia	10	10 amostras de fezes	Adultos saudáveis que viviam próximos ao rio e consumiam água engarrafada, carne e frutos do mar.
Ibrahim et al. (2021)	Malásia	11	11 amostras de tecidos de cólon	Pacientes adultos submetidos a colectomia, com idade média de 45,7 anos (variando de 34 a 88 anos), sendo 6 homens e 5 mulheres com adenocarcinoma moderadamente diferenciado, adenocarcinoma mucinoso ou condições benignas, como má formação arteriovenosa.

Fonte: A autora, 2024.

Tabela 8 – Presença de microplásticos e saúde gastrointestinal (continua).

<b>Autor</b>	<b>Técnicas de Análise</b>	<b>Tipos de MPs</b>	<b>Frequência de Detecção</b>	<b>Quantidade Detectada</b>
Yan et al. (2022)	μRaman	PET, PA, PP, PE e PVC.	Participantes saudáveis: Detecção de MPs em 50/50 (100%). Pacientes com DII (Doenças Inflamatórias Intestinais): Detecção de MPs em 52/52 (100%).	Média de 41,8 partículas/g em pacientes com DII e 28,0 partículas/g em indivíduos saudáveis
Schwabl et al. (2019)	μFTIR	PP, PET, PVC, PS, PA, PU, PE e POM	8/8 (100%)	Mediana de 20 partículas de microplásticos por 10 g de fezes.
Cetin et al. (2023)	ATR-FTIR e μRaman	PE, PMMA, PA	Tecido tumoral do cólon: 16/16 (100%). Tecido não tumoral do cólon: 16/16 (100%). Tecido controle (sem diagnóstico de câncer): 15/15 (100%).	Tecidos tumorais: 702,68 ± 504,26 partículas/g; Tecidos não tumorais: 207,78 ± 154,12 partículas/g.
Ke et al. (2023)	Py-GC/MS	PVC, PET, PE, PA6	59/69 (85.5%)	Mediana: 337,8 μg/g
Ho et al. (2022)	μRaman	PS, PP, PE, PET, PVC	8/8 (100%)	Média de 50,3 partículas/g de fezes (variação de 20,4 a 138,9 partículas/g)
Zhang et al. (2021)	μFTIR	PP, PET, PS, PE, PA, PC, PVC, PU	23/24 (96%)	Variação de 1 a 36 partículas/g

Tabela 8 – Presença de microplásticos e saúde gastrointestinal (conclusão).

Wibowo et al. (2021)	Raman	PEAD, PP, PS, PET	7/11 (64%)	Variação de 6,94 a 16,55 µg/g
Luqman et al. (2021)	Raman	PET, PS, PP, PEBDL, PEBD, PEAD	6/11 (55%)	Variação de 3,33 a 13,99 µg/g
Wikurendra et al. (2022)	Microscopia	-	10/10 (100%)	Variação de 3 a 16 partículas por amostra; total de 78 partículas identificadas
Ibrahim et al. (2021)	SEM-EDX, FTIR-ATR, µFTIR	PC, PA, PP	11/11 (100%)	Média de 28,1 partículas/g de tecido; total de 331 partículas por amostra individual

Legenda: PET – Polietileno Tereftalato, PA – Poliamida, PP – Polipropileno, PE – Polietileno, PVC – Policloreto de Vinila, PS – Poliestireno, PU – Poliuretano, POM – Poliacetal (ou Polioximetileno), PMMA – Polimetilmetacrilato, PA6 – Poliamida 6, PC – Policarbonato, PEAD – Polietileno de Alta Densidade, PEBDL – Polietileno de Baixa Densidade Linear, PEBD – Polietileno de Baixa Densidade. Fonte: A autora, 2024.

#### 4.3.5 Saúde do sistema respiratório

Os estudos apresentados na Tabela 9 investigaram a presença de MPs em tecidos e fluidos do sistema respiratório humano, utilizando amostras como tecido pulmonar e fluido broncoalveolar. A frequência de detecção foi elevada (Tabela 10). O tecido pulmonar foi a amostra mais observada, com 6 ocorrências, representando 37,50% do total. As amostras de BALF e fluido de lavagem nasal tiveram 4 ocorrências cada, correspondendo a 25,00% do total cada uma. Escarro teve 2 ocorrências, representando 12,50% do total.

O estudo de Chen et al.(80), investigou a presença de microfibras e MPs em tecidos pulmonares humanos, com foco na comparação entre tecidos tumorais e normais de pacientes com nódulos pulmonares de vidro fosco (GGNs). Foram identificadas microfibras, como algodão, rayon e poliéster, além de MPs, especialmente polietileno glicol (<20 µm). Das 50 amostras tumorais, 29 apresentaram microfibras, e 23 das 50 amostras normais também. A análise quantitativa revelou que 58,46% das microfibras estavam nos tecidos tumorais, com 36,92% delas sendo MPs (poliéster, rayon, acrílico, PET, resina fenólica). A presença de microfibras e MPs foi mais frequente em indivíduos com histórico de maior risco (72%) do que em de baixo risco (42,11%). Os resultados sugerem uma possível associação entre a exposição a esses materiais e o desenvolvimento de lesões pulmonares pré-invasivas ou malignas, necessitando de mais estudos para confirmação.

O estudo de Jenner et al.(96), detectou MPs em 11 de 13 amostras de tecido pulmonar humano, com uma média de 3 MPs por amostra (variação de 0 a 8 MPs), significativamente maior do que nos controles (média de 0,53 MPs por amostra,  $p = 0,001$ ). Houve diferença significativa entre amostras masculinas e femininas, com níveis mais altos em amostras masculinas ( $p = 0,019$ ). Foram identificados 12 tipos de polímeros, sendo PP e PET os mais comuns. O comprimento médio das partículas foi de 223,10 µm, com largura média de 22,21 µm. A taxa de contaminação de fundo foi de 0,53 MPs por controle, com partículas de diferentes polímeros detectadas em controles de procedimento e de laboratório. Após ajustes para a contaminação de fundo, a média de MPs nas amostras de tecido foi de 0,69 MPs/g, significativamente maior que nos controles ( $p = 0,043$ ).

O estudo de Baeza-Martínez et al.(92), investigou a presença de MPs no líquido de lavagem broncoalveolar (BALF) de pacientes humanos. A pesquisa revelou que a concentração de MPs nas vias aéreas inferiores varia conforme fatores como sexo, idade, tabagismo,

ocupação e diagnóstico clínico. As mulheres, especialmente as fumantes, apresentaram concentrações mais altas, com a maior concentração observada em uma mulher de 63 anos, agricultora e fumante ativa. Fumantes e pessoas com ocupações de alto risco também mostraram níveis elevados de MPs no BALF. Além disso, a presença de MPs correlacionou-se com condições patológicas, como anomalias radiológicas e crescimento microbiano, sugerindo associações com processos inflamatórios ou infecciosos nas vias respiratórias. Os pacientes com função pulmonar prejudicada (Volume Expiratório Forçado no 1º segundo (FEV1)/Capacidade Vital Forçada(FVC) < 0,70) apresentaram maiores concentrações de MPs, indicando uma possível associação com doenças respiratórias obstrutivas, como a doença pulmonar obstrutiva crônica (DPOC).

O estudo de Wang et al.(98), revelou que MPs estavam presentes em amostras de tecido pulmonar analisadas, com uma concentração significativamente maior de MPs no grupo de tecidos pulmonares comparado ao grupo controle. A maior parte dos MPs encontrados nos pulmões foi composta por PP e PET, com partículas de tamanho predominantemente entre 20 e 100 µm. A análise de microscopia eletrônica de varredura (SEM) e Raman mostraram que esses MPs possuíam superfícies rugosas, sugerindo que estavam sujeitos a processos de intempérie, o que pode indicar exposição ambiental prolongada. A maior concentração de MPs foi observada em mulheres e indivíduos que moravam perto de grandes vias de tráfego, sugerindo uma possível correlação entre a exposição ao tráfego e a presença de MPs nos pulmões. No entanto, não foram observadas diferenças significativas em relação a outras características individuais, como idade ou ocupação, o que pode indicar que fatores como a proximidade ao tráfego têm um papel mais relevante na exposição. O estudo também comparou a diferença nos níveis dos índices de testes sanguíneos entre os grupos de baixo e alto nível de MPs. Comparado com o grupo de baixo nível de MPs (<2,19 partículas/g), o grupo de alto nível de MPs ( $\geq 2,19$  partículas/g) apresentou níveis significativamente mais altos de plaquetas (PLT), trombocito, fibrinogênio (FIB), Na<sup>+</sup> e níveis mais baixos de bilirrubina direta (BD). O teste de correlação de Spearman mostrou correlações muito fortes e positivas nas concentrações de MPs com trombocito ( $r = 0,82$ ,  $p < 0,01$ ), e correlações fortemente positivas com PLT ( $r = 0,78$ ,  $p < 0,01$ ), assim como FIB ( $r = 0,63$ ,  $p = 0,03$ ), enquanto correlações fortemente negativas com BD ( $r = -0,78$ ,  $p < 0,01$ ), TB ( $r = -0,66$ ,  $p = 0,02$ ) e hemo bilirrubina ( $r = -0,62$ ,  $p = 0,03$ ). Os níveis de MPs nos tecidos pulmonares com diversos índices de testes sanguíneos. Indivíduos com níveis mais altos de MPs apresentaram concentrações significativamente mais elevadas de plaquetas, trombocito e fibrinogênio, enquanto os níveis de bilirrubina direta estavam

negativamente relacionados com a quantidade de MPs. Esses resultados indicam uma possível relação entre a exposição a MPs e alterações nos parâmetros sanguíneos, como aumento da coagulação e resposta inflamatória

O estudo de Amato-Lourenço et al.(95) analisou a presença de MPs nos tecidos pulmonares de 20 indivíduos falecidos, com idades entre 48 e 94 anos. As amostras foram coletadas de não fumantes, incluindo ex-fumantes com abstinência superior a 15 anos, exceto um caso com doença pulmonar crônica. O tempo médio de residência dos indivíduos na cidade e no endereço das amostras foi de 52,8 anos e 34,15 anos, respectivamente. O estudo identificou 31 partículas e fibras de polímeros sintéticos em 13 dos 20 indivíduos. A maioria das partículas eram fragmentos (87,5%), enquanto as fibras representaram 12,5%. As partículas tinham tamanho médio de 3,92  $\mu\text{m}$  (variando de 1,60 a 5,56  $\mu\text{m}$ ), e as fibras tinham comprimento médio de 11,23  $\mu\text{m}$  (variando de 8,12 a 16,80  $\mu\text{m}$ ). Também foram detectadas 5 partículas de polímeros naturais com tamanho médio de 3,44  $\mu\text{m}$  (variando de 1,98 a 5,42  $\mu\text{m}$ ). O polipropileno (35,1%) foi o polímero sintético mais prevalente, seguido pelo polietileno (24,3%). Outros polímeros como policloreto de vinila, acetato de celulose e poliamida estavam presentes em menores proporções. Além disso, foi observada a presença de MPs intemperizados, com espectros Raman indicando sinais enfraquecidos, sugerindo degradação desses materiais ao longo do tempo.

O estudo de Huang et al.(81) investigou a presença de MPs no escarro de seres humanos, sugerindo que a inalação desses materiais pode ocorrer devido a fatores como o hábito de fumar e a exposição ocupacional. Os participantes, com idades variando de 17 a 93 anos (77,27% homens), incluíam 72,73% de fumantes e 45,45% com exposição ocupacional. Nove participantes (40,91%) passaram por exames invasivos da traqueia. O estudo encontrou que 32% das partículas no escarro eram plásticas, enquanto 68% não eram. Identificaram-se 21 tipos diferentes de MPs, com destaque para poliuretano (PU), poliéster (PES) e polietileno clorado. Fumantes inalaram mais tipos de MPs em comparação com não fumantes, com diferença estatisticamente significativa ( $P < 0,05$ ). Participantes com exames invasivos da traqueia apresentaram maior abundância de verniz alquídico no escarro ( $P < 0,05$ ). No entanto, o uso de máscaras descartáveis não teve relação significativa com as concentrações de PU e PES, sugerindo que outras fontes de exposição possam ser mais relevantes. As partículas de MPs eram, em sua maioria, menores que 500  $\mu\text{m}$ . Esses resultados indicam que os MPs entram no trato respiratório principalmente por inalação e podem ser expelidos através do escarro, com fatores ambientais e comportamentais, como o uso de tabaco, influenciando a exposição.

O estudo de Pauly et al.(97) investigou a presença de fibras celulósicas (como algodão) e plásticas (como poliéster) em amostras de pulmão de pacientes com câncer de pulmão. Das 81 amostras de pulmão não neoplásico, 83% apresentaram fibras, com a maior frequência em carcinomas de células escamosas (84%) e adenocarcinomas (80%). Em 32 amostras de tecido pulmonar maligno, 97% apresentaram fibras, incluindo 100% dos carcinomas de células escamosas, lesões metastáticas e carcinoma de células grandes. As fibras foram encontradas de forma dispersa no pulmão, não se limitando aos grandes espaços aéreos. A alta presença de fibras também foi observada em outros tipos de câncer de pulmão, como adenocarcinomas e tumores carcinoides. Fibras foram detectadas em todos os tumores malignos recém-excisados, com presença de 100% em carcinomas de células escamosas, lesões metastáticas, carcinoma de células grandes e outros tipos.

O estudo de Uoginté et al.(87) detectou MPs e NPs em todas as amostras de BALF, com concentrações variando de  $0,11 \pm 0,02$  MPs/100 ml a  $12,80 \pm 0,64$  MPs/100 ml, com uma média de 2,61 MPs/100 ml. A maior quantidade foi encontrada em um doador de 39 anos, não fumante, que trabalhava em escritório e morava em área rural, enquanto a menor foi em um fumante de 56 anos, trabalhador da construção civil em área urbana. Embora não tenha sido possível estabelecer uma correlação definitiva entre MPs e diagnóstico devido ao pequeno número de pacientes, as maiores quantidades foram observadas em pessoas com suspeita ou diagnóstico de tuberculose ou doenças pulmonares semelhantes. As partículas de MPs variaram em tamanho, com a maioria tendo menos de 300  $\mu\text{m}$ , e 84,42% eram fragmentos. A análise de NPs revelou uma alta quantidade de partículas, embora em menor número que os MPs. Fatores como local de trabalho e ambiente de residência (rural vs. urbano) parecem influenciar a presença de MPs/NPs, mas mais estudos são necessários para confirmar essas associações.

No estudo de Qiu et al.(84), foram analisadas 24 amostras, incluindo 18 de BALF (lavado broncoalveolar) de indivíduos nunca fumantes e 6 amostras de controle. A mediana de idade dos participantes foi 55,8 anos, com predominância de mulheres (83,3%) e a maioria aposentada ou desempregada, sendo 88,9% com câncer de pulmão. Foram detectadas 1.634 partículas e fibras de MPs nas amostras de BALF, com concentrações variando de 0,2 a 140,9 N/g. A maioria das partículas tinha tamanho entre 20 a 80  $\mu\text{m}$ , e o polietileno foi o MP mais abundante (86,1%). No grupo controle, foram observadas apenas 16 partículas, com concentração significativamente menor que no grupo BALF ( $p < 0,05$ ). As partículas apresentaram superfícies ásperas e porosas, indicando possíveis danos. A análise expandida

revelou 8.807 partículas de MPs, sendo 5,4% fibras, e detectou outros tipos de MPs além dos principais.

O estudo de Taş et al.(93), investigou a densidade de MPs em 80 indivíduos, divididos entre pacientes com sinusite crônica (Grupo 1) e um grupo controle saudável (Grupo 2). MPs foram detectados em todas as amostras analisadas, sendo o número máximo registrado de 10,33 unidades/mL em um paciente com sinusite crônica. A análise revelou uma diferença significativa na densidade de MPs entre o grupo com sinusite crônica e o grupo controle. Além disso, houve uma diferença estatisticamente significativa nos escores NOSE (Avaliação dos Sintomas de Obstrução Nasal), que avalia sintomas de rinosinusite, entre os dois grupos ( $p < 0,001$ ). O grupo com sinusite crônica apresentou escores NOSE mais elevados ( $10,50 \pm 3,28$ ) em comparação ao grupo controle ( $7,50 \pm 3,91$ ), destacando a maior gravidade dos sintomas no primeiro grupo. Apesar disso, não foi encontrada uma correlação significativa entre a densidade de MPs e os escores NOSE ( $p = 0,688$ ). Os MPs foram significativamente mais abundantes em pacientes com sinusite crônica, sugerindo uma possível associação entre MPs e a condição, possivelmente mediada por alterações na flora nasal e inflamação causadas pelos MPs. A detecção de MPs no grupo controle saudável ressalta a gravidade da poluição ambiental por MPs, evidenciando a exposição generalizada à poluição por MPs.

O estudo de Tuna et al.(123) investigou a densidade de MPs em 66 indivíduos, os quais foram divididos entre um grupo com rinite alérgica e um grupo controle. A presença de pelo menos um MPs foi detectada em todas as amostras analisadas. A densidade de MPs foi significativamente maior no grupo com rinite alérgica quando comparado ao grupo controle ( $p = 0,027$ ). A análise dos escores SFAR (Sociedade Francesa de Anestesia e Terapia Intensiva) também revelou uma diferença significativa entre os dois grupos, com  $p < 0,001$ . No entanto, não foi observada uma correlação significativa entre a densidade de MPs e os escores SFAR ( $p = 0,688$ ). Esses resultados sugerem que a maior densidade de MPs no grupo com rinite alérgica pode indicar uma possível associação entre a exposição a MPs e o desenvolvimento ou agravamento da condição.

O estudo de Torres-Agullo et al.(94), avaliou a presença de MPs no sistema respiratório superior em pessoas que utilizaram máscaras faciais por 8 horas por dia, por meio de lavagens nasais em 14 voluntários, sendo que MPs foram detectados em 100% dos participantes. O poliestireno foi o polímero mais prevalente, representando 36%, seguido pela poliamida (PA)

com 23%, além de outros materiais como PE (6%), PES (12%) e outros. A detecção de polipropileno foi mínima, indicando que as máscaras faciais não são uma fonte significativa de MPs. As fibras predominavam, compondo 53% dos MPs identificados, com tamanhos variando de 21  $\mu\text{m}$  a 4235  $\mu\text{m}$ . As faixas de 100–200  $\mu\text{m}$  e 200–300  $\mu\text{m}$  foram as mais comuns tanto para fibras quanto para fragmentos de MPs. Não foi observada diferença significativa entre os tipos de máscara utilizados (FFP2 ou cirúrgicas) em relação à densidade de MPs ( $p > 0,05$ ). Os resultados sugerem que a exposição a MPs não provém principalmente do uso de máscaras faciais, mas sim de fontes externas e internas, como o ar ambiente. Apesar de sua popularidade durante a pandemia, as máscaras faciais não são a principal fonte de MPs inalados, sendo a exposição provavelmente originada de outras fontes ambientais.

O estudo de Chen et al.(122), avaliou a presença de MPs nos pulmões de crianças (idades entre 1 a 15 anos) com diferentes condições respiratórias, incluindo asma e pneumonia adquirida na comunidade (PAC). Com 11 crianças com asma e 66 diagnosticadas com PAC (23 não grave e 43 grave). MPs foram detectados em 89,6% das amostras de BALF, com um total de 332 MPs encontrados em 77 amostras. A concentração média foi de  $4,31 \pm 2,77$  itens/10 mL, sem diferença significativa entre os sexos ( $p > 0,05$ ). Dez tipos de polímeros foram encontrados, sendo os mais frequentes polipropileno, 41,9%; polietileno, 19,4%. A concentração de MPs diminuiu linearmente com o aumento da idade ( $r \leq -0,80$ ,  $p < 0,05$ ). No grupo com asma, essa tendência foi menos pronunciada ( $r = -0,64$ ,  $p > 0,05$ ). O estudo sugere que os pulmões pediátricos estão sujeitos ao acúmulo de MPs inalados, com um padrão de maior acúmulo em crianças mais novas, que têm maior exposição a MPs no ambiente. Asma não apresentou uma tendência clara de redução na concentração de MPs com a idade, possivelmente devido ao tamanho reduzido da amostra. As crianças mais novas, devido a comportamentos como engatinhar e brincar no chão, podem ser mais suscetíveis ao acúmulo de MPs.

Em Jiang et al.(129), este estudo investigou a presença de MPs no escarro e no fluido de lavagem nasal de entregadores e funcionários de escritório, com foco nas diferenças entre trabalhadores em ambientes internos e externos. As principais descobertas incluem MPs foram detectados no escarro e no fluido de lavagem nasal de ambos os grupos, mas as diferenças entre os grupos variaram conforme o tipo de amostra no escarro não houve diferença significativa entre entregadores e funcionários de escritório ( $P = 0,357$ ). No fluido de lavagem nasal houve

uma diferença estatisticamente significativa entre entregadores e funcionários de escritório ( $P < 0,001$ ), com entregadores apresentando maior quantidade de MPs no fluido nasal.

No estudo de Amato-Lourenço et al.(79), a presença de MPs nos tecidos pulmonares humanos foi analisada. As amostras foram coletadas nas regiões periféricas e centrais do pulmão de 10 casos de indivíduos não fumantes que viveram na cidade de São Paulo nos últimos cinco anos. Como uma medida adicional de controle para os tecidos pulmonares, amostras foram coletadas de dois natimortos. Controles processuais em branco foram utilizados durante todas as etapas de manuseio e análise das amostras. Todas as partículas de MPs foram caracterizadas quanto à morfologia e composição química. A microespectroscopia Raman foi utilizada para a caracterização química de possíveis materiais poliméricos. Partículas poliméricas (n=7) e fibras (n=2) foram observadas em cinco dos dez casos. Todas as partículas poliméricas eram menores que 10 micrômetros em tamanho, e os polímeros identificados foram polietileno e polipropileno; nenhuma fibra foi observada. Os efeitos deletérios à saúde podem estar relacionados às características heterogêneas, fontes e destinos desses contaminantes no sistema respiratório após a inalação.

Tabela 9 – Caracterização de estudos sobre exposição a microplásticos e saúde do sistema respiratório (continua).

<b>Autor</b>	<b>País</b>	<b>nº. participantes</b>	<b>nº. amostras</b>	<b>Características dos participantes</b>
Chen et al. (2022)	China	50	100 amostras de tecido pulmonar	Pacientes submetidos à ressecção pulmonar, incluindo lobectomia ou sublobectomia por VATS, para diagnóstico ou tratamento de nódulos pulmonares e para câncer de pulmão de células não pequenas (NSCLC). A maioria dos pacientes era do sexo feminino (68%), com idade média de 55,4 anos. Entre eles, 38% eram fumantes ou tinham histórico de tabagismo, e as condições associadas incluíam hipertensão (26%) e diabetes (8%).
Jenner et al. (2022)	Reino Unido	11	13 amostras de tecido pulmonar	Pacientes com idade média de 63 anos (variando entre 32 e 77 anos), sendo 6 homens e 5 mulheres, submetidos a cirurgia torácica por câncer ou redução de volume pulmonar.
Baeza-Martínez et al. (2022)	Espanha	44	44 amostras de fluido de lavagem broncoalveolar	Pacientes adultos com neoplasias pulmonares (50%) e hemoptise (27%) submetidos a broncoscopia, idade variou de 35 a 86 anos, com média de 65,10 anos. A maioria era composta por homens (72,73%) e 27,27% eram mulheres. Cerca de 23 participantes eram fumantes ativos, 15 eram ex-fumantes e 6 nunca fumaram.
Wang et al. (2023)	China	12	12 amostras de tecido pulmonar	Pacientes não fumantes diagnosticados com câncer de pulmão em estágios iniciais, com idades entre 29 e 69 anos
Amato-Lourenço et al. (2021)	Brasil	20	20 amostras de tecido pulmonar	O estudo analisou amostras de tecido pulmonar coletadas durante autópsias de indivíduos com idade média de 78,5 anos (variando de 48 a 94 anos). A amostra incluiu 7 homens e 13 mulheres, todos adultos não-fumantes ou ex-fumantes há mais de 15 anos.

Tabela 9 – Caracterização de estudos sobre exposição a microplásticos e saúde do sistema respiratório (continuação).

Huang et al. (2022)	China	22	22 amostras de escarro	Pacientes hospitalizados com doenças pulmonares, como pneumonia, bronquiectasia e DPOC, sendo 36,36% diagnosticados com DPOC. A amostra, predominantemente masculina (77,27%), tinha idades entre 17 e 93 anos, com 50% com 60 anos ou mais. Além disso, 72,73% tinham histórico de tabagismo e 45,45% relataram exposição ocupacional a fatores de risco respiratório.
Pauly et al. (1998)	Estados Unidos	114	114 amostras de tecido pulmonar	Pacientes com câncer de pulmão, abrangendo fumantes ativos (24%), ex-fumantes (61%) e não fumantes (15%). Os diagnósticos incluíram câncer de pulmão primário, como adenocarcinoma, carcinoma de células escamosas e outros, além de casos de metástases pulmonares.
Uoginte et al. (2023)	Lituânia	10	10 amostras de líquido de lavagem broncoalveolar	Pacientes entre 39 e 70 anos, com hemoptise, linfadenopatia, infiltração focal ou suspeita de tuberculose. Destes, 60% eram homens, 40% residiam em áreas rurais e 40% tinham histórico de tabagismo.
Qiu et al. (2023)	China	18	18 amostras de líquido de lavagem broncoalveolar	Adultos não fumantes com idade média de 55,8 anos (variando entre 32 e 74 anos), sendo a maioria mulheres (83,3%). Entre os participantes, 88,9% foram diagnosticados com câncer de pulmão, e 66,7% apresentavam mucosite brônquica.
Taş et al. (2024)	Turquia	80	80 amostras de fluido de lavagem nasal	Pacientes com rinossinusite crônica sem pólipos nasais (63%) e voluntários saudáveis sem patologias nasais (37%). A média de idade foi de 38 anos no grupo de rinossinusite e 34 anos no grupo controle. Em relação ao gênero, 44% dos participantes eram homens e 56% mulheres.

Tabela 9 – Caracterização de estudos sobre exposição a microplásticos e saúde do sistema respiratório (conclusão).

Tuna et al. (2023)	Turquia	66	66 amostras de fluido de lavagem nasal	Indivíduos com idades entre 18 e 70 anos, divididos em dois grupos, participantes diagnosticados com rinite alérgica e participantes sem patologias nasais crônicas ou agudas.
Torres-Agullo et al. (2023)	Espanha	18	14 amostras de fluido de lavagem nasal	Trabalhadores do IDAEA (Instituto de Avaliação Ambiental e Pesquisa Hídrica) (39%), estudantes universitários (44%) e profissionais do setor de saúde (17%), que fizeram uso de máscaras por mais de 8 horas por dia.
Chen et al. (2023)	China	77	77 amostras de líquido de lavagem broncoalveolar	Pacientes de 1 a 15 anos diagnosticadas com pneumonia adquirida na comunidade ou asma, provenientes de áreas urbanas e suburbanas/rurais. A idade média foi de 6,7 anos para crianças com CAP e 6,0 anos para aquelas com asma, com proporção equilibrada entre meninos e meninas.
Jiang et al. (2022)	República Popular da China	16	32 amostras: 16 de lavagem nasal. 16 de escarro	Homens com idades entre 20 e 45 anos, sem histórico de doenças respiratórias pré-existentes, como asma, pneumonia ou bronquite crônica.
Amato-Lourenço et al. (2021)	Brasil	10	10 amostras de tecido pulmonar	Adultos não fumantes. Informações detalhadas sobre idades, tabagismo anterior ou exposição ocupacional não foram especificadas.

Fonte: A autora, 2024.

Tabela 10 – Presença de microplásticos e saúde do sistema respiratório (continua).

Autor	Técnicas de Análise	Tipos de MPs	Frequência	Quantidade
Chen et al. (2022)	μFTIR, Raman, LDIR, SEM-EDS	Tumor: PES, rayon, acrílico, chipboard, resina fenólica e PET; Normal: PES e rayon.	Tecido tumoral: 29/50 (58%). Tecido normal: 23/50 (46%).	Tecidos tumorais: média de 0,65 microfibras/amostra; Tecidos normais: média de 0,24 microfibras/amostra
Jenner et al. (2022)	μFTIR	PET, PP, PS, PTFE, TPE, PE, SEBS, PES, PUR, PMMA, PAN, resina	11/13 (85%)	Média de 0,69 ± 0,84 MPs/g após correção para contaminação
Baeza-Martínez et al. (2022)	μ-FTIR e SEM-EDS	RA, PES, PAA, celulose, algodão, lã sintética	30/44 (68%)	Média de 9,18 ± 2,45 partículas/100 mL
Wang et al. (2023)	LDIR e SEM	PP, PET, PS, PVC, CPE, PE, ACR, EVA, PU	11/12 (92%)	Média de 4,31 ± 5,11 partículas/g
Amato-Lourenço et al. (2021)	μRaman	PP, PE, PVC, PA, PS, PU, EPR, PS-PVC	13/20 (65%)	Média de 0,56 partículas/g de tecido pulmonar
Huang et al. (2022)	LDIR e μFTIR	PU, PES, PE, PC, PP, PS, PMMA, PVC, PVA, PTFE, EVA, PA6, CPE, POM, verniz alquídico, borracha, silicone, polibutadieno, cloropreno clorado, polissulfona, acrílicos	22/22 (100%)	Média de 120,1 partículas/10 mL (IQR: 18,75–91,75)

Tabela 10 – Presença de microplásticos e saúde do sistema respiratório (continuação).

Pauly et al. (1998)	Microscopia	PES e PA	Tecido não neoplásico: 67/81 (83%) Tecido pulmonar maligno: 32/33 (97%)	Varição de 1 a 16 fibras por amostra
Uoginte et al. (2023)	TEM-EDX	-	10/10 (100%)	Média de 2,61 partículas/100 mL
Qiu et al. (2023)	LDIR e SEM	PE, PU, PP, PS, PC, PSU, PVC, PMMA, PI, PTFE, PET, ACR, PICH	18/18 (100%)	Total de 1634 partículas; variação de 0,2 a 140,9 partículas/g
Taş et al. (2024)	Microscopia	-	Lavagem nasal de pacientes com sinusite crônica: 50/50 (100%). Lavagem nasal de voluntários saudáveis: 30/30 (100%).	Grupo 1: $3,88 \pm 2,14$ partículas/mL; Grupo 2: $2,34 \pm 1,89$ partículas/mL
Tuna et al. (2023)	Microscopia	-	Lavagem nasal de pacientes com rinite alérgica: 36/36 (100%). Lavagem nasal de voluntários saudáveis (grupo controle): 30/30 (100%).	Grupo 1: média de $3,10 \pm 1,85$ partículas/mL; Grupo 2: média de $2,38 \pm 1,85$ partículas/mL

Tabela 10 – Presença de microplásticos e saúde do sistema respiratório (conclusão).

Torres-Agullo et al. (2023)	μFTIR	PS, PA, EPDM, PES, PE, PVDF, PP, PVC	14/14 (100%)	Média de 28,3 ± 15,6 partículas/5 mL; variação de 14 a 67,3 partículas/5 mL
Chen et al. (2023)	μRaman	PP, PE, PES, PET, PVC, PC, PTFE, AC, PA, PBT	69/77 (90%)	Média de 4,31 ± 2,77 partículas/10 mL
Jiang et al. (2022)	LDIR	PU, PC, PP, PE, PA, PVC	32/32 (100%)	Trabalhadores internos: lavagem nasal: 2,6 partículas/g; escarro: 134,3 partículas/g; Trabalhadores externos: lavagem nasal: 0,8 partículas/g, escarro: 102,9 partículas/g
Amato-Lourenço et al. (2021)	μRaman	PET, PP	5/10 (50%)	Total de 7 partículas

Legenda: PES – Poliéster, PET – Polietileno Tereftalato, PP – Polipropileno, PS – Poliestireno, PTFE – Politetrafluoretileno, TPE – Elastômero Termoplástico, PE – Polietileno, SEBS – Estireno-Etileno-Butadieno-Estireno, PUR – Poliuretano, PMMA – Polimetilmetacrilato, PAN – Poliacrilonitrila, RA – Resina Acrílica, PAA – Ácido Poliacrílico, PVC – Policloreto de Vinila, CPE – Polietileno Clorado, ACR – Acrílico, EVA – Etileno Vinil Acetato, PU – Poliuretano, PA – Poliamida, EPR – Borracha de Etileno-Propileno, PS-PVC – Copolímero de Poliestireno e Policloreto de Vinila, PC – Policarbonato, PSU – Polissulfona, PVA – Álcool Polivinílico, PA6 – Poliamida 6, POM – Poliacetal (ou Polioximetileno), PI – Poliamida Imida, PICH – Polietileno Ionomérico, EPDM – Borracha de Etileno-Propileno-Dieno, PVDF – Polifluoreto de Vinilideno, AC – Acetato de Celulose, PBT – Polibutileno Tereftalato. Fonte: A autora, 2024.

#### 4.3.6 Saúde do sistema renal

Os estudos apresentados na tabela 11 investigaram a presença de MPs no sistema renal, com frequência de detecção alta (Tabela 12). Em alguns estudos, foram identificados diferentes perfis de MPs entre grupos saudáveis e com condições específicas, como mulheres com endometriose, o que sugere potenciais influências das condições de saúde sobre a eliminação de MPs. A urina foi a amostra mais observada, com 3 ocorrências, representando 75,00% do total. Enquanto o tecido renal teve 1 ocorrência, correspondendo a 25,00% do total.

O estudo de Pironti et al.(118), avaliou pela primeira vez a presença de MPs em amostras de urina de seis voluntários da Itália, identificando fragmentos de PVA, PVC, PP e PE através de microscopia Raman (tamanho de 4 a 15  $\mu\text{m}$ ). Outro estudo, identificou a presença de MPs, predominantemente na forma de fibras, nas amostras de urina humana, com a cor preta sendo a mais observada. As microfibras representaram cerca de 57% das partículas capturadas, enquanto os fragmentos plásticos foram responsáveis por 43%. O tamanho das partículas variou de 0,01 nm a 871  $\mu\text{m}$ , com fragmentos menores sendo mais biodisponíveis e facilitando sua translocação para órgãos e tecidos. O polipropileno foi o tipo de MPs mais abundante. A análise revelou uma concentração média de microfibras de  $2,04 \pm 3,38$  partículas/100ml e fragmentos plásticos de  $1,59 \pm 1,80$  partículas/100ml. A presença de MPs na urina humana sugere possíveis vias de exposição, como consumo de alimentos embalados e poluição ambiental. A análise química por FTIR identificou PP e poliamida (PA) como os principais polímeros nos fragmentos plásticos (76).

O estudo de Massardo et al.(117), utilizou a espectrometria MicroRaman para identificar partículas de MPs e fragmentos inorgânicos em amostras de urina e rins humanos. Foram detectadas 66 partículas, das quais 26 foram identificadas. As partículas mais comuns nas amostras foram polietileno e poliestireno, com tamanhos variando de 1 a 29  $\mu\text{m}$ , sendo a maioria inferior a 10  $\mu\text{m}$ . Além disso, foram identificados pigmentos como Cu-ftalocianina e hematita. A presença de polietileno e poliestireno foi confirmada pelas correspondências espectrais com bases de dados, e a hematita foi encontrada em várias amostras. Esses resultados indicam a contaminação potencial de órgãos humanos por MPs, o que levanta preocupações sobre os possíveis efeitos na saúde, devido à presença desses polímeros e aditivos.

No estudo de Rotchell et al.(119), foram analisadas 355 partículas de MPs em amostras de urina de 10 mL de indivíduos saudáveis e participantes com endometriose. As partículas

foram compostas por 22 tipos de polímeros, sendo que 18 tipos estavam presentes nas amostras dos doadores saudáveis e 16 nas das participantes com endometriose. A média de MPs nas amostras de urina dos doadores saudáveis foi de 2589 MPs/L, enquanto nas participantes com endometriose foi de 4724 MPs/L. No entanto, não houve diferença significativa entre os dois grupos ( $p=0,38$ ). Os tipos de polímeros mais comuns nos doadores saudáveis foram PE (27%), PS (16%) e resinas (12%), enquanto nas participantes com endometriose predominou o PTFE (59%) e o PE (16%). As partículas nos doadores saudáveis tinham um comprimento médio de 61,92  $\mu\text{m}$  e uma largura de 34,85  $\mu\text{m}$ , enquanto nas participantes com endometriose, as partículas eram significativamente maiores (comprimento médio de 119,01  $\mu\text{m}$  e largura de 79,09  $\mu\text{m}$ ). As amostras de urina de participantes com endometriose também apresentaram uma maior proporção de partículas de forma irregular e fragmentos. Apesar da similaridade nos tipos e níveis de MPs entre os dois grupos, as diferenças nos tamanhos das partículas podem indicar um potencial impacto inflamatório nas participantes com endometriose, embora mais estudos sejam necessários para confirmar essa hipótese. O estudo sugere que a presença de MPs em urina pode estar relacionada a condições de saúde, como a endometriose, e pode representar uma fonte de inflamação, necessitando de mais pesquisas sobre os efeitos tóxicos dessas partículas.

Tabela 21 – Caracterização de estudos sobre exposição a microplásticos e saúde do sistema renal.

<b>Autor</b>	<b>País</b>	<b>nº. participantes</b>	<b>nº. amostras</b>	<b>Características dos participantes</b>
Massardo et al. (2024)	Itália	10	20 amostras no total (10 de urina e 10 de tecido renal).	Adultos saudáveis (5 homens e 5 mulheres), com idades entre 25 e 58 anos, que forneceram amostras de rim obtidas de nefrectomias realizadas devido a pequenos tumores localizados.
Pironti et al. (2023)	Itália	6	6 amostras de urina	Participantes (3 homens e 3 mulheres) com idades entre 16 e 35 anos.
Barnett et al. (2023)	Paquistão	9	9 amostras de urina	Adultos saudáveis do sexo masculino, sem histórico de doenças conhecidas ou exposição ocupacional relevante.

Fonte: A autora, 2024.

Tabela 12 – Presença de microplásticos e saúde do sistema renal.

<b>Autor</b>	<b>Técnicas de Análise</b>	<b>Tipos de MPs</b>	<b>Frequência</b>	<b>Quantidade</b>
Massardo et al. (2024)	μRaman	PE, PS	Urina: 10/10 (100%). Tecido renal (rim): 10/10 (100%)	Urina: 23 partículas; Tecido renal: 43 partículas
Pironti et al. (2023)	μRaman	PVA, PVC, PP, PE	4/6 (67%)	Variação de 1 a 3 partículas por amostra
Barnett et al. (2023)	ATR-FTIR, μFTIR, μRaman, SEM-EDS	PP, PA, Não identificado (NI)	9/9 (100%)	Média de 3,63 ± 1,96 partículas/100 mL de urina

Legenda: PE – Polietileno, PS – Poliestireno, PVA – Álcool Polivinílico, PVC – Policloreto de Vinila, PP – Polipropileno, PA – Poliamida, NI – Não Identificado.

Fonte: A autora, 2024.

#### 4.3.7 Contextos de saúde diversos

Os estudos apresentados na tabela 13 abordaram contextos diversos de saúde relacionados à presença de MPs em tecidos e amostras biológicas. Cada amostra observada teve 1 ocorrência, representando 3,03% do total. As amostras incluem fezes, urina, tecido sinovial de joelho, tecido sinovial de quadril, fígado, rim, baço, pulmão, intestino delgado, intestino grosso, amígdalas, secreção intestinal, secreção nasal, cabelo, pele das mãos, pele do rosto, saliva, bulbo olfatório, balf, sangue, discos intervertebrais, cartilagem articular, tecido ósseo, líquido cefalorraquidiano, efusão pleural, efusão pericárdica, efusão testicular, efusão articular, efusão intrauterina, fluído cístico renal, fluído cístico hepático, fluído cístico pélvico, fluído cístico tireoidiano e fluído cístico da vesícula biliar. A frequência de detecção foi apresentada na Tabela 14. Além disso, alguns estudos integraram análises microbiológicas e exposição ambiental para explorar as interações dos MPs com o organismo humano e seu impacto na microbiota intestinal e nos tecidos.

O estudo de Zhang et al.(91) investigou os efeitos da exposição térmica ao PET nos níveis de MPs nas fezes, microbiota intestinal e metabolômica em humanos. O grupo de exposição apresentou uma média de 24.650 MPs/g nas fezes, enquanto o grupo controle teve 19.645 MPs/g, sem diferença estatisticamente significativa. Após a remoção da exposição, os níveis caíram para 9.805 MPs/g, indicando que a cessação da exposição reduziu significativamente os níveis de MPs ( $p < 0,001$ ). A diversidade microbiana intestinal não apresentou diferenças significativas imediatamente após a cessação da exposição. Contudo, um mês depois, o grupo pós-exposição mostrou redução na diversidade microbiana, sugerindo efeitos prolongados da exposição. A composição das comunidades microbianas também mudou, com aumento de Actinobacteriota e diminuição de Bacteroidota, evidenciando alterações significativas na microbiota intestinal associadas à exposição ao PET. A análise dos metabólitos nas amostras de urina revelou diferenças entre os grupos de exposição e controle. Os resultados mostram que o maior número de metabólitos foi específico para o grupo pós-exposição, mas a maioria dos metabólitos foi comum a todos os três grupos.

O estudo de Li et al.(106) investigou a presença de MPs nas articulações de 45 pacientes submetidos à artroplastia de membros inferiores, com idade média de 62,9 anos e predominância feminina (64,4%). A análise de 343 partículas de MPs nas amostras de sinóvia (articulações de quadril e joelho) revelou uma abundância média de  $5,24 \pm 2,07$  partículas/g,

com partículas predominantemente menores que 50 µm (52,2% das partículas). As MPs identificadas incluíram plásticos como PET, PE e rayon. O estudo destacou uma maior abundância de MPs nas articulações do quadril em comparação ao joelho, com pacientes com osteoartrite apresentando níveis mais elevados de MPs. O estudo também mostrou que a abundância de MPs foi associada a respostas celulares aumentadas ao estresse, mediadas por proteínas de choque térmico, sugerindo implicações potenciais para a saúde humana, como inflamação local e danos teciduais.

O estudo de Horvatits et al.(10) analisou espécimes hepáticos de 2 pacientes do sexo feminino e 4 do sexo masculino, com doenças hepáticas terminais, sendo 4 com doença hepática alcoólica, 1 com hepatite autoimune e 1 com cirrose alcoólica combinada com hepatite C. A idade mediana dos pacientes foi de 56 anos, com IMC médio de 23,9. Todos eram caucasianos e não haviam recebido tratamentos hepáticos anteriores. O grupo controle foi composto por 5 indivíduos sem doença hepática (idade mediana de 67 anos). Foram detectadas 102 partículas de microplástico (MP) em 17 amostras de tecido humano, com concentrações variando entre 0 e 14 partículas por amostra, sendo as mais altas encontradas no fígado de pacientes com cirrose (4,6 a 11,9 partículas por grama de tecido). Em comparação, pacientes sem doença hepática apresentaram concentrações de 0,3 a 1,9 partículas por grama de tecido. A diferença nas concentrações de MP no fígado de pacientes com cirrose foi significativa ( $p = 0,009$ ). As partículas de MP detectadas tinham tamanhos variando de 3,0 a 29,5 µm, com uma mediana de 9,8 µm, e foram compostas por diferentes polímeros como PS, PVC, PET, PMMA, Polioximetileno (POM) e PP. A morfologia das partículas era predominantemente fragmentos, exceto uma microesfera de PS. Os resultados indicam que a doença hepática crônica parece ser um fator chave para o acúmulo de MPs no fígado humano, sugerindo que esse acúmulo pode estar relacionado à patogênese da fibrose hepática ou ser uma consequência da cirrose e hipertensão portal.

No estudo de Zhu et al.(101), MPs foram detectados em todos os tecidos analisados, com maior concentração nos pulmões (14,19 partículas/g), seguidos pelos intestinos (delgado e grosso) e amígdalas. As mulheres apresentaram maior acumulação de MPs (14,81 partículas/g) em comparação aos homens (6,47 partículas/g). Foram identificados 14 tipos de polímeros, com destaque para PVC e polibutileno succinato (PBS). O PVC predominou nos pulmões, intestinos e amígdalas, enquanto o PBS teve maior presença nos intestinos delgado e grosso. Os MPs variaram de 20 a 500 µm, com predominância de partículas entre 20 e 100 µm. Fragmentos e fibras foram as formas mais comuns, dominando nos pulmões e intestinos. A

massa média de MPs nos pulmões foi estimada em 44,37 µg/g, e no intestino grosso, 19,67 µg/g. O acúmulo total nos humanos foi estimado entre 14.230 e 17.091 partículas, com maior concentração nos pulmões. O risco potencial foi avaliado com base no índice PHI (Índice de potencial de risco à saúde), que foi mais alto para PVC (3462,63 no pulmão, 2671,35 na amígdala e 4191,17 no intestino). O PVC apresentou risco significativo devido à sua composição, e o MRL foi estimado para este polímero. A toxicidade dos MPs nos humanos deve ser investigada de forma mais aprofundada em estudos futuros.

O estudo de Zhang et al.(130) envolveu 40 participantes divididos em dois grupos: alta exposição e baixa exposição a MPs, com 20 participantes em cada grupo. As principais diferenças observadas entre os grupos foram nas amostras de secreções intestinais, onde o grupo de alta exposição apresentou um conteúdo significativamente maior de MPs, incluindo poliuretano (PU) e resina de silício (SR). Além disso, o estudo analisou a microbiota nasal e intestinal dos participantes, destacando diferenças significativas na composição bacteriana entre os grupos. O grupo de alta exposição apresentou alterações na abundância de espécies bacterianas específicas, como aumento de Bacteroides e diminuição de Fusobacteriota. A análise de diversidade revelou que a exposição a MPs impacta a composição microbiota, com diferenças significativas nos índices de diversidade entre os grupos de alta e baixa exposição. Esses achados sugerem que a exposição a MPs pode ter implicações na saúde humana, afetando não só a presença desses materiais no corpo, mas também a composição e diversidade das microbiotas nasal e intestinal, o que pode ter consequências para a saúde gastrointestinal e imunológica.

Um estudo revelou que os MPs foram mais abundantes em amostras de cabelo (mais de 7000 MPs), com uma média de 3,5 MPs por indivíduo por dia, enquanto a saliva apresentou a menor quantidade (650 MPs, ou 0,33 MPs por indivíduo). A exposição foi mais prevalente entre os homens (proporção 2:1) e maior em áreas urbanizadas em comparação com vilarejos (136). A maior concentração foi observada na cidade de Bushehr. A variabilidade individual foi significativa, com alguns participantes apresentando grandes quantidades de MPs, enquanto outros não apresentaram MPs em certas amostras. Os MPs observados eram predominantemente fibras, que representaram 91,6% do total. As fibras eram compostas principalmente de polietileno e polietileno tereftalato, polipropileno e outros materiais plásticos. A maioria dos MPs encontrados em cabelo e saliva era de fibras, e as partículas menores (< 100 µm) foram as mais comuns, especialmente na saliva. Esses MPs provêm tanto de fontes primárias (produtos plásticos) quanto secundárias (fragmentos de plásticos

degradados), com origens em ambientes internos e externos, como tecidos e móveis. A exposição aos MPs é generalizada, mas os impactos à saúde humana, tanto agudos quanto crônicos, ainda são desconhecidos. Este estudo destaca a onipresença dos MPs e a importância de monitorar as fontes de exposição, embora seus efeitos para a saúde humana precisem de mais investigação.

No estudo de Amato-Lourenço et al.(137), a mediana de idade dos 15 indivíduos falecidos foi de 69,5 anos, com predominância de homens sobre mulheres. Foram identificadas 16 partículas e fibras de MPs em 8 dos 15 indivíduos. A maioria (75%) eram partículas, sendo 83,4% fragmentos e 16,6% esferas. As fibras representaram 25% das amostras, com um comprimento médio de 21,4  $\mu\text{m}$  e largura média de 3,8  $\mu\text{m}$ . O polímero mais prevalente foi o polipropileno (43,8%), seguido de nylon, poliamida e acetato de polietileno (12,5%). As partículas e fibras apresentaram sinais de intemperismo, com alterações nos espectros  $\mu\text{FTIR}$ , indicando exposição a condições ambientais. A análise dos MPs sugeriu que a via olfatória pode ser uma importante rota de entrada para poluentes plásticos, com potenciais efeitos neurotóxicos, especialmente no contexto de doenças neurodegenerativas.

O estudo de Özgen et al.(83) incluiu 25 pacientes com idade mediana de 61,08 anos ( $\pm 11,14$ ), sendo 15 homens e 10 mulheres, sendo 18 com suspeita de Doença Pulmonar Intersticial (DPI) e 7 controles. Não havia histórico de uso de drogas, dietas específicas ou consumo de álcool. A média da capacidade vital forçada foi de 89,43%  $\pm 26,36$ , e a capacidade de difusão de monóxido de carbono foi de 70,13  $\pm 12,46$  mL/mmHg/min nos pacientes suspeitos de DPI. MPs foram detectados em 55% dos pacientes suspeitos de DPI e em 29% dos controles. A presença de MPs foi confirmada no sangue e no lavado broncoalveolar, com as cores predominantes sendo cinza/branco (46,7% no BALF e 50% no sangue) e preto (33,3% no BALF), sendo partículas a forma predominante. Os tipos de polímeros mais comuns foram poliamida sintética (PA), PET, PVC e PU nas amostras de BALF e PA e PE no sangue. Este estudo é pioneiro na exploração da relação entre DPI e MPs, especialmente em pacientes com fenótipo fibrótico.

No estudo de Yang et al.(78), a presença de MPs nos discos intervertebrais foi confirmada com o uso de Microespectroscopia Raman. Foram detectados MPs em 7 de 8 amostras, com uma média de 61,1 partículas/g, mais abundantes do que no fígado (4,6 partículas/g) e no baço (1,1 partículas/g). Os MPs eram compostos principalmente por fragmentos, com tamanhos médios de 159,5 $\mu\text{m}$ , variando de 25,44 $\mu\text{m}$  a 377,24 $\mu\text{m}$ . Polímeros predominantes incluíram PP, Etileno Acetato de Vinila (EVA), PS, PA, PBS, sendo os maiores os

de PP e PBS ( $>100\mu\text{m}$ ). Na cartilagem os Mps foram encontrados em em 7 de 8 amostras de cartilagem, com uma média de 26,4 partículas/g, menor do que nos discos intervertebrais. A morfologia foi predominantemente de fragmentos, com o tamanho médio de  $87,5\mu\text{m}$ . Os principais polímeros identificados foram EVA, PP e PS. Enquanto no tecido ósseo, a análise das amostras revelou 11 MPs em 6 de 8 amostras, com uma abundância média de 22,9 partículas/g. A maioria dos MPs foi composta por fragmentos (55%), fibras (36%) e microesferas (9%), com tamanho médio de  $138,86\mu\text{m}$ . Os polímeros mais prevalentes foram PP, PS e EVA. Diversos fatores como idade, IMC, ocupação e hábitos relacionados ao uso de cosméticos e consumo de alimentos embalados foram analisados, mas não foram encontradas correlações estatísticas significativas com os níveis de MPs nos tecidos ( $P > 0,05$ ).

O estudo de Guan et al.(115) investigou a presença de micropartículas em fluidos corporais humanos e suas características. Um sistema de controle de qualidade foi implementado para garantir a precisão da detecção de partículas, com 702 micropartículas detectadas em 13 tipos de fluidos corporais. As partículas foram classificadas em 5 grupos: materiais sintéticos, compostos de ferro, minerais sem ferro, compostos orgânicos e não identificados. A maioria das micropartículas detectadas foi de materiais sintéticos, com destaque para poliestireno e polietileno. O estudo identificou MPs como polipropileno, poliestireno, polietileno e outros, encontrados no sangue e em efusões. O tamanho das micropartículas variou de  $2,15\ \mu\text{m}$  a  $103,27\ \mu\text{m}$ , com partículas menores que  $20\ \mu\text{m}$  predominando. As efusões apresentaram partículas de maior tamanho, com uma maior concentração de materiais sintéticos. A densidade das partículas, maior que  $2,5\ \text{g/cm}^3$  na maioria dos casos, influenciou sua distribuição nos fluidos corporais. O estudo também observou que a solubilidade em ácido gástrico afetou a distribuição das micropartículas, com mais partículas solúveis detectadas em efusões e sangue.

Tabela 33 – Caracterização de estudos sobre exposição a microplásticos e outros contextos de saúde (continua).

Autor	País	nº. participantes	nº. amostras	Características dos participantes
Zhang et al. (2024)	China	60	174 (87 amostras de fezes. 87 amostras de urina.)	Estudantes de pós-graduação, com idade média de 26,15 anos, divididos em grupo de exposição (30 participantes), grupo controle (30 participantes) e grupo pós-exposição (27 participantes). Nenhum dos participantes apresentava condições como diabetes, doenças inflamatórias intestinais ou infecções.
Li et al. (2024)	China	45	45 (32 amostras de tecido sinovial de joelho e 13 de quadril)	Pacientes com idade média de 62,9 ± 11,1 anos, dos quais 64,4% eram mulheres. Os diagnósticos abrangiam osteoartrite de joelho (KOA), artrite reumatoide de joelho (KRA), osteoartrite de quadril (HOA) e necrose osteocondral da cabeça femoral (ONFH).
Horvatits et al. (2022)	Alemanha	11	17 amostras (11 de fígado, 3 de rim, 3 de baço)	Pacientes com doença hepática em estágio terminal e indivíduos saudáveis no grupo controle. Entre os pacientes com cirrose, a idade média foi de 56 anos, com predominância masculina (4 homens e 2 mulheres). No grupo controle, a idade média foi de 67 anos, composto por 4 homens e 1 mulher.
Zhu et al. (2024)	China	41	41 amostras (Pulmão: 14 amostras Intestino delgado (pequeno): 10 amostras Intestino grosso (grande): 11 amostras Amígdalas: 6 amostras)	Informações detalhadas sobre a idade não estavam disponíveis. As condições de saúde dos doadores incluíam tumores malignos, pneumonia, enterite, rinite alérgica e inflamação.
Zhang et al. (2022)	China	40	80 (40 amostras de secreção intestinal, 40 amostras de secreção nasal)	Homens e mulheres com idades entre 18 e 65 anos, sem histórico de doenças nasais, digestivas ou respiratórias crônicas. Os participantes viviam e trabalhavam há mais de três anos em áreas de alta exposição a MPs (trabalhadores de fábrica de plásticos) ou baixa exposição (residentes próximos a parque com baixa poluição).

Tabela 13 – Caracterização de estudos sobre exposição a microplásticos e outros contextos de saúde (conclusão).

Abbasi et al. (2021)	Irã	2000	8.000 amostras: Cabelo (2.000) Pele das mãos (2.000) Pele do rosto (2.000) Saliva (2.000)	Adultos de diversas regiões urbanas e rurais, com exposição a MPs por meio de atividades diárias em diversos ambientes.
Amato-Lourenço et al. (2024)	Brasil	15	15 amostras bulbo olfatório	Adultos, sendo 12 homens e 3 mulheres. Foram excluídos indivíduos com histórico de intervenções neurocirúrgicas.
Alpaydin et al. (2024)	Turquia	25	50 (25 amostras de lavagem broncoalveolar e 25 de sangue periférico)	Pacientes, com idade média de 61,08 anos, sendo 15 homens e 10 mulheres. Fumantes e ex-fumantes representavam 52% do grupo. Os diagnósticos variaram entre doenças pulmonares crônicas, incluindo DPI fibrosante.
Yang et al. (2024)	China	16	24 amostras de tecidos: 8 discos intervertebrais 8 amostras de cartilagem articular 8 amostras de tecido ósseo	Pacientes diagnosticados com doença degenerativa do disco ou osteoartrite, submetidos a cirurgias ortopédicas. A idade dos participantes não foi especificada detalhadamente.
Guan et al. (2023)	China	104	192 amostras (Sangue total: 104; líquido cefalorraquidiano: 8; efusão pleural: 8; efusão pericárdica: 8; efusão testicular: 8; efusão articular: 8; efusão intrauterina: 8; fluído cístico renal: 8; fluído cístico hepático: 8; fluído cístico pélvico: 8; fluído cístico tireoidiano: 8; fluído cístico da vesícula biliar: 8)	Pacientes com idades entre 24 e 96 anos, submetidos a tratamentos médicos em quatro hospitais na China

Fonte: A autora, 2024.

Tabela 14 – Presença de microplásticos e outros contextos de saúde (continua).

<b>Autor</b>	<b>Técnicas de Análise</b>	<b>Tipos de MPs</b>	<b>Frequência</b>	<b>Quantidade</b>
Zhang et al. (2024)	LDIR e LC-MS/MS	-	Grupo de exposição: 30/30 (100%). Grupo controle: 30/30 (100%). Grupo pós-exposição: 27/27 (100%).	Grupo exposição: 24.650 partículas/g; Grupo pós-exposição: 9.805 partículas/g; Grupo controle: 19.645 partículas/g
Li et al. (2024)	$\mu$ -FTIR, SEM e $\mu$ Raman	PET, PE, RA, PES, PP, PA, PVC, PS, PC	Joelho: 32/32 (100%). Quadril: 13/13 (100%)	Média de 5,24 $\pm$ 2,07 partículas/g (variação de 1,16 a 10,77 partículas/g)
Horvatits et al. (2022)	$\mu$ Raman	PS, PVC, PET, POM, PMMA, PP, indefinido = 9	Fígado (c/cirrose): 6/6 (100%) Fígado (s/cirrose): 0/5 (0%) Rim: 0/3 (0%) Baço: 0/3 (0%)	Fígado cirrótico: média de 8,3 partículas/g; Fígado não cirrótico: média de 1,0 partículas/g
Zhu et al. (2024)	LDIR	PVC, PBS, PA, PET, PP, PU, PS, PSF, PC, PE, PE-C, PAM, PMMA, POM	Pulmões: 14/14 (100%). Intestino delgado: 16/16 (100%). Intestino grosso: 16/16 (100%). Amígdalas e adenoides: 12/12 (100%).	Pulmões: 14,19 $\pm$ 14,57 partículas/g; Intestino delgado: 9,45 $\pm$ 13,13 partículas/g; Intestino grosso: 7,91 $\pm$ 7,00 partículas/g; Amígdalas: 6,03 $\pm$ 7,37 partículas/g
Zhang et al. (2022)	LDIR	PU, SR, EVA, PE	20/20 (100%)	Quantidade não especificada
Abbasi et al. (2021)	$\mu$ Raman	PE, PET, PP, PS, PVC, PET-PE	100%	Pele do rosto: 4.265 partículas Pele das mãos: 4.051 partículas Cabelos: 7.462 partículas Saliva: 645 partículas

Tabela 14 – Presença de microplásticos e outros contextos de saúde (conclusão).

Amato-Lourenço et al. (2024)	μFTIR	PP, PA, PVA, PE, Perlon, Mistura de lã c/ PP	8/15 (53%)	Total de 16 partículas identificadas; média de 2 MPs por bulbo em amostras positivas
Alpaydin et al. (2024)	μRaman	PC, PE, PU, PAM, PVC, PET, PP, PA; Sangue: PA e PET	BALF (suspeita de DPI): 10/18 (55%). BALF (Grupo controle): 2/7 (29%). Sangue: 1/25 (4%).	Variação de 1 a 4 por amostra
Yang et al. (2024)	μRaman	Discos intervertebrais: PP, EVA, PS, PA, PBS Cartilagem: EVA, PP, PS, PHA. Osso: PP, PS, EVA, PU, PET, PC.	Disco intervertebral: 7/8 (88%); Cartilagem: 7/8 (88%); Osso: 6/8 (75%).	Discos intervertebrais: média de 61,1 ± 44,2 partículas/g; Cartilagem: média de 26,4 ± 17,6 partículas/g; Osso: média de 22,9 ± 15,7 partículas/g.
Guan et al. (2023)	μRaman	PP, PS, PTFE, PVB, PA6, PEBD, PEAA, PSAN e PVA	Sangue total: 72/104 (69%). Líquido cefalorraquidiano (LCR): 4/8 (50%). Efusão pleural: 5/8 (63%). Efusão pericárdica: 6/8 (75%). Efusão testicular: 3/8 (38%). Efusão articular: 4/8 (50%). Efusão intrauterina: 3/8 (38%). Fluido cístico renal: 5/8 (63%). Fluido cístico hepático: 4/8 (50%). Fluido cístico pélvico: 3/8 (38%). Fluido cístico tireoidiano: 2/8 (25%). Fluido cístico da vesícula biliar: 3/8 (38%).	Média de 29 a 80 partículas por fluido.

Legenda: PET – Polietileno Tereftalato, PE – Polietileno, RA – Resina Acrílica, PES – Poliéster, PP – Polipropileno, PA – Poliamida, PVC – Policloreto de Vinila, PS – Poliestireno, PC – Policarbonato, POM – Poliacetal, PMMA – Polimetilmetacrilato, PBS – Polibutileno Succinado, PU – Poliuretano, PSF – Polissulfona, PE-C – Polietileno Clorado, PAM – Poliacrilamida, EVA – Etileno Vinil Acetato, SR – Silicone Rubber (Borracha de Silicone), PET-PE – Polietileno Tereftalato revestido com Polietileno, Perlon – Poliamida 6, PHA – Polihidroxialcanoatos, PTFE – Politetrafluoretileno, PVB – Polivinil Butiral, PA6 – Poliamida 6, PEBD – Polietileno de Baixa Densidade, PEAA – Copolímero de Polietileno com Ácido Acrílico, PSAN – Poliestireno Acrilonitrila, PVA – Álcool Polivinílico. Fonte: A autora, 2024.

#### 4.4 Métodos e técnicas de análises de microplásticos

Com base nos 66 estudos, foi identificado um fluxograma para a análise de MPs em tecidos, que segue uma série de etapas essenciais para garantir que a amostra seja adequadamente preparada e que os MPs sejam corretamente identificados e quantificados. O processo começa com a coleta da amostra, que é realizada de acordo com técnicas padronizadas, variando conforme a origem da amostra. Após a coleta, a amostra é cuidadosamente armazenada, geralmente em frascos fechados e em condições de temperatura controlada ou congelada, a fim de evitar contaminação ou degradação.

A preparação da amostra inclui, em alguns casos, a secagem das amostras antes do início da análise. Em seguida, a amostra é pesada para garantir o controle da quantidade analisada. Para a digestão da matriz biológica (como células, proteínas e lipídios), são usados reagentes químicos como peróxido de hidrogênio ( $H_2O_2$ ) ou ácidos concentrados (por exemplo, ácido clorídrico ou hidróxido de sódio). Esse processo visa separar os MPs da matéria orgânica presente na amostra.

Após a digestão, a solução resultante é centrifugada para separar os MPs das substâncias dissolvidas. Em alguns protocolos, a decantação das frações mais leves ou pesadas pode ser aplicada, com base na densidade dos MPs. Técnicas adicionais, como o uso de soluções salinas densas (ex: cloreto de sódio ou cloreto de zinco), podem ser empregadas, uma vez que os MPs possuem uma densidade inferior à da maioria dos outros componentes presentes na amostra.

A solução final é então filtrada, utilizando filtros de poros específicos (geralmente entre 10  $\mu m$  e 1  $\mu m$ ) para capturar as partículas de microplástico. Essa etapa de filtração também ajuda a concentrar os MPs, facilitando a análise subsequente. A identificação e contagem dos MPs é realizada por meio de técnicas de microscopia óptica, adequadas para partículas maiores, ou por microscopia eletrônica de varredura, que permite a visualização de partículas menores ou mais difíceis de distinguir. Em algumas abordagens, corantes podem ser usados para destacar as partículas de microplástico sob o microscópio, ou, em casos específicos, as partículas podem ser marcadas com substâncias fluorescentes para facilitar sua detecção.

Por fim, a análise da composição química dos MPs é realizada utilizando técnicas como a Espectroscopia de Infravermelho com Transformada de Fourier (FTIR) ou a Espectrometria de Massa (incluindo EDX e Raman), que permitem identificar os polímeros presentes nas partículas e fornecer informações sobre sua composição detalhada.

Nessa revisão, os métodos de digestão utilizados variaram amplamente conforme o tipo

de amostra e a necessidade de preservar os MPs. Entre os reagentes mais utilizados destacam-se o  $\text{H}_2\text{O}_2$ , ácido nítrico ( $\text{HNO}_3$ ), hidróxido de potássio (KOH), reagente de Fenton, enzimas digestivas, combinações de reagentes e métodos alternativos. O  $\text{H}_2\text{O}_2$  foi amplamente empregado em concentrações de 30%, com temperaturas de 30°C a 65°C e tempos de exposição variando de horas a dias (9,80,83,93,96,105,106,119,123,128). O  $\text{HNO}_3$ , usado em concentrações de 65–68%, foi frequentemente associado a aquecimento (70°C a 110°C) para eliminar matéria orgânica (82,84,90,98,99,102,103,103,111,131). Já o KOH foi utilizado em concentrações de 10% a 30%, com temperaturas entre ambiente e 60°C, permitindo a dissolução de matéria orgânica sem danificar os MPs (85,100,101,109,118,120–122,125,129,135,138). O reagente de Fenton, combinando  $\text{H}_2\text{O}_2$  com catalisadores como ferro, foi aplicado para digestão oxidativa em temperaturas inferiores a 50°C (76,78,90,93,123). Enzimas como Proteinase K e Corolase® foram usadas para digestão de proteínas sob condições controladas de pH e temperatura (11,95,116,137). Protocolos combinando reagentes, como  $\text{HNO}_3$  seguido de  $\text{H}_2\text{O}_2$  ou KOH com NaClO, buscaram otimizar a remoção de matéria orgânica (10,99,115,125,133,134). Outros métodos envolveram soluções alcalinas e oxidantes específicas, como hidróxido de sódio e cloreto de zinco ( $\text{ZnCl}_2$ ), para digestão seletiva (81,86,87,97,127,136).

Enquanto dentre os métodos de filtração, membranas de materiais como fibra de vidro, PTFE, alumínio e prata foram amplamente utilizadas para capturar partículas menores (10,11,76,78,81,83,87,89,90,96,100,103,105,108,116,117,121,122,132,137). Enquanto membrana de aço inoxidável foi utilizada frequentemente para partículas maiores, com tamanhos de poros variando de 10 a 50  $\mu\text{m}$ , oferecendo boa resistência mecânica (9,84,98,102,111,133,138). Fibras de vidro com porosidades entre 0,7  $\mu\text{m}$  e 1,6  $\mu\text{m}$  foram empregados para filtração de partículas após digestão química (83,85,87,93,113,114,118,120,123,135). A filtração por vácuo foi comum em diversos estudos, associada a filtros de alumínio, PTFE, fibra de vidro ou aço inoxidável, para melhorar a eficiência da separação (9,76,85,86,105,130).

O processo de separação por densidade complementou a filtração em alguns casos, utilizando soluções como  $\text{ZnCl}_2$  ou iodeto de sódio para pré-concentrar partículas (30), (37), (42), (64). Alguns estudos empregaram métodos de flotação e centrifugação para melhorar a separação e concentração dos MPs antes da filtração (95,99,110,125,136). Medidas para reduzir a contaminação incluíram uso de água ultrapura, filtros tratados termicamente, e análises em ambientes controlados, como câmaras limpas (11,77,85,87,112). Alguns estudos não utilizaram

filtração direta, empregando técnicas como microscopia direta, secagem em placas de vidro, ou extração em fase sólida (82,92,104,110).

Com base em 66 estudos analisados, as técnicas de análise empregadas para a detecção de MPs em amostras biológicas humanas demonstram uma diversidade significativa de abordagens, que incluem várias formas de combinação das técnicas existentes, como foi apresentado nas Tabelas 2, 4, 6, 8, 10, 12 e 14. Essas técnicas têm como objetivo não apenas identificar a presença de MPs, mas também caracterizar sua composição química e interações com tecidos biológicos. A técnica mais amplamente utilizada foi a microscopia Raman ( $\mu$ Raman), empregada em 21,98% dos estudos analisados (Gráfico 3). Esta abordagem é fundamental para a identificação de MPs, especialmente em partículas ultra finas, com tamanho inferior a 1 micrômetro, permitindo a análise precisa de compostos como poliestireno e poliamida. Sua capacidade de detectar MPs em matrizes biológicas complexas, como sangue e tecidos, torna-a uma ferramenta valiosa para a análise de amostras biológicas.

Logo após, a  $\mu$ FTIR foi aplicada em 18,68% dos estudos, destacando-se como uma das técnicas mais utilizadas para caracterizar a composição dos MPs. A FTIR microscópica permite a detecção de partículas pequenas e proporciona uma identificação precisa de polímeros específicos, como PET, PP e PS. Sua utilização em amostras biológicas complexas, como placenta e tecidos, é uma vantagem significativa na análise de MPs em ambientes humanos.

A espectroscopia de infravermelho direto a laser (LDIR), presente em 16,48% dos estudos, também se destacou como uma técnica de rápida aplicação, útil para identificar MPs em amostras respiratórias e fecais sem a necessidade de extensos tratamentos químicos. Sua capacidade de realizar análises diretas e rápidas é um fator importante para a triagem de MPs, especialmente em estudos que requerem agilidade no processo analítico.

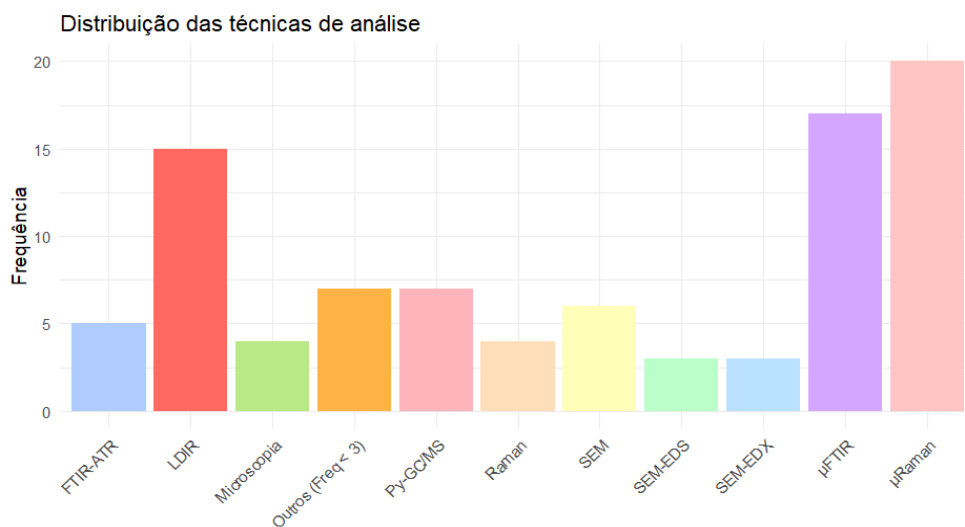
Outras técnicas também mostraram uma aplicação considerável. A espectroscopia por FTIR-ATR, empregada em 5,49% dos estudos, se destaca pela sua capacidade de analisar a composição química dos MPs através da identificação das vibrações moleculares características dos polímeros. A pirólise acoplada à cromatografia gasosa e espectrometria de massa (Py-GC/MS), usada em 7,69% dos estudos, é uma técnica altamente eficaz para decompor os polímeros em seus componentes voláteis e confirmar a composição química dos MPs, sendo particularmente útil quando se busca uma análise detalhada e precisa.

A microscopia eletrônica de varredura, utilizada em 6,59% dos estudos, é outra técnica de destaque, principalmente quando associada a métodos complementares como a espectroscopia de dispersão de energia (EDS) e a fluorescência de raios-X com energia

dispersiva (EDX). Essas abordagens permitem análises morfológicas detalhadas das partículas, assim como a identificação elementar, possibilitando distinguir MPs de origem sintética de materiais naturais. O SEM também foi associado à microscopia eletrônica de transmissão (TEM), que aparece em 2,20% dos estudos. A TEM, devido à sua resolução extremamente alta, é crucial para investigar MPs ultrafinos e suas interações intracelulares, como as interações com mitocôndrias e membranas celulares.

Embora com menor frequência, a microscopia óptica convencional foi empregada em 4,40% dos estudos para triagem inicial, ajudando a identificar MPs de forma simples e rápida. Além disso, técnicas como a microscopia eletrônica de varredura acoplada à dispersão de raios-X (VP-SEM-dEDS) e a espectrometria de massa acoplada à cromatografia líquida (LC-MS/MS), presentes em 1,10% dos estudos cada, foram usadas para caracterizar e quantificar os MPs, embora sua aplicação tenha sido mais restrita.

Gráfico 3 – Distribuição das técnicas de análise utilizadas



Fonte: A autora, 2024.

#### 4.4.1 Limitações das técnicas de análise

Os estudos analisados apresentaram diversas limitações relacionadas à detecção e caracterização de microplásticos e NPs, refletindo os desafios técnicos e metodológicos enfrentados na área. A detecção foi limitada pelo tamanho das partículas analisadas, com técnicas como espectroscopia Raman, FTIR e LDIR restringindo a análise a partículas maiores

de 1  $\mu\text{m}$  (79,99,121,122,135), 5  $\mu\text{m}$  (83,98,105), 20  $\mu\text{m}$  (80,94,101,102,131) ou até 50  $\mu\text{m}$  (9,86), comprometendo a avaliação de partículas menores e NPs. A contaminação ambiental também representou um desafio significativo, mesmo com controles rigorosos, sendo observada durante a coleta e preparação das amostras (90,107,119,134), além de potenciais contaminações cruzadas em métodos de digestão química e filtração (10,111,115,126).

A identificação de polímeros foi prejudicada pela semelhança espectral entre diferentes polímeros, como PET e PES (96,128), e pela falta de análises químicas detalhadas em alguns estudos (123,136). Além disso, pequenos tamanhos amostrais (109,115,129) e perdas de partículas menores durante o preparo (85,106,124) contribuíram para a subestimação dos resultados. Limitações na visualização e localização das partículas também foram relatadas, com técnicas como microscopia estereoscópica incapazes de determinar a posição exata dos MPs em tecidos (117,124) e métodos como SEM e FTIR apresentando baixa sensibilidade para partículas nanométricas (92,110,126).

Por fim, métodos específicos como Py-GC/MS (11,103,110), espectroscopia Raman (80,89,117) e LDIR (102,134) apresentaram limitações distintas, como destruição das amostras, interferências de fluorescência biológica e restrições de tamanho. De forma geral, a análise revelou que nenhuma técnica atual aborda integralmente a detecção e caracterização de MPs e NPs. Assim, destaca-se a necessidade de desenvolver métodos mais sensíveis, padronizados e abrangentes para superar essas lacunas e melhorar a confiabilidade dos resultados.

#### 4.4.2 Práticas de controle de contaminação ambiental e metodológica em pesquisas sobre microplásticos

Nos estudos revisados, o uso de ambientes controlados foi amplamente implementado para minimizar a contaminação durante a análise de MPs. Técnicas como filtros HEPA (Ar Particulado de Alta Eficiência) para controle de partículas suspensas no ar (9,80,84,97,112), capelas de fluxo laminar (76,101,107,108,114,117,129), e salas limpas dedicadas à coleta e processamento das amostras foram descritas para garantir condições estéreis. Em muitos casos, blanks negativos foram usados para monitorar a integridade ambiental durante os experimentos (100,107).

A implementação de protocolos de controle ambiental rigorosos se mostrou uma prática padrão na maioria dos estudos, refletindo a necessidade de evitar a introdução de contaminantes

durante a coleta e análise das amostras biológicas, assegurando que os MPs identificados fossem de origem genuína e não provenientes do ambiente de trabalho.

Além disso, o uso de vestuário adequado foi amplamente adotado para minimizar a contaminação cruzada durante a manipulação das amostras de MPs. A maioria dos estudos destacou o uso de jalecos de algodão e luvas de nitrilo sem pó (80,84,98,101,111,117,120), juntamente com outros equipamentos de proteção, como máscaras faciais (83) e aventais descartáveis (89,94). Esses itens foram essenciais para evitar a introdução de fibras plásticas ou outros contaminantes durante a coleta e processamento das amostras.

A substituição de utensílios plásticos por materiais não plásticos também foi uma medida comum, relatada como essencial para evitar a contaminação por MPs (80,82,98,101,112). Recipientes de vidro e ferramentas metálicas foram usados de forma consistente em todas as etapas do processamento e análise das amostras, desde a coleta até o armazenamento, garantindo a integridade dos resultados (89,107,113,124). Vidrarias e membranas metálicas substituíram plásticos descartáveis, como ponteiros de pipetas e frascos de armazenamento, eliminando a possibilidade de introdução acidental de partículas plásticas durante os experimentos (105,108,137).

Os procedimentos de limpeza também foram destacados, com o uso de reagentes químicos ultrapuros, como ácido nítrico e água ultrapura, para garantir a descontaminação eficaz dos equipamentos e amostras (80,84,96,112). Muitos protocolos incluíram lavagem com álcool 70% e o uso de soluções filtradas para remover resíduos de partículas plásticas (87,117,120,132). Além disso, os estudos frequentemente usaram filtros de alta precisão, como os de 0,22 µm, para preparar reagentes e soluções, eliminando a possibilidade de contaminação durante a manipulação das amostras (81,109,136).

Os procedimentos de controle de contaminação também enfatizaram o uso consistente de blanks (amostras de controle em branco) em todas as etapas do processo, desde a coleta até a análise, para garantir a confiabilidade dos resultados analíticos e validar os métodos usados (80,81,112,135). Esses controles negativos foram cruciais para identificar possíveis interferências ou contaminações cruzadas (82,120,137), e o controle ambiental foi reforçado com medições de qualidade do ar e blanks ambientais, assegurando que os MPs detectados fossem exclusivamente oriundos das amostras e não do ambiente de trabalho (87,97,136).

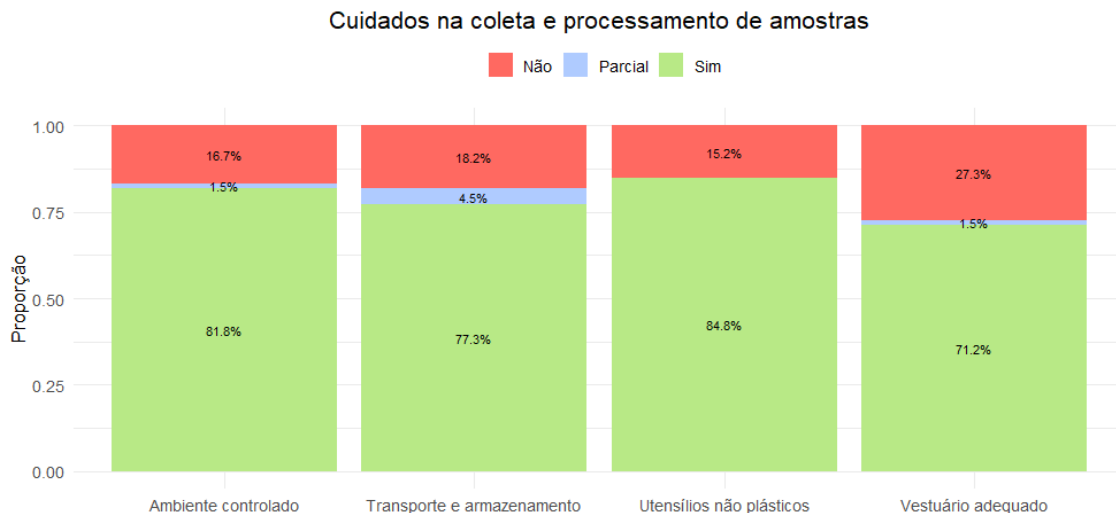
A utilização de blanks, em combinação com validações processuais contínuas, foi empregada para monitorar contaminações nas etapas críticas, como o preparo das amostras e o uso de equipamentos (11,101,132). Essa abordagem garantiu a integridade dos resultados e a

confiabilidade dos dados obtidos (104,128,129).

Quanto ao transporte e armazenamento das amostras, os estudos demonstraram um compromisso consistente com o uso de recipientes de vidro selados, muitas vezes com tampas de alumínio, para isolar as amostras de fontes externas de contaminação (80,98,111,127). Protocolos rigorosos também incluíram a esterilização dos frascos de vidro e o uso de condições controladas, como transporte refrigerado, para preservar a integridade das amostras durante todo o processo (76,83,115).

Além disso, foi enfatizada a importância de evitar o contato das amostras com materiais plásticos, utilizando exclusivamente recipientes inertes e apropriados em todas as etapas do manuseio (118,123,125). Essa prática assegurou que os dados obtidos fossem representativos das condições reais, sem interferências de MPs provenientes de materiais de armazenamento inadequados (87,95,107). De forma geral, os cuidados descritos nos estudos, incluindo o transporte e armazenamento rigorosos das amostras, foram essenciais para garantir a confiabilidade das análises e a padronização metodológica na pesquisa sobre MPs (84,108,129). No entanto, alguns estudos não relataram ou relataram parcialmente os procedimentos realizados, como é apresentado na gráfico 4.

Gráfico 4 – Frequência das informações disponíveis sobre os cuidados na coleta e processamento de amostras nos estudos.



Fonte: A autora, 2024.

#### 4.5 Limitações dos estudos

Os estudos sobre MPs apresentam diversas limitações que comprometem a representatividade, a precisão metodológica e a abrangência dos resultados. O pequeno tamanho amostral foi uma das restrições mais comuns, destacada em mais de 20 estudos, sendo insuficiente para análises robustas ou representativas. Além disso, alguns trabalhos enfatizaram a necessidade de aumentar as amostras para avaliar variações regionais e clínicas. Limitações metodológicas também foram recorrentes, especialmente na detecção de partículas menores. Métodos aplicados em estudos frequentemente excluíram nanopartículas, enquanto outros apontaram a necessidade de técnicas mais sensíveis. Contaminação ambiental durante coleta e processamento foi outro desafio relatado, comprometendo a confiabilidade dos resultados.

A ausência de dados importantes também foi evidente. Estudos carecem de informações sobre fontes dietéticas, ocupacionais e ambientais de MPs, bem como de dados longitudinais para investigar efeitos a longo prazo. Além disso, impactos clínicos específicos não foram bem estabelecidos. A generalização dos achados foi limitada por populações específicas ou contextos geográficos restritos, enquanto incertezas sobre os mecanismos de distribuição, bioacumulação e eliminação dos MPs no organismo persistem. Restrição aos tecidos analisados e lacunas em correlações clínicas, como em estudos voltados a doenças arteriais (103) ou disfunção erétil (107), também foram observadas.

#### 4.6 Recomendações e lacunas

Os estudos analisados destacaram importantes recomendações e lacunas a serem abordadas em pesquisas futuras sobre MPs, organizadas por temas principais. A ampliação do tamanho da amostra foi amplamente recomendada (79,80,82,85,86,90,99,102,109,122,124,129,130), incluindo a sugestão de estudos multicêntricos para maior abrangência populacional e diversidade de cenários (84). Em relação aos métodos analíticos, há uma necessidade clara de técnicas mais sensíveis para detectar partículas menores, como NPs (9,76,83,90,101,114,118,131,133), além do desenvolvimento de protocolos padronizados para caracterização de MPs (87,97,132). A exploração de fontes de exposição permanece insuficiente, com estudos recomendando a identificação de origens ambientais, dietéticas e ocupacionais de MPs (97,103,104,116,127,131) e a investigação de

micropartículas exógenas em doenças específicas (117,128,135). Impactos clínicos e toxicológicos foram destacados em diversas áreas, incluindo saúde reprodutiva (77,102,108,120,138), saúde respiratória (79,80,92,95,96,123) e saúde sistêmica (10,11,110,116,130), com necessidade de estudos longitudinais para explorar efeitos de longo prazo. Além disso, entender os mecanismos de ação foi apontado como prioritário, abrangendo a absorção, acúmulo e excreção de MPs no corpo humano (86,106,112,117,121,125) e a investigação de vias causais entre exposição e doenças específicas, como câncer e fibrose hepática (99,110,135). Estudos longitudinais foram recomendados para avaliar os impactos cumulativos e alterações biológicas ao longo do tempo (91,122,126,136,137). Pesquisas sobre contextos específicos, como diferenças entre grupos ocupacionais, faixas etárias e condições ambientais, também foram sugeridas (106,113,128), assim como investigações focadas em condições específicas, como saúde arterial e gastrointestinal (100,103). Por fim, estratégias de prevenção e mitigação foram mencionadas, como evitar o uso repetido de garrafas plásticas para reduzir a exposição materna e infantil a MPs (88,132). De forma geral, as principais lacunas incluem tamanhos amostrais insuficientes, limitando a generalização dos resultados; métodos analíticos inadequados, que não detectam partículas menores; falta de estudos longitudinais para compreender impactos cumulativos e de longo prazo; e exploração limitada de fontes de exposição.

#### **4.7 Conflito de interesses e financiamento dos estudos**

A maioria dos estudos (87,04%) não apresentou conflitos de interesse, indicando que esses estudos não declararam qualquer vínculo que pudesse comprometer sua imparcialidade. Em contraste, apenas 5,56% dos estudos declararam explicitamente um conflito de interesse. Além disso, 7,41% dos estudos não forneceram informações. No entanto, a grande maioria dos estudos foi financiada por fontes públicas, representando 63,64% do total. Apenas uma pequena parte dos estudos recebeu financiamento de fontes mistas, sendo 3,03% financiados por uma combinação de público e privado, e 3,03% exclusivamente por fontes privadas. Além disso, 7,58% dos estudos contaram com financiamento proveniente de fontes públicas e privadas sem fins lucrativos, e 4,55% foram financiados por fontes privadas sem fins lucrativos. Uma parte significativa dos estudos não recebeu financiamento algum, representando 9,09%, enquanto outra fração (também 9,09%) não forneceu informações.

## 5 DISCUSSÃO

Os resultados obtidos nesta revisão oferecem uma visão abrangente sobre a presença e os potenciais impactos dos MPs e NPs em diferentes sistemas biológicos humanos. Diversos estudos, por meio de estudos com animais e *in vitro*, têm demonstrado que os MPs e NPs podem atravessar barreiras biológicas, causando efeitos adversos como inflamação, estresse oxidativo e alterações metabólicas. Os efeitos hepáticos são amplamente descritos na literatura, como os danos oxidativos significativos no fígado de peixes-zebra expostos a PS-NPs em estudo realizado por Deng et al.(139) que analisou os efeitos dos NPs de poliestireno (PS-NPs) no fígado de peixes-zebra adultos. Os resultados indicaram danos oxidativos significativos no fígado, alterações no metabolismo lipídico, na regulação redox, além de uma resposta imunológica alterada em hepatócitos e macrófagos após 28 dias de exposição. Além disso, os impactos hepáticos dos MPs foram analisados por Elsheikh et al.(140), que relataram lesões hepáticas, estresse oxidativo, fibrose e piróptose em ratos machos após seis semanas de exposição a PS-MPs.

Na presente revisão, foi observado que 102 partículas de microplástico (MP) foram detectadas em 17 amostras de fígado, com concentrações variando entre 0 e 14 partículas por amostra, sendo as mais altas encontradas no fígado de pacientes com cirrose (4,6 a 11,9 partículas por grama de tecido). Em comparação, pacientes sem doença hepática apresentaram concentrações de 0,3 a 1,9 partículas por grama de tecido. A diferença nas concentrações de MP no fígado de pacientes com cirrose foi significativa ( $p = 0,009$ ). Estudos como o de Chen et al.(141), sugerem uma resposta inflamatória sistêmica mediada pelos MPs. Nesse estudo foi demonstrado que os PS-NPs induzem inflamação tanto no intestino quanto no fígado por meio da ativação das vias NF- $\kappa$ B/NLRP3. Camundongos BALB/c expostos por 21 dias apresentaram comprometimento da barreira intestinal, permitindo que endotoxinas translocassem para o fígado e intensificassem a inflamação hepática.

A pesquisa sobre microplásticos (MPs) em tecidos humanos aponta para possíveis impactos significativos na saúde. Yang et al. (134) encontraram MPs no miocárdio e outros órgãos, sugerindo uma associação com distúrbios cardíacos e inflamação. Liu et al.(103) observaram MPs nas artérias, com concentrações mais altas nas artérias coronária e carótida, sugerindo um vínculo com aterosclerose e problemas cardiovasculares, incluindo o agravamento de placas ateroscleróticas. Wu et al. (135) associaram MPs em trombos a níveis

elevados de plaquetas, indicando um potencial aumento do risco de trombose. Marfella et al.(104) associaram MPs em placas ateroscleróticas a maior inflamação e risco aumentado de infarto e AVC.

Chen et al. (80) investigaram MPs em tecidos pulmonares de pacientes com nódulos pulmonares de vidro fosco (GGNs), sugerindo que a exposição a esses materiais pode estar relacionada ao desenvolvimento de lesões pulmonares. Baeza-Martínez et al.(92) observaram que mulheres fumantes e pacientes com doenças respiratórias, como DPOC, apresentaram maiores concentrações de MPs, sugerindo um impacto negativo na saúde respiratória. Li et al.(106) identificaram MPs em articulações de pacientes com osteoartrite, associando a presença dessas partículas à inflamação local e ao agravamento da doença. Horvatits et al.(10) detectaram MPs no fígado de pacientes com cirrose, sugerindo que o acúmulo de MPs pode estar relacionado à progressão da fibrose hepática. Finalmente, Amato-Lourenço et al.(137) encontraram MPs em tecidos de indivíduos falecidos, sugerindo uma possível via olfatória de entrada, com implicações neurotóxicas e para doenças neurodegenerativas.

As alterações na microbiota intestinal também foram um tema comum. A presente revisão apresentou estudos que identificaram alterações significativas na composição microbiana intestinal em amostras fecais humanas, similares ao relatado por Wang et al. (142), que encontraram um aumento na colonização por *Aeromonas veronii*, bactéria Gram-negativa, em peixes. Tais alterações podem interferir no metabolismo de lipídeos e aminoácidos, como observado por Sun et al.(143) em camundongos fêmeas que foram expostas a diferentes concentrações de MPs de polietileno (PE-MPs) por 30 dias. Os resultados indicaram redução na secreção de mucina no cólon, alterações na composição da microbiota intestinal, no metabolismo de aminoácidos e aumento de inflamação, evidenciada por níveis elevados de citocinas inflamatórias. A interação entre a microbiota intestinal e o eixo intestino-fígado, destacada por Chen et al.(141), também foi evidente, com comprometimento da barreira intestinal facilitando a translocação de endotoxinas para o fígado. Além disso, Ke et al. (82) sugeriu que a exposição a MPs pode afetar negativamente a diversidade bacteriana intestinal, com correlações observadas entre concentrações elevadas de certos tipos de MPs e menores índices de diversidade bacteriana, o que pode ter implicações para a saúde digestiva e imunológica.

Alguns estudos avançaram para explorar a relação entre MPs e condições de saúde específicas. Por exemplo, o estudo de Yan et al.(90) encontrou concentrações significativamente mais altas de MPs em pacientes com DII em comparação a indivíduos

saudáveis, sugerindo que os MPs podem ter um impacto negativo em condições inflamatórias intestinais. Em um estudo com pacientes com câncer colorretal, foi identificada uma diferença significativa na quantidade de MPs entre tecidos tumorais e não tumorais, o que levanta a hipótese de que a presença de MPs possa estar relacionada ao desenvolvimento ou agravamento de certas doenças.

Os resultados deste estudo sobre a presença de MPs em placentas humanas refletem achados como os de Fournier et al.(144) que demonstrou que a translocação de MP/NPs do ambiente materno para o feto. Nesse estudo, nanopartículas de poliestireno (PS-NPs) passaram da mãe para o feto em ratos, afetando órgãos fetais e reduzindo o peso fetal e placentário, sugerindo que o desenvolvimento fetal é vulnerável à exposição materna. Enquanto nesta revisão, foi visto em Ragusa et al.(112), a detecção de MPs em compartimentos intracelulares e extracelulares. Enquanto em Amereh et al.(109) foi relatado associações entre MPs e restrição de crescimento intrauterino.

No que diz respeito à saúde reprodutiva masculina, outro estudo propôs que os MPs, devido ao seu tamanho microscópico, poderiam atingir o sêmen por processos como endocitose e macropinocitose, afetando estruturas do sistema reprodutor masculino, como as vesículas seminais. Este estudo enfatiza a necessidade de considerar os efeitos inflamatórios causados pela presença de MPs, que podem comprometer a barreira hemato-testicular, importante para a proteção do testículo e a espermatogênese (120). Além disso, foi observada a presença de MPs no fluido folicular, com uma correlação moderada entre a concentração de MPs e o hormônio folículo estimulante (FSH), o que levanta preocupações sobre possíveis desregulações hormonais associadas à exposição crônica a MPs, que podem afetar a fertilidade e a saúde reprodutiva feminina a longo prazo (77). Um estudo com amostras de urina de indivíduos saudáveis e com endometriose revelou uma maior concentração de MPs nas participantes com a condição, sugerindo que a presença dessas partículas pode estar associada a processos inflamatórios relacionados a doenças como a endometriose. Embora a diferença entre os grupos não tenha sido estatisticamente significativa, o aumento do tamanho das partículas nas participantes com endometriose pode indicar um impacto potencial na saúde inflamatória dessas mulheres (119).

Os estudos sobre MPs têm apresentado limitações significativas em relação ao tipo de estudo e à falta de dados mais robustos para confirmar associações entre exposição e impactos à saúde. Muitas dessas investigações possuem caráter preliminar ou piloto, o que compromete a representatividade e a profundidade das conclusões. Além disso, a carência de estudos

longitudinais impede uma avaliação detalhada dos efeitos a longo prazo dos MPs na saúde humana. Uma das limitações mais frequentes foi o pequeno tamanho amostral, citado em mais de 20 estudos analisados. Essa restrição reduz a capacidade de realizar análises estatisticamente robustas e limita a representatividade dos achados, dificultando a generalização dos resultados para populações mais amplas. Além disso, devido às limitações das técnicas analíticas utilizadas nos estudos incluídos, partículas menores que 1  $\mu\text{m}$  foram frequentemente subestimadas. Isso restringe a compreensão dos potenciais impactos dos NPs e distribuição no corpo humano.

Os estudos analisados apresentam lacunas significativas, como a insuficiência de tamanhos amostrais, que compromete a representatividade populacional e a generalização dos resultados. Poucos estudos exploraram fontes de exposição, como origens ambientais, dietéticas e ocupacionais, enquanto os impactos clínicos e toxicológicos foram abordados de forma limitada.

Estudos futuros devem ampliar tamanhos amostrais, incluir cenários diversificados e realizar investigações multicêntricas para maior representatividade. É essencial desenvolver métodos analíticos mais sensíveis para NPs e protocolos padronizados. Recomenda-se explorar detalhadamente fontes de exposição, investigar impactos clínicos em sistemas biológicos e mecanismos de ação, incluindo estudos longitudinais sobre efeitos cumulativos. Além disso, estratégias preventivas, como reduzir o uso de plásticos, devem ser avaliadas para subsidiar políticas públicas eficazes.

O processo de revisão de escopo aqui descrito buscou mapear sistematicamente as evidências sobre a presença de MPs em tecidos humanos e seus potenciais impactos à saúde. No entanto, algumas limitações específicas e desvios do protocolo influenciaram a extensão das informações descobertas. A revisão incluiu estudos com diferentes delineamentos, populações e técnicas analíticas, resultando em dados altamente heterogêneos. Essa variação reduziu a comparabilidade dos resultados e dificultou a identificação de padrões claros sobre a distribuição, características e impactos dos MPs em tecidos humanos. Além disso, embora a busca tenha sido abrangente, incluindo múltiplas bases de dados e fontes de literatura cinza, alguns estudos relevantes podem ter sido omitidos devido a fatores como falta de acesso e variações nos termos usados pelos autores. Os estudos incluídos enfrentaram desafios significativos relacionados à contaminação ambiental durante a coleta e análise das amostras, especialmente considerando a ubiquidade dos MPs no ambiente. Essa contaminação pode ter influenciado a precisão dos resultados relatados, refletindo-se na revisão.

A detecção de MPs e NPs em diversos tecidos humanos, indica um problema emergente de exposição a MPs e reforça a urgência de avaliar os riscos associados aos MPs, especialmente em populações vulneráveis. Ao integrar dados sobre contaminantes ambientais e saúde humana, a revisão reforça a conexão entre epidemiologia ambiental e a saúde pública. Esse campo crescente se alinha com os Objetivos de Desenvolvimento Sustentável (ODS), promovendo saúde global e sustentabilidade. Assim, a revisão é importante porque não apenas documenta a presença dos MPs no corpo humano, mas também fornece um ponto de partida para pesquisas futuras.

## CONCLUSÃO

Os estudos incluíram investigações em diversos contextos, como hospitais, laboratórios e comunidades, com países como China, Estados Unidos e Itália liderando as contribuições científicas. Foram analisados tecidos e fluidos humanos variados, incluindo placenta, pulmão, fezes, sangue e leite materno, utilizando uma grande variação nos métodos utilizados para detectar MPs, com predominância de técnicas como Raman, FTIR, e LDIR.

A presença de MPs foi amplamente confirmada em diferentes tecidos e fluidos humanos. Em certos casos, a presença foi relacionada a hábitos como consumo de alimentos embalados e uso de cosméticos. Alguns estudos relataram alterações celulares e teciduais associadas à presença de MPs, como estresse oxidativo, inflamação e apoptose. Esses efeitos podem contribuir para o desenvolvimento de doenças crônicas e disfunções metabólicas. A exposição a MPs durante a gravidez foi relacionada a alterações na placenta e à possível transferência para o feto. Esses contaminantes também foram detectados no leite materno, levantando preocupações sobre a saúde infantil. Foram observados MPs em tecidos reprodutivos e cardiovasculares, com possíveis implicações para fertilidade, função reprodutiva e desenvolvimento de condições cardiovasculares como aterosclerose. Faltam estudos robustos e longitudinais que explorem os impactos a longo prazo da exposição a MPs na saúde humana, exigindo cautela na interpretação dos resultados.

Os achados sugerem a necessidade de regulamentação mais estrita sobre a produção e descarte de plásticos, visando mitigar a exposição humana a esses contaminantes. Há necessidade de regulamentações mais rigorosas sobre a produção, uso e descarte de plásticos, com foco em minimizar a exposição humana. Além de inclusão de MPs como um possível fator de risco ambiental em avaliações de saúde pública e ocupacional.

Estudos futuros devem priorizar o desenvolvimento de técnicas analíticas mais sensíveis, capazes de detectar partículas menores, como NPs, que são frequentemente subestimadas. Uma revisão sistemática que avalie a qualidade dos estudos e explore associações específicas entre MPs e desfechos de saúde pode fornecer uma visão mais detalhada e aplicável. Investigações sobre a exposição e os impactos dos MPs em grupos vulneráveis, como gestantes, crianças e trabalhadores expostos ocupacionalmente, devem ser realizadas.

A revisão alcançou seus objetivos principais ao mapear a extensão e os tipos de evidências disponíveis sobre MPs em tecidos humanos, sintetizar as técnicas analíticas

utilizadas e identificar potenciais impactos à saúde. No entanto, as lacunas e limitações identificadas reforçam a necessidade de continuar expandindo o conhecimento nesse campo emergente. Em conclusão, esta revisão fornece um ponto de partida valioso para pesquisas futuras, destacando a relevância dos MPs como um contaminante ambiental emergente e suas possíveis implicações para a saúde humana. Os próximos passos devem focar na produção de evidências mais robustas e padronizadas para informar práticas e políticas públicas eficazes.

## REFERÊNCIAS

1. Geyer R, Jambeck JR, Law KL. Production, use, and fate of all plastics ever made. *Sci Adv.* julho de 2017;3(7):e1700782.
2. OECD. Global Plastics Outlook: Economic Drivers, Environmental Impacts and Policy Options [Internet]. Paris: Organisation for Economic Co-operation and Development; 2022 [citado 16 de fevereiro de 2024]. Disponível em: [https://www.oecd-ilibrary.org/environment/global-plastics-outlook\\_de747aef-en](https://www.oecd-ilibrary.org/environment/global-plastics-outlook_de747aef-en)
3. Kane IA, Clare MA, Miramontes E, Wogelius R, Rothwell JJ, Garreau P, et al. Seafloor microplastic hotspots controlled by deep-sea circulation. *Science.* 5 de junho de 2020;368(6495):1140–5.
4. O'Brien S, Rauert C, Ribeiro F, Okoffo ED, Burrows SD, O'Brien JW, et al. There's something in the air: A review of sources, prevalence and behaviour of microplastics in the atmosphere. *Sci Total Environ.* 20 de maio de 2023;874:162193.
5. Peeken I, Primpke S, Beyer B, Gütermann J, Katlein C, Krumpfen T, et al. Arctic sea ice is an important temporal sink and means of transport for microplastic. *Nat Commun.* 24 de abril de 2018;9(1):1505.
6. Kadac-Czapska K, Knez E, Grembecka M. Food and human safety: the impact of microplastics. *Crit Rev Food Sci Nutr.* 2024;64(11):3502–21.
7. Koelmans AA, Mohamed Nor NH, Hermsen E, Kooi M, Mintenig SM, De France J. Microplastics in freshwaters and drinking water: Critical review and assessment of data quality. *Water Res.* 15 de maio de 2019;155:410–22.
8. Sharma S, Sharma B, Dey Sadhu S. Microplastic profusion in food and drinking water: are microplastics becoming a macroproblem? *Environ Sci Process Impacts.* 20 de julho de 2022;24(7):992–1009.
9. Braun T, Ehrlich L, Henrich W, Koepfel S, Lomako I, Schwabl P, et al. Detection of microplastic in human placenta and meconium in a clinical setting. *Pharmaceutics* [Internet]. 2021;13(7). Disponível em: <https://www.embase.com/search/results?subaction=viewrecord&id=L2007691736&from=export>
10. Horvatits T, Tamminga M, Liu B, Sebode M, Carambia A, Fischer L, et al. Microplastics detected in cirrhotic liver tissue. *EBioMedicine.* agosto de 2022;82:104147.
11. Leslie HA, van Velzen MJM, Brandsma SH, Vethaak AD, Garcia-Vallejo JJ, Lamoree MH. Discovery and quantification of plastic particle pollution in human blood. *Environ Int.* maio de 2022;163:107199.
12. Du J, Hu Y, Li Z, Zhou J, Xiang F, Zheng H, et al. Toxicity of Polystyrene Nanoplastics in the Liver and Intestine of Normal and High-Fat-Diet Juvenile Zebrafish. *Environ Toxicol Chem.* janeiro de 2024;43(1):147–58.

13. Florance I, Chandrasekaran N, Gopinath PM, Mukherjee A. Exposure to polystyrene nanoplastics impairs lipid metabolism in human and murine macrophages in vitro. *Ecotoxicol Environ Saf.* 15 de junho de 2022;238:113612.
14. Liu J, Zhang L, Xu F, Meng S, Li H, Song Y. Polystyrene Microplastics Postpone APAP-Induced Liver Injury through Impeding Macrophage Polarization. *TOXICS.* dezembro de 2022;10(12).
15. Avazzadeh Samani F, Meunier L. Interactions of microplastics with contaminants in freshwater systems: a review of characteristics, bioaccessibility, and environmental factors affecting sorption. *J Environ Sci Health Part A Tox Hazard Subst Environ Eng.* 2023;58(3):222–35.
16. Zuo C, Li Y, Chen Y, Jiang J, Qiu W, Chen Q. Leaching of heavy metals from polyester microplastic fibers and the potential risks in simulated real-world scenarios. *J Hazard Mater.* 5 de janeiro de 2024;461:132639.
17. Miranda D, Mello M, Zogaib P. PLÁSTICOS BIODEGRADÁVEIS. 2018;
18. Marcolin N. Pesquisa FAPESP. 2006 [citado 6 de janeiro de 2025]. A era do plástico: Há cem anos era inventada a primeira resina sintética. Disponível em: <https://revistapesquisa.fapesp.br/a-era-do-plastico/>
19. BBC. Oito razões pelas quais o plástico conquistou o mundo. *BBC News Brasil* [Internet]. 2018 [citado 12 de abril de 2024]; Disponível em: <https://www.bbc.com/portuguese/geral-44502689>
20. Yuan X, Wang X, Sarkar B, Ok YS. The COVID-19 pandemic necessitates a shift to a plastic circular economy. *Nat Rev Earth Environ.* outubro de 2021;2(10):659–60.
21. Filho WL, Voronova V, Kloga M, Paço A, Minhas A, Salvia AL, et al. COVID-19 and waste production in households: A trend analysis. *Sci Total Environ.* 10 de julho de 2021;777:145997.
22. Peng Y, Wu P, Schartup AT, Zhang Y. Plastic waste release caused by COVID-19 and its fate in the global ocean. *Proc Natl Acad Sci.* 23 de novembro de 2021;118(47):e2111530118.
23. Piatti TM, Rodrigues RAF. Plásticos: características, usos, produção e impactos ambientais. 2005;
24. Ritchie H, Samborska V, Roser M. Plastic Pollution. *Our World Data* [Internet]. 28 de dezembro de 2023 [citado 6 de janeiro de 2025]; Disponível em: <https://ourworldindata.org/plastic-pollution>
25. UNEP. UNEP - UN Environment Programme. 2023 [citado 4 de junho de 2024]. Chemicals in Plastics - A Technical Report. Disponível em: <http://www.unep.org/resources/report/chemicals-plastics-technical-report>
26. Yee MSL, Hii LW, Looi CK, Lim WM, Wong SF, Kok YY, et al. Impact of Microplastics and Nanoplastics on Human Health. *Nanomaterials.* fevereiro de

- 2021;11(2):496.
27. Carpenter EJ, Smith KL. Plastics on the Sargasso sea surface. *Science*. 17 de março de 1972;175(4027):1240–1.
  28. Ramsperger AFRM, Bergamaschi E, Panizzolo M, Fenoglio I, Barbero F, Peters R, et al. Nano- and microplastics: a comprehensive review on their exposure routes, translocation, and fate in humans. *NanoImpact*. janeiro de 2023;29:100441.
  29. Thompson RC, Olsen Y, Mitchell RP, Davis A, Rowland SJ, John AWG, et al. Lost at Sea: Where Is All the Plastic? *Science*. 7 de maio de 2004;304(5672):838–838.
  30. ISO. Plastics — Environmental aspects — State of knowledge and methodologies [Internet]. 2020 [citado 12 de março de 2025]. Report No.: TR 21960. Disponível em: <https://www.iso.org/standard/72300.html>
  31. Beni NN, Karimifard S, Gilley J, Messer T, Schmidt A, Bartelt-Hunt S. Higher concentrations of microplastics in runoff from biosolid-amended croplands than manure-amended croplands. *Commun Earth Environ*. 20 de fevereiro de 2023;4(1):1–9.
  32. Montagner CC, Dias MA, Paiva EM, Vidal C. MICROPLÁSTICOS: OCORRÊNCIA AMBIENTAL E DESAFIOS ANALÍTICOS. *Quím Nova*. 20 de dezembro de 2021;44:1328–52.
  33. Wright SL, Kelly FJ. Plastic and Human Health: A Micro Issue? *Environ Sci Technol*. 20 de junho de 2017;51(12):6634–47.
  34. Lee J, Jeong S. Approach to an answer to “How dangerous microplastics are to the human body”: A systematic review of the quantification of MPs and simultaneously exposed chemicals. *J Hazard Mater*. 15 de outubro de 2023;460:132404.
  35. Salim SY, Kaplan GG, Madsen KL. Air pollution effects on the gut microbiota: a link between exposure and inflammatory disease. *Gut Microbes*. 2014;5(2):215–9.
  36. Dris R, Gasperi J, Rocher V, Saad M, Renault N, Tassin B. Microplastic contamination in an urban area: a case study in Greater Paris. *Environ Chem*. 21 de julho de 2015;12(5):592–9.
  37. Dris R, Gasperi J, Saad M, Mirande C, Tassin B. Synthetic fibers in atmospheric fallout: A source of microplastics in the environment? *Mar Pollut Bull*. 15 de março de 2016;104(1):290–3.
  38. Niu L, Liu W, Juhasz A, Chen J, Ma L. Emerging contaminants antibiotic resistance genes and microplastics in the environment: Introduction to 21 review articles published in CREST during 2018–2022. *Crit Rev Environ Sci Technol*. 2 de dezembro de 2022;52(23):4135–46.
  39. Abelouah MR, Romdhani I, Ben-Haddad M, Hajji S, De-la-Torre GE, Gaaied S, et al. Binational survey using *Mytilus galloprovincialis* as a bioindicator of microplastic pollution: Insights into chemical analysis and potential risk on humans. *Sci Total Environ*. 20 de abril de 2023;870:161894.

40. Castro RO, Silva ML, Marques MRC, de Araújo FV. Evaluation of microplastics in Jurujuba Cove, Niterói, RJ, Brazil, an area of mussels farming. *Mar Pollut Bull.* 15 de setembro de 2016;110(1):555–8.
41. Li J, Green C, Reynolds A, Shi H, Rotchell JM. Microplastics in mussels sampled from coastal waters and supermarkets in the United Kingdom. *Environ Pollut Barking Essex* 1987. outubro de 2018;241:35–44.
42. Zuri G, Karanasiou A, Lacorte S. Microplastics: Human exposure assessment through air, water, and food. *Environ Int.* 1º de setembro de 2023;179:108150.
43. Chen H, Xu L, Yu K, Wei F, Zhang M. Release of microplastics from disposable cups in daily use. *Sci Total Environ.* 1º de janeiro de 2023;854:158606.
44. Joseph A, Parveen N, Ranjan VP, Goel S. Drinking hot beverages from paper cups: Lifetime intake of microplastics. *Chemosphere.* 1º de março de 2023;317:137844.
45. Zhou G, Wu Q, Tang P, Chen C, Cheng X, Wei XF, et al. How many microplastics do we ingest when using disposable drink cups? *J Hazard Mater.* 5 de janeiro de 2023;441:129982.
46. Shen R, Yang K, Cheng X, Guo C, Xing X, Sun H, et al. Accumulation of polystyrene microplastics induces liver fibrosis by activating cGAS/STING pathway. *Environ Pollut Barking Essex* 1987. 1º de maio de 2022;300:118986.
47. Miao C, Zhang J, Jin R, Li T, Zhao Y, Shen M. Microplastics in aquaculture systems: Occurrence, ecological threats and control strategies. *Chemosphere.* novembro de 2023;340:139924.
48. Sol D, Solís-Balbín C, Laca A, Laca A, Díaz M. A standard analytical approach and establishing criteria for microplastic concentrations in wastewater, drinking water and tap water. *Sci Total Environ.* 15 de novembro de 2023;899:165356.
49. Zhao WG, Tian YM, Zhao P, Zhao LA, Jin C. Research Progress on Trojan-horse Effect of Microplastics and Heavy Metals in Freshwater Environment. *Huan Jing Ke Xue Huanjing Kexue.* 8 de março de 2023;44(3):1244–57.
50. CETESB. Poluentes Orgânicos Persistentes (POPs) » Centro Regional [Internet]. 2024 [citado 12 de abril de 2024]. Disponível em: <https://cetesb.sp.gov.br/centroregional/a-convencao/poluentes-organicos-persistentes-pops/>
51. ECHA. Compreender os POP - ECHA [Internet]. 2024 [citado 12 de abril de 2024]. Disponível em: <https://echa.europa.eu/pt/understanding-pops>
52. UNEP. UNEP - UN Environment Programme. 2017 [citado 12 de abril de 2024]. Por que os poluentes orgânicos persistentes importam? Disponível em: <http://www.unep.org/pt-br/topics/chemicals-and-pollution-action/pollution-and-health/persistent-organic-pollutants-pops/por>
53. Cao J, Yang Q, Jiang J, Dalu T, Kadushkin A, Singh J, et al. Coronas of micro/nano plastics: a key determinant in their risk assessments. *Part Fibre Toxicol.* 6 de agosto de

2022;19(1):55.

54. Tu C, Chen T, Zhou Q, Liu Y, Wei J, Waniek JJ, et al. Biofilm formation and its influences on the properties of microplastics as affected by exposure time and depth in the seawater. *Sci Total Environ.* 10 de setembro de 2020;734:139237.
55. Bridson JH, Gaugler EC, Smith DA, Northcott GL, Gaw S. Leaching and extraction of additives from plastic pollution to inform environmental risk: A multidisciplinary review of analytical approaches. *J Hazard Mater.* 15 de julho de 2021;414:125571.
56. Makiyama VA. Rotas de exposição aos micro e nanoplásticos e suas consequências para a saúde humana. *Microplastics and nanoplastics: routes of exposure and their consequences on human health* [Internet]. 25 de novembro de 2021 [citado 12 de abril de 2024]; Disponível em: <https://repositorio.ufscar.br/handle/ufscar/15412>
57. Bennett Gary F. *Managing safety in the chemical laboratory*: By J.P. Dux and R.F. Stalzer, Van Nostrand Reinhold, New York, NY, 1988, ISBN 0-442-21869-9, 154 pp., US \$28.95. *J Hazard Mater.* 1º de janeiro de 1990;23:253–253.
58. Choi Y, Kim J, Lee S, Gong J, Jin Y, Seo S, et al. Inflammatory response in the mid colon of ICR mice treated with polystyrene microplastics for two weeks. *Lab Anim Res.* 22 de novembro de 2021;37(1).
59. Djouina M, Waxin C, Dubuquoy L, Launay D, Vignal C, Body-Malapel M. Oral exposure to polyethylene microplastics induces inflammatory and metabolic changes and promotes fibrosis in mouse liver. *Ecotoxicol Environ Saf.* 1º de outubro de 2023;264:115417.
60. Lee SH, Lin WY, Cheng TJ. Microbiota-mediated metabolic perturbations in the gut and brain of mice after microplastic exposure. *Chemosphere.* fevereiro de 2024;350:141026.
61. Gettings SM, Timbury W, Dmochowska A, Sharma R, McGonigle R, MacKenzie LE, et al. Polyethylene terephthalate (PET) micro- and nanoplastic particles affect the mitochondrial efficiency of human brain vascular pericytes without inducing oxidative stress. *NanoImpact.* abril de 2024;34:100508.
62. Yang Q, Dai H, Cheng Y, Wang B, Xu J, Zhang Y, et al. Oral feeding of nanoplastics affects brain function of mice by inducing macrophage IL-1 signal in the intestine. *Cell Rep* [Internet]. 2023;42(4). Disponível em: <https://www.embase.com/search/results?subaction=viewrecord&id=L2023689423&from=export>
63. Cao J, Xu R, Geng Y, Xu S, Guo M. Exposure to polystyrene microplastics triggers lung injury via targeting toll-like receptor 2 and activation of the NF-κB signal in mice. *Environ Pollut Barking Essex 1987.* 1º de março de 2023;320:121068.
64. Danso IK, Woo JH, Lee K. Pulmonary Toxicity of Polystyrene, Polypropylene, and Polyvinyl Chloride Microplastics in Mice. *Mol Basel Switz.* 16 de novembro de 2022;27(22):7926.
65. Jin W, Zhang W, Tang H, Wang P, Zhang Y, Liu S, et al. Microplastics exposure causes

- the senescence of human lung epithelial cells and mouse lungs by inducing ROS signaling. *Environ Int.* março de 2024;185:108489.
66. Aghaei Z, Sled J, Kingdom J, Baschat A, Helm P, Jobst K, et al. Maternal Exposure to Polystyrene Micro- and Nanoplastics Causes Fetal Growth Restriction in Mice. *Environ Sci Technol Lett.* 10 de maio de 2022;9(5):426–30.
  67. Dibbon KC, Mercer GV, Maekawa AS, Hanrahan J, Steeves KL, Ringer LCM, et al. Polystyrene micro- and nanoplastics cause placental dysfunction in mice. *Biol Reprod.* 2024;110(1):211–8.
  68. Jiang J, Shu Z, Qiu L. Adverse effects and potential mechanisms of polystyrene microplastics (PS-MPs) on the blood-testis barrier. *Environ Geochem Health.* 7 de junho de 2024;46(7):238.
  69. Li S, Wang Q, Yu H, Yang L, Sun Y, Xu N, et al. Polystyrene microplastics induce blood-testis barrier disruption regulated by the MAPK-Nrf2 signaling pathway in rats. *Environ Sci Pollut Res.* setembro de 2021;28(35):47921–31.
  70. Saeed A, Akhtar MF, Saleem A, Akhtar B, Sharif A. Reproductive and metabolic toxic effects of polystyrene microplastics in adult female Wistar rats: a mechanistic study. *Environ Sci Pollut Res Int.* maio de 2023;30(22):63185–99.
  71. Çobanoğlu H, Belivermiş M, Sıkdokur E, Kılıç Ö, Çayır A. Genotoxic and cytotoxic effects of polyethylene microplastics on human peripheral blood lymphocytes. *Chemosphere.* junho de 2021;272:129805.
  72. Espinosa C, Beltrán J, Esteban M, Cuesta A. In vitro effects of virgin microplastics on fish head-kidney leucocyte activities. *Environ Pollut.* abril de 2018;235:30–8.
  73. Xiao M, Li X, Zhang X, Duan X, Lin H, Liu S, et al. Assessment of cancer-related signaling pathways in responses to polystyrene nanoplastics via a kidney-testis microfluidic platform (KTP). *Sci Total Environ.* 20 de janeiro de 2023;857(Pt 1):159306.
  74. Tricco AC, Lillie E, Zarin W, O'Brien KK, Colquhoun H, Levac D, et al. PRISMA Extension for Scoping Reviews (PRISMA-ScR): Checklist and Explanation. *Ann Intern Med.* 2 de outubro de 2018;169(7):467–73.
  75. Page MJ, McKenzie JE, Bossuyt PM, Boutron I, Hoffmann TC, Mulrow CD, et al. A declaração PRISMA 2020: diretriz atualizada para relatar revisões sistemáticas. *Epidemiol E Serviços Saúde* [Internet]. 2022 [citado 21 de outubro de 2024];31(2). Disponível em: [http://scielo.iec.gov.br/scielo.php?script=sci\\_abstract&pid=S1679-49742022000201700&lng=pt&nrm=iso&tlng=pt](http://scielo.iec.gov.br/scielo.php?script=sci_abstract&pid=S1679-49742022000201700&lng=pt&nrm=iso&tlng=pt)
  76. Barnett AN, Arshad M, Nabi D. A Snapshot into the Invasion of Plastics in Human Urine [Internet]. *ChemRxiv*; 2023 [citado 6 de novembro de 2024]. Disponível em: <https://chemrxiv.org/engage/chemrxiv/article-details/64bd357cb605c6803b38ab17>
  77. Montano L, Raimondo S, Piscopo M, Ricciardi M, Guglielmino A, Chamayou S, et al. First evidence of microplastics in human ovarian follicular fluid: an emerging threat to

- female fertility [Internet]. medRxiv; 2024 [citado 6 de janeiro de 2025]. p. 2024.04.04.24305264. Disponível em: <https://www.medrxiv.org/content/10.1101/2024.04.04.24305264v1>
78. Yang Q, Peng Y, Wu X, Cao X, Zhang P, Liang Z, et al. Microplastics' Accumulation and Characterization in Human Bone, Cartilage and Intervertebral Disc Detected by Raman Microspectroscopy [Internet]. Rochester, NY: Social Science Research Network; 2024 [citado 27 de outubro de 2024]. Disponível em: <https://papers.ssrn.com/abstract=4835244>
  79. Amato-Lourenco L, Oliveira R, Junior G, Galvao L, Ando R, Mauad T. Microplastics inhalation: evidence in human lung tissue. *Eur Respir J*. 5 de setembro de 2021;58.
  80. Chen Q, Gao J, Yu H, Su H, Yang Y, Cao Y, et al. An emerging role of microplastics in the etiology of lung ground glass nodules. *Environ Sci Eur*. dezembro de 2022;34(1).
  81. Huang S, Huang X, Bi R, Guo Q, Yu X, Zeng Q, et al. Detection and Analysis of Microplastics in Human Sputum. *Environ Sci Technol*. 15 de fevereiro de 2022;56(4):2476–86.
  82. Ke D, Zheng J, Liu X, Xu X, Zhao L, Gu Y, et al. Occurrence of microplastics and disturbance of gut microbiota: a pilot study of preschool children in Xiamen, China. *EBioMedicine*. novembro de 2023;97:104828.
  83. Özgen Alpaydin A, Uçan ES, Köktürk M, Atamanalp M, Kalyoncu Ç, Yiğit S, et al. Microplastics, as a risk factor in the development of interstitial lung disease- a preliminary study. *Environ Pollut Barking Essex 1987*. 4 de outubro de 2024;363(Pt 1):125054.
  84. Qiu L, Lu W, Tu C, Li X, Zhang H, Wang S, et al. Evidence of Microplastics in Bronchoalveolar Lavage Fluid among Never-Smokers: A Prospective Case Series. *Environ Sci Technol*. 14 de fevereiro de 2023;57(6):2435–44.
  85. Ragusa A, Svelato A, Santacroce C, Catalano P, Notarstefano V, Carnevali O, et al. Plasticenta: First evidence of microplastics in human placenta. *Environ Int*. janeiro de 2021;146:106274.
  86. Schwabl P, Köppel S, Königshofer P, Bucsics T, Trauner M, Reiberger T, et al. Detection of Various Microplastics in Human Stool: A Prospective Case Series. *Ann Intern Med*. 1º de outubro de 2019;171(7):453–7.
  87. Uogintė I, Vailionytė A, Skapas M, Bolanos D, Bagurskienė E, Gruslys V, et al. New evidence of the presence of micro- and nanoplastic particles in bronchioalveolar lavage samples of clinical trial subjects. *Heliyon*. 1º de setembro de 2023;9(9):e19665.
  88. Wikurendra EA, Aini SA, Nagy I, Nurika G, Herdiani N, Shamsudin SB. Source of Microplastic Pollution Within Human Stool in the Surabaya River Basin Area. *J Chem Health Risks*. 1º de dezembro de 2022;12(4):581–6.
  89. Luqman A, Nugrahapraja H, Wahyuono RA, Islami I, Haekal MH, Fardiansyah Y, et al. Microplastic Contamination in Human Stools, Foods, and Drinking Water Associated

- with Indonesian Coastal Population. *Environments*. dezembro de 2021;8(12):138.
90. Yan Z, Liu Y, Zhang T, Zhang F, Ren H, Zhang Y. Analysis of Microplastics in Human Feces Reveals a Correlation between Fecal Microplastics and Inflammatory Bowel Disease Status. *Environ Sci Technol*. 4 de janeiro de 2022;56(1):414–21.
  91. Zhang X, He X, Pan D, Shi L, Wu Y, Yang Y, et al. Effects of thermal exposure to disposable plastic tableware on human gut microbiota and metabolites: A quasi-experimental study. *J Hazard Mater*. 15 de janeiro de 2024;462:132800.
  92. Baeza-Martínez C, Olmos S, González-Pleiter M, López-Castellanos J, García-Pachón E, Masiá-Canuto M, et al. First evidence of microplastics isolated in European citizens' lower airway. *J Hazard Mater*. 15 de setembro de 2022;438:129439.
  93. Taş BM, Tuna A, Başaran Kankılıç G, Koçak FM, Şencan Z, Cömert E, et al. Role of Microplastics in Chronic Rhinosinusitis Without Nasal Polyps. *The Laryngoscope*. 2024;134(3):1077–80.
  94. Torres-Agullo A, Karanasiou A, Lacorte S. Nasal lavage technique reveals regular inhalation exposure of microplastics, not associated from face mask use. *Environ Int*. agosto de 2023;178:108129.
  95. Amato-Lourenço LF, Carvalho-Oliveira R, Júnior GR, Dos Santos Galvão L, Ando RA, Mauad T. Presence of airborne microplastics in human lung tissue. *J Hazard Mater*. 15 de agosto de 2021;416:126124.
  96. Jenner LC, Rotchell JM, Bennett RT, Cowen M, Tentzeris V, Sadofsky LR. Detection of microplastics in human lung tissue using  $\mu$ FTIR spectroscopy. *Sci Total Environ*. 20 de julho de 2022;831:154907.
  97. Pauly JL, Stegmeier SJ, Allaart HA, Cheney RT, Zhang PJ, Mayer AG, et al. Inhaled cellulosic and plastic fibers found in human lung tissue. *Cancer Epidemiol Biomark Prev Publ Am Assoc Cancer Res Cosponsored Am Soc Prev Oncol*. maio de 1998;7(5):419–28.
  98. Wang S, Lu W, Cao Q, Tu C, Zhong C, Qiu L, et al. Microplastics in the Lung Tissues Associated with Blood Test Index. *TOXICS*. setembro de 2023;11(9).
  99. Cetin M, Miloglu F, Baygutalp N, Ceylan O, Yildirim S, Eser G, et al. Higher number of microplastics in tumoral colon tissues from patients with colorectal adenocarcinoma. *Environ Chem Lett*. abril de 2023;21(2):639–46.
  100. Ibrahim YS, Tuan Anuar S, Azmi AA, Wan Mohd Khalik WMA, Lehata S, Hamzah SR, et al. Detection of microplastics in human colectomy specimens. *JGH Open Open Access J Gastroenterol Hepatol*. 21 de novembro de 2020;5(1):116–21.
  101. Zhu L, Kang Y, Ma M, Wu Z, Zhang L, Hu R, et al. Tissue accumulation of microplastics and potential health risks in human. *Sci Total Environ*. 10 de março de 2024;915:170004.
  102. Sun J, Sui M, Wang T, Teng X, Sun J, Chen M. Detection and quantification of various

- microplastics in human endometrium based on laser direct infrared spectroscopy. *Sci Total Environ.* 1º de janeiro de 2024;906:167760.
103. Liu S, Wang C, Yang Y, Du Z, Li L, Zhang M, et al. Microplastics in three types of human arteries detected by pyrolysis-gas chromatography/mass spectrometry (Py-GC/MS). *J Hazard Mater.* 5 de maio de 2024;469:133855.
  104. Marfella R, Prattichizzo F, Sardu C, Fulgenzi G, Graciotti L, Spadoni T, et al. Microplastics and Nanoplastics in Atheromas and Cardiovascular Events. *N Engl J Med.* 7 de março de 2024;390(10):900–10.
  105. Rotchell JM, Jenner LC, Chapman E, Bennett RT, Bolanle IO, Loubani M, et al. Detection of microplastics in human saphenous vein tissue using  $\mu$ FTIR: A pilot study. *PloS One.* 2023;18(2):e0280594.
  106. Li Z, Zheng Y, Maimaiti Z, Fu J, Yang F, Li ZY, et al. Identification and analysis of microplastics in human lower limb joints. *J Hazard Mater.* 5 de janeiro de 2024;461:132640.
  107. Codrington J, Varnum AA, Hildebrandt L, Pröfrock D, Bidhan J, Khodamoradi K, et al. Detection of microplastics in the human penis. *Int J Impot Res.* 19 de junho de 2024;1–7.
  108. Zhao Q, Zhu L, Weng J, Jin Z, Cao Y, Jiang H, et al. Detection and characterization of microplastics in the human testis and semen. *Sci Total Environ.* 15 de junho de 2023;877:162713.
  109. Amereh F, Amjadi N, Mohseni-Bandpei A, Isazadeh S, Mehrabi Y, Eslami A, et al. Placental plastics in young women from general population correlate with reduced foetal growth in IUGR pregnancies. *Environ Pollut Barking Essex 1987.* 1º de dezembro de 2022;314:120174.
  110. Garcia M, Liu R, Nihart A, El Hayek E, Castillo E, Barrozo E, et al. Quantitation and identification of microplastics accumulation in human placental specimens using pyrolysis gas chromatography mass spectrometry. *Toxicol Sci.* 29 de abril de 2024;199(1):81–8.
  111. Liu S, Liu X, Guo J, Yang R, Wang H, Sun Y, et al. The Association Between Microplastics and Microbiota in Placentas and Meconium: The First Evidence in Humans. *Environ Sci Technol.* 21 de novembro de 2023;57(46):17774–85.
  112. Ragusa A, Matta M, Cristiano L, Matassa R, Battaglione E, Svelato A, et al. Deeply in Plasticenta: Presence of Microplastics in the Intracellular Compartment of Human Placentas. *Int J Environ Res Public Health.* 14 de setembro de 2022;19(18):11593.
  113. Weingrill RB, Lee MJ, Benny P, Riel J, Saiki K, Garcia J, et al. Temporal trends in microplastic accumulation in placentas from pregnancies in Hawai'i. *Environ Int.* outubro de 2023;180:108220.
  114. Brits M, van Velzen MJM, Sefiloglu FÖ, Scibetta L, Groenewoud Q, Garcia-Vallejo JJ, et al. Quantitation of micro and nanoplastics in human blood by pyrolysis-gas

- chromatography–mass spectrometry. *Microplastics Nanoplastics*. 24 de junho de 2024;4(1):12.
115. Guan Q, Jiang J, Huang Y, Wang Q, Liu Z, Ma X, et al. The landscape of micron-scale particles including microplastics in human enclosed body fluids. *J Hazard Mater*. 15 de janeiro de 2023;442:130138.
  116. V L Leonard S, Liddle CR, Atherall CA, Chapman E, Watkins M, D J Calaminus S, et al. Microplastics in human blood: Polymer types, concentrations and characterisation using  $\mu$ FTIR. *Environ Int*. junho de 2024;188:108751.
  117. Massardo S, Verzola D, Alberti S, Caboni C, Santostefano M, Eugenio Verrina E, et al. MicroRaman spectroscopy detects the presence of microplastics in human urine and kidney tissue. *Environ Int*. fevereiro de 2024;184:108444.
  118. Pironti C, Notarstefano V, Ricciardi M, Motta O, Giorgini E, Montano L. First Evidence of Microplastics in Human Urine, a Preliminary Study of Intake in the Human Body. *Toxics*. janeiro de 2023;11(1):40.
  119. Rotchell JM, Austin C, Chapman E, Atherall CA, Liddle CR, Dunstan TS, et al. Microplastics in human urine: Characterisation using  $\mu$ FTIR and sampling challenges using healthy donors and endometriosis participants. *Ecotoxicol Environ Saf*. 1º de abril de 2024;274:116208.
  120. Montano L, Giorgini E, Notarstefano V, Notari T, Ricciardi M, Piscopo M, et al. Raman Microspectroscopy evidence of microplastics in human semen. *Sci Total Environ*. 25 de novembro de 2023;901:165922.
  121. Halfar J, Čabanová K, Vávra K, Delongová P, Motyka O, Špaček R, et al. Microplastics and additives in patients with preterm birth: The first evidence of their presence in both human amniotic fluid and placenta. *Chemosphere* [Internet]. 2023;343. Disponível em: <https://www.scopus.com/inward/record.uri?eid=2-s2.0-85172290207&doi=10.1016%2Fj.chemosphere.2023.140301&partnerID=40&md5=cb8d4fa2bfbe907df9d7a6126f851705>
  122. Chen C, Liu F, Quan S, Chen L, Shen A, Jiao A, et al. Microplastics in the Bronchoalveolar Lavage Fluid of Chinese Children: Associations with Age, City Development, and Disease Features. *Environ Sci Technol*. 29 de agosto de 2023;57(34):12594–601.
  123. Tuna A, Taş BM, Başaran Kankılıç G, Koçak FM, Şencan Z, Cömert E, et al. Detection of microplastics in patients with allergic rhinitis. *Eur Arch Oto-Rhino-Laryngol Off J Eur Fed Oto-Rhino-Laryngol Soc EUFOS Affil Ger Soc Oto-Rhino-Laryngol - Head Neck Surg*. dezembro de 2023;280(12):5363–7.
  124. Hasanah U, Amqam H, Septami A, Chalid M, Aris A. Plasticizing Pregnancy: Microplastics Identified in Expectant Mothers' Feces. *Environ Health INSIGHTS*. 2024;18.
  125. Ho YW, Lim JY, Yeoh YK, Chiou JC, Zhu Y, Lai KP, et al. Preliminary Findings of the High Quantity of Microplastics in Faeces of Hong Kong Residents. *Toxics* [Internet].

- 2022;10(8). Disponível em: <https://www.scopus.com/inward/record.uri?eid=2-s2.0-85137547563&doi=10.3390%2ftoxics10080414&partnerID=40&md5=296832a2bc29f297176dfd75d60af717>
126. Wibowo AT, Nugrahapraja H, Wahyuono RA, Islami I, Haekal MH, Fardiansyah Y, et al. Microplastic Contamination in the Human Gastrointestinal Tract and Daily Consumables Associated with an Indonesian Farming Community. *Sustainability*. janeiro de 2021;13(22):12840.
  127. Zhang J, Wang L, Trasande L, Kannan K. Occurrence of Polyethylene Terephthalate and Polycarbonate Microplastics in Infant and Adult Feces. *Environ Sci Technol Lett*. 9 de novembro de 2021;8(11):989–94.
  128. Zhang N, Li YB, He HR, Zhang JF, Ma GS. You are what you eat: Microplastics in the feces of young men living in Beijing. *Sci Total Environ*. 1º de maio de 2021;767:144345.
  129. Jiang Y, Han J, Na J, Fang J, Qi C, Lu J, et al. Exposure to microplastics in the upper respiratory tract of indoor and outdoor workers. *Chemosphere*. 1º de novembro de 2022;307:136067.
  130. Zhang X, Wang H, Peng S, Kang J, Xie Z, Tang R, et al. Effect of microplastics on nasal and intestinal microbiota of the high-exposure population. *Front Public Health*. 2022;10.
  131. Liu S, Guo J, Liu X, Yang R, Wang H, Sun Y, et al. Detection of various microplastics in placentas, meconium, infant feces, breastmilk and infant formula: A pilot prospective study. *Sci Total Environ*. 1º de janeiro de 2023;854:158699.
  132. Ragusa A, Notarstefano V, Svelato A, Belloni A, Gioacchini G, Blondeel C, et al. Raman Microspectroscopy Detection and Characterisation of Microplastics in Human Breastmilk. *Polymers*. janeiro de 2022;14(13):2700.
  133. Li Z, Wang J, Gao X, Du J, Sui H, Wu J, et al. Investigation of Microplastics ( $\geq 10 \mu\text{m}$ ) in Meconium by Fourier Transform Infrared Microspectroscopy. *TOXICS*. abril de 2023;11(4).
  134. Yang Y, Xie E, Du Z, Peng Z, Han Z, Li L, et al. Detection of Various Microplastics in Patients Undergoing Cardiac Surgery. *Environ Sci Technol*. 13 de julho de 2023;57(30):10911–8.
  135. Wu D, Feng Y, Wang R, Jiang J, Guan Q, Yang X, et al. Pigment microparticles and microplastics found in human thrombi based on Raman spectral evidence. *J Adv Res*. julho de 2023;49:141–50.
  136. Abbasi S, Turner A. Human exposure to microplastics: A study in Iran. *J Hazard Mater*. 5 de fevereiro de 2021;403:123799.
  137. Amato-Lourenço LF, Dantas KC, Júnior GR, Paes VR, Ando RA, de Oliveira Freitas R, et al. Microplastics in the Olfactory Bulb of the Human Brain. *JAMA Netw Open*. 3 de setembro de 2024;7(9):e2440018.

138. Zhu L, Zhu J, Zuo R, Xu Q, Qian Y, An L. Identification of microplastics in human placenta using laser direct infrared spectroscopy. *Sci Total Environ*. 15 de janeiro de 2023;856(Pt 1):159060.
139. Deng J, Zeng X, Li J, Luo L, Yang Y, Luan T. Single-cell transcriptomic analysis reveals heterogeneity of the patterns of responsive genes and cell communications in liver cell populations of zebrafish exposed to polystyrene nanoplastics. *Sci Total Environ* [Internet]. 2023;889((Deng J.; Zeng X.; Li J.; Luan T., cesltg@mail.sysu.edu.cn) School of Biomedical and Pharmaceutical Sciences, Guangdong University of Technology, 100 Waihuanxi Road, Guangzhou, China). Disponível em: <https://www.embase.com/search/results?subaction=viewrecord&id=L2024624379&from=export>
140. Elsheikh AA, Alnasser SM, Shalaby AM, Alabiad MA, Abd-Almotaleb NA, Alorini M, et al. Polystyrene microplastic particles induced hepatotoxic injury via pyroptosis, oxidative stress, and fibrotic changes in adult male albino rats; the therapeutic role of silymarin. *Toxicol Mech Methods*. novembro de 2023;33(6):512–28.
141. Chen X, Xuan Y, Chen Y, Yang F, Zhu M, Xu J, et al. Polystyrene nanoplastics induce intestinal and hepatic inflammation through activation of NF- $\kappa$ B/NLRP3 pathways and related gut-liver axis in mice. *Sci Total Environ* [Internet]. 2024;935((Chen X.; Xuan Y.; Chen Y.; Yang F.; Zhu M.; Xu J., 20061036@zcmu.edu.cn; Chen J., chenjin0425@zcmu.edu.cn) School of Medical Technology and Information Engineering, Zhejiang Chinese Medical University, Hang Zhou, China). Disponível em: <https://www.embase.com/search/results?subaction=viewrecord&id=L2032437642&from=export>
142. Wang Y, Gao C, Niu W, Han S, Qin M, Tian Z, et al. Polystyrene microplastics promote intestinal colonization of *Aeromonas veronii* through inducing intestinal microbiota dysbiosis. *J Hazard Mater*. 5 de maio de 2024;469:133976.
143. Sun H, Chen N, Yang X, Xia Y, Wu D. Effects induced by polyethylene microplastics oral exposure on colon mucin release, inflammation, gut microflora composition and metabolism in mice. *Ecotoxicol Environ Saf*. 1º de setembro de 2021;220.
144. Fournier SB, D'Errico JN, Adler DS, Kollontzi S, Goedken MJ, Fabris L, et al. Nanopolystyrene translocation and fetal deposition after acute lung exposure during late-stage pregnancy. *Part Fibre Toxicol*. 24 de outubro de 2020;17(1):55.

## APÊNDICE A – Cronograma

Atividades	2023.1					2023.2					2024.1					2024.2					2025.1			
	3	4	5	6	7	8	9	10	11	12	1	2	3	4	5	6	7	8	9	10	11	12	1	2
Revisão de Literatura																								
Definição de objetivo e método																								
Definição do protocolo																								
Estratégia de busca																								
Seleção dos estudos																								
Qualificação																								
Extração dos dados																								
Síntese dos resultados																								
Entrega da dissertação para o leitor																								
Entrega da dissertação para a banca																								
Elaboração e submissão do artigo																								
Defesa																								

## APÊNDICE B – Protocolo da revisão de escopo

**Título:** Presença de microplásticos em tecidos humanos e potenciais impactos à saúde: um protocolo de revisão de escopo

Autores: BARCELOS, T.N.<sup>1</sup>, BRITO, M.L.<sup>2</sup>, FAERSTEIN, E.<sup>1</sup>

1. Departamento de Epidemiologia, Instituto de Medicina Social Hésio Cordeiro, Universidade do Estado do Rio de Janeiro. 2. Instituto de Ciências Sociais, Universidade do Estado do Rio de Janeiro.

### RESUMO

**Objetivo:** O objetivo desta revisão de escopo é entender a extensão e o tipo de evidência sobre a presença de microplásticos em amostras biológicas humanas e os potenciais impactos à saúde associados a essa presença em tecidos humanos.

**Introdução:** A crescente preocupação com a presença de microplásticos no meio ambiente e sua potencial influência na saúde humana justificam esta revisão. Estudos preliminares indicam que a exposição a microplásticos ocorre por ingestão, inalação e contato dérmico, mas existem lacunas significativas no conhecimento sobre os efeitos adversos associados a essa exposição.

**Critérios de inclusão:** Serão incluídos estudos que investiguem a presença de microplásticos em amostras biológicas humanas, como sangue, fezes e tecidos corporais, independentemente da faixa etária, sexo ou condições clínicas dos participantes. O conceito central da revisão é a presença de microplásticos em tecidos humanos e seus impactos à saúde, enquanto estudos que não enfoquem a exposição humana ou que se concentrem exclusivamente na poluição ambiental serão excluídos. A revisão considerará estudos realizados em qualquer contexto geográfico ou cultural que analise a exposição a microplásticos.

**Métodos:** As principais fontes de informação pesquisadas incluem MEDLINE, Scopus, Web of Science, EMBASE, LILACS, SciELO, OpenGrey e Grey Literature Report. As pesquisas foram realizadas em junho de 2024, sem restrições de idioma. A seleção dos estudos e a extração de dados serão realizadas por revisores independentes, seguidos da análise e apresentação dos resultados de forma descritiva e tabular.

**Palavras-chave:** Microplásticos; Saúde humana; Risco à saúde humana; Toxicidade; Revisão de escopo.

## Introdução

Nos últimos anos, a poluição por plásticos tem se tornado uma das maiores preocupações ambientais globais, com milhões de toneladas de resíduos plásticos sendo descartadas nos oceanos e outros ecossistemas a cada ano (GEYER; JAMBECK; LAW, 2017; OECD, 2022; RITCHIE; SAMBORSKA; ROSER, 2023). Entre esses resíduos, os microplásticos, definidos como partículas plásticas com menos de 5 mm de diâmetro, têm sido amplamente documentados em diversos ambientes, desde os oceanos até a atmosfera, levantando preocupações significativas sobre seus potenciais impactos na saúde humana (PEEKEN et al., 2018; KANE et al., 2020; O'BRIEN et al., 2023).

A exposição humana aos microplásticos pode ocorrer através de várias vias, incluindo a ingestão de alimentos e água contaminados, a inalação de partículas presentes no ar e a absorção pela pele (KOELMANS et al., 2019; KADAC-CZAPSKA; KNEZ; GREMBECKA, 2024). A ingestão é considerada a principal via de exposição, especialmente através do consumo de alimentos marinhos, água potável e produtos embalados em plástico (SHARMA; SHARMA; DEY SADHU, 2022). Estudos emergentes sugerem que essas partículas podem ser ingeridas ou inaladas pelos seres humanos, acumulando-se potencialmente em vários tecidos do corpo, como placenta, sangue e fígado (BRAUN et al., 2021; LESLIE et al., 2022; HORVATITS et al., 2022). No entanto, as implicações dessa presença para a saúde humana ainda não estão totalmente claras, principalmente no que se refere aos impactos em longo prazo e aos mecanismos de toxicidade.

Embora a compreensão dos mecanismos de ação dos microplásticos no corpo humano ainda esteja em seus estágios iniciais, estudos pré-clínicos apontam que sua presença nos tecidos pode desencadear respostas inflamatórias, estresse oxidativo e danos celulares (LIU et al., 2022a; FLORANCE et al., 2022; DU et al., 2024). As partículas de microplásticos podem atuar como vetores de substâncias químicas tóxicas, como plastificantes, metais pesados e contaminantes orgânicos persistentes, que podem aderir à sua superfície (SAMANI; MEUNIER, 2023; ZUO et al., 2024).

Dada a crescente evidência de que os microplásticos estão presentes em tecidos humanos e seu potencial para impactar a saúde, há uma necessidade urgente de sintetizar essas evidências. Esta revisão de escopo busca fornecer uma visão abrangente das técnicas de análise utilizadas para detectar microplásticos e os tipos de tecidos estudados. Uma revisão de escopo é particularmente adequada para esta investigação porque o campo de estudo sobre a presença

de microplásticos em tecidos humanos é emergente, e há uma necessidade de mapear a literatura disponível de forma abrangente e sistemática. Uma abordagem de revisão de escopo permitirá a síntese de uma ampla gama de estudos com diferentes métodos e enfoques, sem restringir a pesquisa a um único tipo de impacto ou técnica de análise. Além disso, esse tipo de revisão é útil para identificar lacunas no conhecimento e sugerir áreas para futuras pesquisas.

Uma pesquisa preliminar em bases de dados como MEDLINE, Cochrane Database of Systematic Reviews e JBI Evidence Synthesis não identificou revisões sistemáticas ou de escopo existentes ou em andamento sobre o tema, reforçando a importância e a originalidade desta investigação. Assim, esta revisão de escopo foi conduzida para mapear sistematicamente as evidências disponíveis sobre a presença de microplásticos em tecidos humanos.

#### Pergunta de revisão

Esse estudo teve como pergunta norteadora a seguinte questão: “Qual é a evidência da presença de microplásticos em indivíduos expostos por meio da ingestão, inalação ou contato dérmico, e quais são os potenciais impactos à saúde humana associados à sua presença em tecidos humanos?”.

#### Subquestões:

Quais são as técnicas de análise utilizadas para detectar microplásticos em amostras biológicas humanas?

#### Critérios de inclusão

##### Participantes

Serão incluídos estudos que investiguem a presença de microplásticos em amostras biológicas de humanos, como sangue, fezes, tecidos corporais (por exemplo, fígado, pulmões, placenta). Não há restrições quanto à faixa etária, sexo, ou condições clínicas específicas dos participantes. Estudos envolvendo amostras de animais ou modelos pré-clínicos, ou estudos que não especifiquem claramente a análise de amostras humanas serão excluídos.

#### Conceito

O conceito central desta revisão é a **presença de microplásticos em tecidos humanos** e os **potenciais impactos à saúde associados** a essa presença. Serão incluídos estudos que identifiquem microplásticos em amostras biológicas humanas e/ou que investiguem os efeitos

à saúde decorrentes dessa exposição, como inflamação, estresse oxidativo, e outros efeitos adversos. Especificamente, os microplásticos são definidos como partículas plásticas menores que 5 mm, que podem ser ingeridas, inaladas ou absorvidas pela pele e detectadas em tecidos humanos por meio de técnicas analíticas, como espectroscopia, microscopia e outros.

Estudos que focam exclusivamente na poluição ambiental por microplásticos, sem investigar a exposição em humanos ou seus impactos à saúde, serão excluídos. Além disso, estudos que analisam apenas a toxicidade de microplásticos em culturas de células ou organismos modelo, sem foco em humanos, também serão excluídos. Investigações que abordem microplásticos em produtos de consumo ou embalagens, mas sem relação com impactos em tecidos humanos, também não serão incluídas.

### Contexto

O contexto inclui estudos realizados em qualquer região geográfica ou cultural, com foco em indivíduos expostos a microplásticos por meio de ingestão (alimentos e água contaminados), inalação (ar poluído) ou contato dérmico (produtos de consumo, cosméticos). A revisão irá incluir estudos realizados em qualquer ambiente, incluindo áreas urbanas, rurais, comunidades costeiras ou outros ambientes relevantes onde a exposição a microplásticos possa ocorrer. Serão excluídos estudos que investiguem contextos irrelevantes para a exposição humana. Pesquisas focadas exclusivamente em ambientes não humanos (por exemplo, estudos sobre microplásticos em ecossistemas aquáticos ou terrestres sem conexão com a saúde humana).

### Tipos de fontes

Esta revisão de escopo considerará estudos experimentais e quase-experimentais, incluindo ensaios clínicos randomizados, ensaios clínicos não randomizados, estudos antes e depois e estudos de séries temporais interrompidas. Estudos observacionais analíticos, como estudos de coorte prospectivos e retrospectivos, estudos de caso-controle e estudos transversais analíticos também serão incluídos. Além disso, estudos observacionais descritivos, como séries de casos, relatos de casos individuais e estudos transversais descritivos, serão considerados. Estudos qualitativos e revisões foram excluídos.

### Métodos

A revisão de escopo proposta será conduzida de acordo com a metodologia Joanna Briggs Institute (JBI) para revisões de escopo. Os métodos para esta revisão de escopo serão relatados de acordo com as recomendações dos Itens de Relatório Preferenciais para Revisões Sistemáticas e Extensão de Meta-Análises para Revisões de Escopo (PRISMA-ScR), quando aplicável. Mais detalhes são descritos no protocolo.

#### Estratégia de busca e fonte das evidências

A estratégia de busca para esta revisão de escopo foi elaborada com o objetivo de ser o mais abrangente possível, considerando as restrições de tempo e recursos disponíveis. A busca irá identificar fontes primárias de evidências, tanto publicadas quanto não publicadas. Uma estratégia de pesquisa em três etapas será utilizada nesta revisão. Na primeira etapa uma busca inicial limitada será realizada em pelo menos dois bancos de dados on-line apropriados. Os bancos de dados selecionados incluem MEDLINE e Scopus, ambos relevantes para a identificação de estudos sobre a presença de microplásticos em tecidos humanos e seus impactos à saúde. Essa busca inicial permitirá uma identificação preliminar de artigos relevantes.

Na segunda etapa, após a busca inicial, será realizada uma análise das palavras do texto contidas nos títulos e resumos dos artigos recuperados, assim como dos termos de índice usados para descrever os artigos. A partir dessas informações, uma estratégia de busca abrangente será desenvolvida (Apêndice 1), utilizando todas as palavras-chave e termos de índice identificados. Esta busca será adaptada para todos os bancos de dados incluídos, como MEDLINE, Scopus, Web of Science, EMBASE, LILACS, SciELO, OpenGrey (repositório europeu de literatura cinza) e Grey Literature Report (coleção de materiais não publicados relacionados à saúde).

A lista de referências de todas as fontes de evidência incluídas será analisada para identificar estudos adicionais que possam ser relevantes. Essa etapa incluirá a pesquisa das listas de referências das fontes que foram selecionadas a partir do texto completo. Os revisores têm a intenção de contatar autores de fontes primárias, caso seja relevante, para obter informações adicionais.

Os idiomas considerados para inclusão nesta revisão serão todos os disponíveis. Para aqueles que não forem compreendidos pelos revisores, será utilizada a tradução por meio da inteligência artificial ChatGPT, versão GPT-4 Mini. A inclusão de artigos em outros idiomas garantirá uma revisão mais abrangente da literatura. O período de inclusão dos estudos será definido com base na disponibilidade de literatura relevante, sem restrições de data. Todas as

etapas da estratégia de busca e os resultados serão documentados de forma transparente e auditável.

### Seleção de evidências

As referências bibliográficas identificadas por meio da estratégia de busca foram gerenciadas pela plataforma Rayyan, que permite a colaboração da equipe de pesquisa, identificação de duplicatas e possui mecanismo para registrar decisões de forma mascarada. Os títulos e resumos serão selecionados por dois revisores independentes para avaliação de acordo com os critérios de inclusão para a revisão. O texto completo das citações selecionadas será avaliado detalhadamente em relação aos critérios de inclusão por dois revisores independentes. Os motivos para exclusão de fontes de evidência no texto completo que não atendem aos critérios de inclusão serão registrados e relatados na revisão de escopo. Quaisquer divergências que surjam entre os revisores em cada etapa do processo de seleção serão resolvidas por meio de discussão. Os resultados da busca e do processo de inclusão do estudo serão relatados na íntegra na revisão final do escopo e apresentados em um fluxograma PRISMA (PAGE et al., 2022).

### Extração de dados

Um formulário de registro de dados foi desenvolvido para determinar quais variáveis extrair. A ferramenta de extração de dados será modificada e revisada conforme necessário, após o teste piloto e durante o processo de extração de dados de cada fonte de evidência incluída. As modificações serão detalhadas na revisão do escopo.

A **extração de dados será realizada por** dois revisores de forma independente, quaisquer divergências que surjam entre os revisores serão resolvidas por meio de discussão. Se apropriado, os autores dos artigos serão contatados para solicitar dados ausentes ou adicionais, quando necessário.

A ficha de extração foi elaborada, usando o Microsoft Excel, com as seguintes informações: **a) identificação do estudo:** título, autores, ano de publicação, fonte (jornal/periódico), país de origem; **b) informações gerais do método:** desenho de estudo, objetivo, número de participantes, número de amostras, características dos participantes, contexto; **c) detecção de microplásticos:** tipos de tecidos/amostras, frequência de detecção, tipo de microplástico, quantidade de microplástico; **d) exposição ambiental:** vias de exposição, forma de medição e frequência de exposição; **e) técnicas de análise para detecção**

**dos microplásticos:** descrição, protocolo livre de plástico; **f) saúde humana:** sintomas/condições associadas, principais resultados, conclusões dos autores, recomendações; **g) informações adicionais:** limitações, lacunas, fontes de financiamento e declaração de conflitos.

#### Análise e apresentação dos dados

Os resultados serão organizados de forma a permitir uma análise clara e acessível das evidências coletadas. A apresentação dos dados será feita por meio de tabelas e gráficos que sintetizam informações sobre: características dos estudos; detecção de microplásticos; técnicas de análise e impactos à saúde. Os dados extraídos serão mapeados em tabelas para facilitar a comparação entre diferentes estudos e suas respectivas descobertas. Gráficos serão utilizados para ilustrar as vias de exposição a microplásticos e suas frequências, bem como para resumir os potenciais efeitos à saúde associados. Além da apresentação quantitativa, a revisão se dedicará a identificar lacunas na literatura atual. Isso incluirá a análise de áreas que necessitam de mais investigações, considerando os resultados obtidos e as evidências disponíveis. As limitações dos estudos revisados também serão discutidas, apontando onde os dados são insuficientes ou carecem de consistência. Todo o processo de análise e apresentação dos dados será documentado de maneira detalhada, assegurando a transparência e auditabilidade da revisão. A conformidade com as diretrizes PRISMA-ScR garantirá a estrutura e qualidade da apresentação dos resultados.

#### Ética

Como os dados são obtidos de relatórios publicados, não é necessária submissão e aprovação de comitê de ética.

#### Financiamento

Esta revisão de escopo é financiada pela Coordenação de Aperfeiçoamento de Pessoal de Nível Superior (CAPES), por meio de bolsa de mestrado. O financiamento foi destinado a apoiar a pesquisa acadêmica e o desenvolvimento da dissertação relacionada à presença de microplásticos em amostras biológicas humanas. A CAPES não teve qualquer influência no design, execução ou redação desta revisão, garantindo a independência dos autores na interpretação dos dados e nas conclusões apresentadas. Todas as decisões relacionadas à

metodologia, seleção de estudos e análise dos dados foram conduzidas exclusivamente pela equipe de pesquisa.

### **Conflitos de interesse**

Não há conflito de interesses neste projeto.

### **REFERÊNCIAS**

AROMATARIS, E. et al. (EDS.). JBI Manual for Evidence Synthesis. [s.l.] JBI, 2024.

BRAUN, T. et al. Detection of Microplastic in Human Placenta and Meconium in a Clinical Setting. *Pharmaceutics*, v. 13, n. 7, p. 921, 22 jun. 2021.

DU, J. et al. Toxicity of Polystyrene Nanoplastics in the Liver and Intestine of Normal and High-Fat-Diet Juvenile Zebrafish. *Environmental Toxicology and Chemistry*, v. 43, n. 1, p. 147–158, jan. 2024.

FLORANCE, I. et al. Exposure to polystyrene nanoplastics impairs lipid metabolism in human and murine macrophages in vitro. *Ecotoxicology and Environmental Safety*, v. 238, p. 113612, 15 jun. 2022.

GEYER, R.; JAMBECK, J. R.; LAW, K. L. Production, use, and fate of all plastics ever made. *Science Advances*, v. 3, n. 7, p. e1700782, jul. 2017.

HORVATITS, T. et al. Microplastics detected in cirrhotic liver tissue. *EBioMedicine*, v. 82, p. 104147, ago. 2022.

KADAC-CZAPSKA, K.; KNEZ, E.; GREMBECKA, M. Food and human safety: the impact of microplastics. *Critical Reviews in Food Science and Nutrition*, v. 64, n. 11, p. 3502–3521, 2024.

KANE, I. A. et al. Seafloor microplastic hotspots controlled by deep-sea circulation. *Science (New York, N.Y.)*, v. 368, n. 6495, p. 1140–1145, 5 jun. 2020.

KOELMANS, A. A. et al. Microplastics in freshwaters and drinking water: Critical review and assessment of data quality. *Water Research*, v. 155, p. 410–422, 15 maio 2019.

LESLIE, H. A. et al. Discovery and quantification of plastic particle pollution in human blood. *Environment International*, v. 163, p. 107199, maio 2022.

LIU, J. et al. Polystyrene Microplastics Postpone APAP-Induced Liver Injury through Impeding Macrophage Polarization. *TOXICS*, v. 10, n. 12, dez. 2022a.

O'BRIEN, S. et al. There's something in the air: A review of sources, prevalence and behaviour of microplastics in the atmosphere. *The Science of the Total Environment*, v. 874, p. 162193, 20 maio 2023.

OECD. *Global Plastics Outlook: Economic Drivers, Environmental Impacts and Policy Options*. Paris: Organisation for Economic Co-operation and Development, 2022.

PAGE, M. J. et al. A declaração PRISMA 2020: diretriz atualizada para relatar revisões sistemáticas. *Epidemiologia e Serviços de Saúde*, v. 31, n. 2, 2022.

PEEKEN, I. et al. Arctic sea ice is an important temporal sink and means of transport for microplastic. *Nature Communications*, v. 9, n. 1, p. 1505, 24 abr. 2018.

RITCHIE, H.; SAMBORSKA, V.; ROSER, M. *Plastic Pollution*. Our World in Data, 2023.

SAMANI, F. A.; MEUNIER, L. Interactions of microplastics with contaminants in freshwater systems: a review of characteristics, bioaccessibility, and environmental factors affecting sorption. *Journal of Environmental Science and Health. Part A, Toxic/Hazardous Substances & Environmental Engineering*, v. 58, n. 3, p. 222–235, 2023.

SHARMA, S.; SHARMA, B.; DEY SADHU, S. Microplastic profusion in food and drinking water: are microplastics becoming a macroproblem? *Environmental Science. Processes & Impacts*, v. 24, n. 7, p. 992–1009, 20 jul. 2022.

ZUO, C. et al. Leaching of heavy metals from polyester microplastic fibers and the potential risks in simulated real-world scenarios. *Journal of Hazardous Materials*, v. 461, p. 132639, 5 jan. 2024.

## Apêndices

Apêndice I: Estratégia de Busca MEDLINE.

```
((((((((((Microplastics[MeSH Terms]) OR (Microplastic[Title/Abstract])) OR (Plastic
Microparticles[Title/Abstract])) OR (Microparticle, Plastic[Title/Abstract])) OR
(Microparticles, Plastic[Title/Abstract])) OR (Plastic Microparticle[Title/Abstract])) OR
(Mesoplastics[Title/Abstract])) OR (Mesoplastic[Title/Abstract])) OR (Plastic
Nanoparticles[Title/Abstract])) OR (Nanoparticle, Plastic[Title/Abstract])) OR
(Nanoparticles, Plastic[Title/Abstract])) OR (Plastic Nanoparticle[Title/Abstract]) AND
("human tissues"[Title/Abstract] OR "Blood"[Title/Abstract] OR "Placenta"[Title/Abstract]
OR "Lung"[Title/Abstract] OR "Liver"[Title/Abstract] OR "umbilical cord"[Title/Abstract]
OR "fetus blood"[Title/Abstract] OR "meconium"[Title/Abstract] OR
```

"feces"[Title/Abstract] OR "breast milk"[Title/Abstract] OR "colon"[Title/Abstract] OR "intestine"[Title/Abstract] OR "kidney"[Title/Abstract] OR "spleen"[Title/Abstract])) AND (humans[Filter]).		
#1	“Microplastics”[MeSH Terms] OR “Microplastic”[Title/Abstract] OR “Plastic Microparticles”[Title/Abstract] OR “Microparticle, Plastic”[Title/Abstract] OR “Microparticles, Plastic”[Title/Abstract] OR “Plastic Microparticle”[Title/Abstract] OR “Mesoplastics”[Title/Abstract] OR “Mesoplastic”[Title/Abstract] OR “Plastic Nanoparticles”[Title/Abstract] OR “Nanoparticle, Plastic”[Title/Abstract] OR “Nanoparticles, Plastic”[Title/Abstract] OR “Plastic Nanoparticle”[Title/Abstract]	
#2	"human tissues"[Title/Abstract] OR "Blood"[Title/Abstract] OR "Placenta"[Title/Abstract] OR "Lung"[Title/Abstract] OR "Liver"[Title/Abstract] OR "umbilical cord"[Title/Abstract] OR "fetus blood"[Title/Abstract] OR "meconium"[Title/Abstract] OR "feces"[Title/Abstract] OR "breast milk"[Title/Abstract] OR "colon"[Title/Abstract] OR "intestine"[Title/Abstract] OR "kidney"[Title/Abstract] OR "spleen"[Title/Abstract]	
#3	#1 AND #2 Filters: Humans	<b>401</b>

## APÊNDICE C – Ficha de extração dos dados

### FICHA DE EXTRAÇÃO DOS DADOS

#### Identificação do Estudo

- Título do Estudo:
- Autores:
- Ano de Publicação:
- Fonte (Jornal/Periódico):
- País de Origem:
- Tipo de Estudo:

#### Informações Gerais

- Objetivo do estudo:
- Número de participantes:
- Características dos participantes (Ex.: idade, gênero):
- Contexto (Ex.: hospital, laboratório):

#### Deteção de Microplásticos em Tecidos Humanos

- Tipos de tecidos investigados:
  - Tecido 1:
  - Tecido 2:
  - Tecido 3:
- Frequência de deteção:
- Tipo de microplásticos encontrados:
- Quantidade de microplásticos encontrados:

#### Técnicas de Análise Utilizadas

##### Técnica 1:

- Descrição:
- Limitações:

##### Técnica 2:

- Descrição:
- Limitações:

#### Técnica 3:

- Descrição:
- Limitações:

#### Potenciais Impactos à Saúde Humana

- Sintomas/Condições associadas:
- Principais resultados:
- Conclusões dos autores:
- Recomendações:

#### Comentários Adicionais

- Observações:
- Lacunas:
- Limitações do estudo:
- Questões não respondidas: